

11-100

АЗЭРБАЙЧАН ССР ЕЛМЛЭР АКАДЕМИЈАСЫ  
АКАДЕМИЯ НАУК АЗЕРБАЙДЖАНСКОЙ ССР

---

# МЭРҮЗЭЛЭР ДОКЛАДЫ

ТОМ XXVII ЧИЛД

7

---

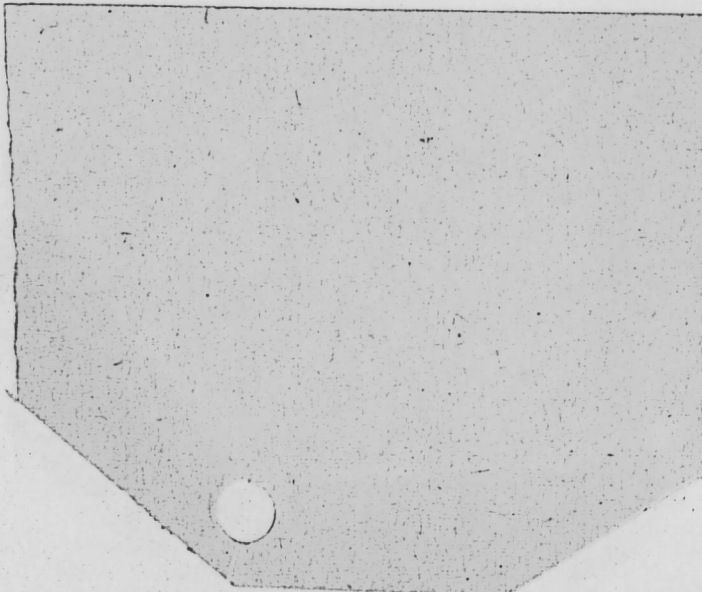
«ЕЛМ» НЭШРИЙЛДТЫ  
ИЗДАТЕЛЬСТВО «ЭЛМ»  
БАКЫ—1971—БАКУ

АЗЭРБАЙЧАН ССР ЕЛМЛЭР АКАДЕМИЈАСЫ  
АКАДЕМИЯ НАУК АЗЕРБАЙДЖАНСКОЙ ССР

# МӨ'РҮЗӨЛӨР ДОКЛАДЫ

ТОМ XXVII ЧИЛД

№ 7



ЕЛМ НЭШРИЈАТЫ  
ИЗДАТЕЛЬСТВО „ЭЛМ“  
БАКЫ—1971—БАКУ

517.948.35 : 513.88

МАТЕМАТИКА

М. Г. ГАСЫМОВ

## О КРАТНОЙ ПОЛНОТЕ СИСТЕМЫ ФУНКЦИИ

(Представлено академиком АН Азербайджанской ССР З. И. Халиловым)

Следуя М. В. Келдышу [1], систему функций  $\varphi(x, \lambda_1), \varphi(x, \lambda_2), \dots$  назовем  $n$ -кратно полной в пространстве  $L_2(a, b)$ , если для любой совокупности  $n$  функций  $f_1(x), \dots, f_n(x)$ , принадлежащих  $L_2(a, b)$ , из равенств

$$\int_a^b \sum_{j=1}^n \lambda_j^{j-1} f_j(x) \varphi(x, \lambda_k) dx = 0, \quad (1)$$

при всех  $k$ , вытекает, что  $f_1(x) \equiv \dots \equiv f_n(x) \equiv 0$ .

Данная работа посвящена доказательству кратной полноты некоторых систем функций. Основной результат приводится в следующей теореме.

Теорема. Пусть

$$\varphi(\lambda x) = \sum_{j=1}^n W_j \exp(\lambda \omega_j x), \quad (2)$$

где  $\omega_j \neq \omega_k$ ,  $k \neq j$  и  $|\omega_j| = 1$  и постоянные числа  $W_j \neq 0$ ,  $j = 1, \dots, n$ , причем нуль содержится в многоугольнике с вершинами в точках  $\omega_1, \dots, \omega_n$ . Пусть  $G(\lambda)$  — целая функция и при  $|\lambda| \rightarrow \infty$

$$G(\lambda) = \sum_{j=1}^n B_j \exp(m_j \ln \lambda + \omega_j a \lambda) [1 + o(1)], \quad (3)$$

где постоянные числа  $B_1, \dots, B_n$ , отличны от нуля, а среди чисел  $m_1, \dots, m_n$  хотя бы одно не меньше, чем  $n - 1$ .

Обозначим через  $\lambda_1, \lambda_2, \dots$  нули функции  $G(\lambda)$  в порядке возрастания модулей (для простоты считаем, что нули однократные). Тогда функции  $\varphi(\lambda_1, x), \varphi(\lambda_2, x), \dots$  образуют  $n$ -кратно полную систему в  $L_2(0, a)$ .

Доказательство. Теорему докажем от противного. Пусть функции  $\varphi(\lambda_1 x), \varphi(\lambda_2 x), \dots$  не образуют  $n$ -кратно полную систему в  $L_2(0, a)$ . Тогда существуют функции  $f_1(x), \dots, f_n(x)$  из  $L_2(0, a)$ , среди которых хотя бы одно тождественно, не равно нулю, и если положить

РЕДАКЦИОННАЯ КОЛЛЕГИЯ: Г. Б. Абдуллаев (главный редактор), Ш. А. Азизбеков, Г. А. Алиев, В. Ю. Ахундов, В. Р. Волобуев, А. И. Гусейнов, М. А. Дадашзаде (зам. главного редактора), М. А. Кашкай, С. Д. Мехтиев, М. А. Топчибашев, Г. Г. Зейналов (ответств. секретарь).

Адрес: г. Баку, Коммунистическая, 10. Редакция «Докладов Академии наук Азербайджанской ССР».

Центральная научная  
БИБЛИОТЕКА  
Академии наук Киргизской ССР

П-7282

$$F(\lambda) = \int_0^a \sum_{j=1}^n \lambda^{j-1} f_j(x) \varphi(\lambda x) dx, \quad (4)$$

то  $F(\lambda_k) = 0$ ,  $k = 1, 2, \dots$ . Положим\*

$$P(\lambda) = \frac{F(\lambda)}{G(\lambda)}.$$

Очевидно, что  $P(\lambda)$  — целая функция. Из (3) вытекает, что  $G(\lambda)$  — целая функция регулярного роста порядка 1; при этом индикаторная диаграмма функции  $F(\lambda)$  содержитя в индикаторной диаграмме функции  $G(\lambda)$ . Поэтому  $P(\lambda)$  является целой функцией нулевой степени и  $P(\lambda) \rightarrow 1$ , когда  $\lambda = r\omega_k^{-1}$ ,  $r \rightarrow \infty$ .

Следовательно,  $P(\lambda) \equiv 0$ . Тогда также  $F(\lambda) \equiv 0$ , и из которого вытекает, что все  $f_j(x) \equiv 0$ . Докажем это. С этой целью положим

$$F_{j,k}(\lambda) = F_j(\lambda\omega_k) = \int_0^a f_j(x) \exp(\lambda\omega_k x) dx,$$

$$\Phi_k(\lambda) = \sum_{j=1}^n \lambda^{j-1} F_{j,k}(\lambda).$$

Тогда

$$F(\lambda) = \sum_{k=1}^n W_k \Phi_k(\lambda) \equiv 0.$$

Функция  $\Phi_k(\lambda)$  быстрее всего растет в направлении луча  $\lambda = r\omega_k^{-1}$  и в этом направлении остальные  $\Phi_{k_0}(\lambda)$  растут медленнее, чем  $\Phi_{k_0}(\lambda)$ . В этом направлении функция  $\Phi_{k_0}(\lambda)$  не может расти, поскольку  $F(\lambda) \equiv 0$ . Следовательно,

$$\Phi_k(\lambda) \equiv 0, \quad k = 1, \dots, n.$$

Откуда

$$\sum_{j=1}^n \lambda^{j-1} F_j(\lambda\omega_k) \equiv 0, \quad k = 1, \dots, n.$$

Здесь, полагая,  $\lambda\omega_k = s$ , мы имеем

$$\sum_{j=1}^n \omega_k^{1-j} s^{1-j} F_j(s) \equiv 0, \quad s = 1, \dots, n.$$

Эти соотношения дают систему  $n$  линейных алгебраических уравнений для определения функций  $F_1(s), \dots, F_n(s)$ . Определитель этой системы отличен от нуля, поскольку  $\omega_k \neq \omega_j$ ,  $k \neq j$ . Поэтому  $F_j(s) \equiv 0$ . Следовательно,  $f_j(x) \equiv 0$ ,  $j = 1, \dots, n$ . Теорема доказана.

Применим доказанную теорему к исследованию следующей нерегулярной граничной задачи

$$-y'' + q(x)y = \lambda^2 y, \quad (6)$$

$$y(0) = 0, \quad y'(a) + \bar{\mu}y(a) = 0, \quad (7)$$

где достаточно гладкая функция  $q(x) \sim C_1(a-x)^{\alpha}$  при  $x \rightarrow a$ . Эта задача впервые рассмотрена Редже [3], [4]. Собственные значения  $\{\lambda_k\}$  этой задачи совпадают с корнями целой функции  $G(\lambda)$  с асимптотикой

\* Факты из теории функций, которые используются ниже, взяты из книги Б. Я. Левина [2].

$$G(\lambda) \sim e^{i\lambda a} + \frac{C_p \Gamma(p+1)}{(-2i\lambda)^{p+2}} e^{-\lambda a},$$

при  $|\lambda| \rightarrow \infty$ , а собственные функции равны

$$\psi(x, \lambda_k) = \sin \lambda_k x + \int_0^x k(x, t) \sin \lambda_k t dt. \quad (8)$$

Тогда из теоремы 1 следует, что система функций  $\{\sin \lambda_k x\}$  двукратно полна в  $L_2(0, a)$ . Следовательно, по формуле (8) система из собственных функций  $\{\psi(x, \lambda_k)\}$  также двукратно полна в  $L_2(0, a)$ . Этот факт ранее был доказан А. О. Кравицким [5] другим методом.

## ЛИТЕРАТУРА

1. Келдыш М. В. О собственных значениях и собственных функциях некоторых классов несамосопряженных уравнений. «ДАН СССР», № 1, 1951, 11—14.
2. Левин Б. Я. Распределение корней целых функций. Гостехиздат, 1956.
3. Regge T. Analytic properties of the Scattering matrix, Nuovo Cimento, 8, 1958, № 5, 671—679.
4. Regge T. Construction of Potentials from Resonance Parameters, Nuovo Cimento, 9, 1958, № 3, 491—503.
5. Кравицкий А. О. О двукратном разложении в ряд со собственными функциями одной несамосопряженной краевой задачи. «ДАН СССР», 170, № 6, 1255—1258, 1968.

АГУ им. С. М. Кирова

Поступило 15.II 1971

М. К. Гасымов

Систем функциональных тэкрар тамлығы нағында

ХУЛАСӘ

Мәгәләдә  $\{\varphi(\lambda_k x)\}$  функциялар системинин  $L_2(0, a)$  фәзасында ғаттам олдуғу исбат едилмишdir.

M. G. Gasimov

On the multiple completeness of the system of functions

## SUMMARY

It is proved that the  $n$ -fold completeness of the system of functions  $\{\varphi(\lambda_k x)\}$  in  $L_2(0, a)$ , where

$$\varphi(\lambda x) = \sum_{j=1}^n W_j \exp(\lambda \omega_j x),$$

$\omega_j \neq \omega_k$ ,  $j \neq k$ ,  $|\omega_j| = 1$ , the constants  $W_j \neq 0$ ; the numbers  $\lambda_k$  are zeroes of the whole function  $G(\lambda)$  such that

$$G(\lambda) = \sum_{j=1}^n B_j \exp(m_j \ln \lambda + \lambda \omega_j a)[1 + O(1)]$$

as  $|\lambda| \rightarrow \infty$ . It is supposed that

$$0 \in \left\{ z \mid z = \sum_{j=1}^n \alpha_j \omega_j, \quad \sum_{j=1}^n \alpha_j = 1, \quad \alpha_j \geq 0 \right\}.$$

Р. А. БАЙРАМОВ

О КЛАССАХ МНОГОМЕСТНЫХ ФУНКЦИЙ  
НА КОНЕЧНЫХ МНОЖЕСТВАХ

(Представлено академиком АН Азербайджанской ССР А. И. Гусейновым)

Пусть  $k \geq 3$ ,  $E_k = \{0, 1, \dots, k-1\}$ ,  $P_k$  — совокупность всех функций  $k$ -значной логики,  $P_k$  — алгебра Поста ранга  $k$  (алгебра с носителем  $P_k$  и сигнатурой), состоящей из 5 введенных в [1] операций, описывающих понятие суперпозиции функций из  $P_k$ ). В недавнем исследовании [2] была найдена асимптотика для числа максимальных в  $P_k$  подалгебр и для числа их изоморфических типов; оказалось, что обе эти величины с ростом  $k$  растут настолько быстро, что при  $k > 5$  пользование каноническим критерием полноты в  $P_k$  (теоремой И. Розенберга [3]) уже практически невозможно. Поэтому при  $k > 5$  для проверки на полноту некоторого конкретного подмножества  $M \subseteq P_k$  следует пользоваться частными критериями полноты, учитывающими специфику множества  $M$  и обладающими большей эффективностью (в данном конкретном случае), чем канонический критерий, оперирующий списком максимальных в  $P_k$  подалгебр. Приведем две наиболее распространенные схемы таких частных критериев полноты:

а) подмножество  $M \subseteq P_k$  порождает  $P_k$ , если  $M$  порождает некоторую фундаментальную (см. [4], [5]) подполугруппу симметрической полугруппы  $\Omega_k$  и хотя бы одну существенную функцию из  $P_k$ ;

б) подмножество  $M \subseteq P_k$ , содержащее фиксированное подмножество  $M_0$ , порождает  $P_k$ , если  $M$  не содержится ни в одной максимальной в  $P_k$  подалгебре, содержащей  $M_0$ .

В литературе по проблематике полноты в  $k$ -значной логике можно указать несколько конкретных реализаций этих двух схем (см., например, [4, 5, 6, 7, 8]). Здесь мы рассмотрим серию реализаций схемы б), получающуюся при  $M_0 = \{f\} + G_0$ , где  $f$  — некоторая существенная функция, а  $G_0$  — фиксированная максимальная подгруппа симметрической группы  $\sigma_k$ .

Утверждение 1. Подмножество  $M \subseteq P_k$ , содержащее хотя бы одну существенную функцию и фиксированную максимальную в  $\sigma_k$  подгруппу  $G_0$ , порождает  $P_k$ , если  $M$  не содержится ни в одной максимальной в  $P_k$  подалгебре с  $\sigma_k$ -компонентой, равной  $G_0$ .

Замечание. Аналогичное утверждение можно было сформулировать и для максимальных в  $\Omega_k$  подполугрупп, но это неинтересно,

т. к. при  $k \geq 5$  все они фундаментальны и поэтому добавление к ним существенной функции приводит к полной системе автоматически, без всяких дополнительных условий (среди максимальных же подгрупп группы  $\sigma_k$ ,  $k \geq 5$  всегда есть нефундаментальные, поэтому утверждение 1 представляет интерес). Всюду далее  $k > 5$ , т. к. случай  $k \leq 4$  нам рассматривать не нужно (он досконально изучен).

Утверждение 1 выявляет необходимость изучения максимальных в  $P_k$  подалгебр с заданной  $\sigma_k$ -компонентой. Желательность такого изучения мотивируется также следующим рассуждением. Вполне естественно „хранить“ информацию о множестве максимальных в  $P_k$  подалгебр в более компактном виде; одним из путей для достижения такой цели является факторизация этого множества по некоторому „хорошо введенному“ отношению эквивалентности („хорошо введенная“ эквивалентность здесь означает эквивалентность с малым числом смежных классов, позволяющую легко восстановить множество по фактор-множеству). Эквивалентность, введенная в множество максимальных в  $P_k$  подалгебр по правилу  $M \sim N \iff M \cap \Omega_k = N \cap \Omega_k$ , не сокращает объема „подлежащей хранению“ информации (здесь фактор-множество совпадает с исходным множеством), эквивалентность, введенная по правилу  $M \sim N \iff M \cong N$  ( $\cong$  — знак изоморфности), сокращает этот объем в  $k!$  раз (асимптотически) [2], но оставшийся объем все же еще очень значителен: число изоморфических типов асимптотически равно  $\frac{\pi(k)}{k!}$ ,  $\pi(k) = \delta(k) k 2^{\binom{k-1}{2}}$ , где  $\delta(k) = 2$  при

четном  $k$ ,  $\delta(k) = 1$  при нечетном  $k$ . Так как число подгрупп в  $\sigma_k$  не превышает  $2^{k^2}$  (этот результат сообщен автору В. Б. Кудрявцевым), то эквивалентность, введенная в множество максимальных в  $P_k$  подалгебр по правилу  $M \sim N \iff M \cap \sigma_k = N \cap \sigma_k$ , „лучше“ эквивалентности, индуцируемой изоморфностью (легко видеть, что  $2^{k^2} \leq \frac{\pi(k)}{k!}$ ) и, более того, отношение правой части неравенства к левой стремится к  $\infty$ ).

Итак, после рассуждений, действующих убедить в целесообразности изучения максимальных в  $P_k$  подалгебр с заданной  $\sigma_k$ -компонентной, перейдем к исследованию таковых. Введем следующие обозначения:

$S(A)$  — множество всех подалгебр алгебры  $A$ ,  $S^{\max}(A)$  — множество всех ее максимальных подалгебр (они по определению считаются собственными),  $S^{\max}(\Omega_k)$ ,  $S^{\max}(\sigma_k)$  — соответственно множество всех фундаментальных подполугрупп в  $\Omega_k$  и множество всех фундаментальных подгрупп в  $\sigma_k$ ,  $\Omega_{k,t}$  — идеал в  $\Omega_k$ , состоящий из всех отображений рангов  $t$  ( $1 \leq t \leq k-1$ ),  $A_k$  — знакопеременная группа  $k$ -ой степени (подгруппа всех четных подстановок в  $\sigma_k$ ),  $T$  — подалгебра в  $P_k$ , образованная всеми несущественными функциями.

Через  $C_n(P_k; N)$  обозначим консерватор (т. е. класс сохранения) множества  $N \subseteq \Omega_k$  в  $P_k$ . Пусть далее  $I(\Omega_k)$  — множество всех собственных (т. е. отличных от  $\Omega_k$  и  $\emptyset$ ) идеалов в  $\Omega_k$  и для всякого  $N \subseteq S(P_k)$   $N^I = \{X : X \in N, X \cap \Omega_{k,k-1} \in I(\Omega_k)\}$ ; подалгебру  $A \in S(P_k)$  назовем подалгеброй с идеальной  $\Omega_{k,k-1}$ -компонентой, если  $A \in (S(P_k))^I$ . Наконец, для всякой  $G \in S(\sigma_k)$  положим:

$$\Sigma(G) = \{X : X \in S(\Omega_{k,k-1}), [G + X] = G + X\}, \quad \tilde{\Sigma}(G) = \Sigma(G) \setminus I(\Omega_k)$$

(рассматривать  $\tilde{\Sigma}(G)$  естественно, ибо  $\forall G \in S(\sigma_k) \quad I(\Omega_k) \subseteq \Sigma(G)$ ),

$$B^\perp(G) = \{X : X \in S(\Omega_{k,k-1}), [G + X] \in S(\Omega_k) \setminus S^{\text{bas}}(\Omega_k)\}, \Pi(G) =$$

$= B^\perp(G) \cap \tilde{\Sigma}(G)$ ,  $\Pi^{\max}(G)$  — совокупность всех максимальных элементов множества  $\Pi(G)$ , частично упорядоченного теоретико-множественным включением.

Утверждение 2.  $\forall G \in S^{\max}(\sigma_k) \setminus S^{\text{bas}}(\sigma_k) \exists N \in S^{\max}(P_k) \setminus \{T\} (N \cap \sigma_k = G)$ .

В связи с утверждением 2 интересно выяснить вид подалгебр  $N$  с  $\sigma_k$  — компонентой, равной фиксированной группе  $G \in S^{\max}(\sigma_k) \setminus S^{\text{bas}}(\sigma_k)$  и найти их число (сравним с тем фактом, что для любой  $A \in S(\Omega_k)$  существует не более одной подалгебры  $N \in S^{\max}(P_k)$ , удовлетворяющей условию  $N \cap \Omega_k = A$ ). Здесь мы исследуем эту ситуацию.

Утверждение 3.  $\forall G \in S^{\max}(\sigma_k) \setminus S^{\text{bas}}(\sigma_k) (\Pi^*(G) \neq \emptyset)$ , т. е.  $\exists X \in \Pi^*(G) (X \neq \emptyset)$ , где  $\Pi^*(G) = \Sigma(G) \cap B^\perp(G)$ .

Пусть  $\backslash!/\!$  — знак строгой дизъюнкции (разделительного „или, ... или“).

Лемма 1.  $\forall G \in S^{\max}(\sigma_k) \setminus S^{\text{bas}}(\sigma_k) \forall X \in \Pi^{\max}(G) ((C_n(P_k; G + X) \in S^{\max}(P_k) \setminus \{T\}) \backslash!/( \exists N \in (S^{\max}(P_k) \setminus \{T\})^I (C_n(P_k; G + X) \subseteq N)))$ .

Лемма указывает на необходимость описания множества  $(S^{\max}(P_k) \setminus \{T\})^I$ , т. е. множества всех отличных от  $T$  максимальных в  $P_k$  подалгебр с идеальной  $\Omega_{k,k-1}$ -компонентой. Здесь мы решим эту задачу.

Пусть  $N$  — натуральный ряд,  $P$  — множество всех простых чисел,  $L_k$  — подалгебра всех линейных по модулю  $k$  функций в  $P_k$ ,  $L_k^{\tau(x)}$  — подалгебра, сопряженная с  $L_k$  относительно  $\tau(x) \in \sigma_k$  (очевидно,  $L_k = L_k^x$ ).

Теорема 1. При  $k \in N \setminus P$  множество  $(S^{\max}(P_k) \setminus \{T\})^I$  пусто, при  $k = p \in P (S^{\max}(P_p) \setminus \{T\})^I = \{L_p^{\tau(x)}\}_{x \in \sigma_p}$ , причем  $\forall \tau(x) \in \sigma_p (L_p^{\tau(x)} \cap \Omega_{p,p-1} = \Omega_{p,1})$ .

Из леммы 1 и теоремы 1 получаем следующий факт.

Теорема 2 (основная). Если  $G$  нефундаментальная максимальная в  $\sigma_k$  подгруппа, то подалгебра  $C_n(P_k; G + X)$  при любом  $X \neq \emptyset, X \in \Pi^{\max}(G)$  максимальна в  $P_k$ .

Следствие. Если  $G \in S^{\max}(\sigma_k) \setminus S^{\text{bas}}(\sigma_k)$ , то число максимальных в  $P_k$  подалгебр с  $\sigma_k$  — компонентой  $G$  не меньше, чем  $|\Pi^{\max}(G)|$ .

## Приложение

Исследование множеств  $\tilde{\Sigma}(G), B^\perp(G), \Pi(G)$  для произвольной подгруппы  $G \in S(\sigma_k)$  не является необходимым для рассматриваемых в этой заметке вопросов, однако представляет некоторый самостоятельный интерес. Здесь мы приведем пример утверждения об этих множествах.

Теорема 3. Пусть  $G$  произвольная подгруппа в  $\sigma_k$ ;  $\tilde{\Sigma}(G) = \iff(G = \sigma_k) \vee (G = A_k)$ .

Доказательство использует следующие два утверждения:

а)  $\tilde{\Sigma}(G) = \{\emptyset\}$  тогда и только тогда, когда подгруппа  $G$  потенциально эквивалентна всей группе  $\sigma_k$  относительно идеала  $\Omega_{k,k-1}$  (см. [9]);

б)  $G$  потенциально эквивалентна  $\sigma_k$  относительно  $\Omega_{k,k-1}$  тогда и только тогда, когда  $G(k-2)$  — кратно транзитивна.

## ЛИТЕРАТУРА

1. Мальцев А. И. Алгебра и логика. Новосибирск, 1966, т. 5, вып. 2. 2. Яблонский С. В., Курдяев В. Б., Захарова Е. Ю. ДАН СССР, 186, № 3, 509—512, 1969. 3. Rosenberg I. Comptes rendus Acad. Sci., Paris, 260, 1965, 3817—3819. 4. Salomaa A. Ann. Acad. Sci. Fenniae, 1963, Seria AI, 338. 5. Байрамов Р. А. ДАН СССР, 189, № 3, 1971. 6. Захарова Е. Ю. Проблемы кибернетики, вып. 18, 1967, 5—10. 7. Salomaa A. J. of symb. logic, 25, 1960, 203—208. 8. Яблонский С. В. Труды матем. ин-та им. В. А. Стеклова, т. 4, 1, 5—142, 1958. 9. Вајгамоу R. A. Semigroup Forum, USA, vol. 2, 1971, № 2.

Институт кибернетики

Поступило 26. XII 1969

Р. А. Бајрамов

Сонгу чохлугларда верилмиш  
чохаргументли функцијалар синифләри йагында

## ХУЛАСӘ

Мәгаләдә  $P_k$  чәбриндә ( $\Omega, /$ ) компонентли максимал аلت чәбрләрин там тәсвири верилләр вә  $\sigma$  компонентли максимал альт чәбрләрин гурлушу өјрәнилләр.

R. A. Bairamov

About families of multiplace functions on finite sets

## SUMMARY

There are investigated maximal subalgebras of Post's algebra, which semigroup components are ideals. This result is used for study of maximal subalgebras with fixed group components.

Е. Г. КРУТЕНЮК, М. А. ТАЛИБИ

РОЛЬ КИСЛОРОДА И ЕГО АНАЛОГОВ (S, Te)  
В СЕЛЕНОВЫХ ВЫПРЯМИТЕЛЯХ

(Представлено академиком АН Азербайджанской ССР Г. Б. Абдуллаевым)

Кислород в Se, являясь акцепторной примесью, уменьшает его сопротивление на несколько порядков [1—5]. В n-слоях (CdS или CdSe) Se-ых выпрямителей кислород также ведет себя как акцептор [6].

Глубокие примесные уровни в Se, CdS и CdSe с 0,6—0,8 эв [6—8] приводят к ряду аномалий в свойствах p—n-переходов Se—CdSe и Se—CdS [9—10]. По [9—11] одной из возможных причин, порождающих глубокие примесные уровни, является наличие примеси кислорода.

О влиянии обескислороживания селена на электрические свойства выпрямительных элементов сообщалось в [14]. В настоящей работе представлены основные результаты комплексного исследования влияния кислорода и его аналогов (S, Te) на свойства селеновых выпрямительных элементов.

Селен обескислороживался на установке оригинальной конструкции [14], позволяющей осуществлять многократную перегонку в вакууме. Обескислороживание Se контролировалось по полосе поглощения  $SeO_2$  в инфракрасной области [15—16] и по изменению удельного сопротивления [1—5]. Тонкие поверхностные пленки напыленных металлических и полупроводниковых окислов, образуемых в процессе изготовления выпрямительных элементов, изучались по электронограммам снятым методом отражения. Реактивные свойства выпрямительных элементов исследовались мостовым методом. Параметры p—n-перехода вычислялись по данным измерений зависимости барьерной емкости  $C$  от смещения напряжения  $u$ . Согласно модели [17], экспериментально наблюдаемый для p—n-гетеропереходов излом на кривой зависимости  $1/C^2 = f(u)$  позволяет вычислить концентрации ионизованных акцепторов  $n_A$  и доноров  $n_D$  в области объемного заряда и толщину n-слоя  $L_n$  по соотношениям:

$$\frac{d(1/C^2)}{du} = \frac{2}{q\epsilon\epsilon_0 S^2} \cdot \frac{1}{n_A}; \quad \frac{d(1/C^2)}{du} = \frac{2}{q\epsilon\epsilon_0 S^2} \left( \frac{1}{n_A} + \frac{1}{n_D} \right);$$

$$\frac{1}{C_0} = \frac{L}{\epsilon\epsilon_0 S} \left( 1 + \frac{n_D}{n_A} \right),$$

где  $\epsilon_0$  — диэлектрическая постоянная вакуума,  $C_0$  — емкость, соответствующая  $u$ , при котором  $n$  — слой целиком включается в объемный заряд.

**Влияние кислорода.** Методом вакуумной электротермической обработки создан лабораторный технологический вариант  $Se(p)-CdSe(n)$  переходов на обескислороженном селене [14]. Обескислороживание Se увеличивает сопротивление напаренных слоев от  $1 \cdot 10^4$  до  $5 \cdot 10^4$  ом·см. Для  $Se-CdSe$  при  $u_{np} = 0,5$  уменьшается  $I_{np}$  от  $4 \cdot 10^{-4}$  до  $2 \cdot 10^{-4}$  а, при  $u = 3$  в от  $24 \cdot 10^{-2}$  до  $8,5 \cdot 10^{-2}$  а. При  $u_{obr} = 30$  в  $I_{obr}$  уменьшается от  $6 \cdot 10^{-4}$  до  $3 \cdot 10^{-4}$  а; при 50 в — от  $24 \cdot 10^{-4}$  до  $8 \cdot 10^{-4}$  а. Максимальное значение дифференциального сопротивления

$\left( \frac{du}{dl} \right)_{max}$  растет от  $4 \cdot 10^5$  до  $8 \cdot 10^5$  см. Значение  $u_{max}$ , соответствующее

$\left( \frac{du}{dl} \right)_{max}$  смещается от 25 до 40 в, т. е. обескислороживание увеличивает напряжение наступления эффекта Шоттки. Не нарушается характер асимметрии перехода  $Se-CdSe$  ( $N_A > N_D$ ), переход остается резким. Обескислороживание исходного селена уменьшает  $N_D$  от  $1,4 \cdot 10^{16}$  до  $1,1 \cdot 10^{16}$  см<sup>-3</sup>,  $N_A$  уменьшается от  $7,8 \cdot 10^{16}$  до  $5,8 \cdot 10^{16}$  см<sup>-3</sup>. Температурные коэффициенты  $N_A$  и  $N_D$  в интервале 20—120°С меняются в пределах  $0,1 \cdot 10^{16}$ — $0,1 \cdot 10^{16}$  см<sup>-3</sup> и  $1,5 \cdot 10^{16}$ — $0,1 \cdot 10^{16}$  см<sup>-3</sup>. Для необескислороженного Se температурное уменьшение  $N_A$   $5,88 \cdot 10^{16}$ — $0,1 \cdot 10^{16}$  и  $1,18 \cdot 10^{16}$ — $0,1 \cdot 10^{16}$  см<sup>-3</sup> для  $N_D$ . Температурный сдвиг  $u_{max}$  — напряжение перехода емкостной реакции в индуктивную на прямосмещенный переходе  $Se-CdSe$  уменьшается от 0,9 до 0,1 в для необескислороженного Se и от 1,2 до 0,7 в для обескислороженного. Температурные зависимости  $N_D$ ,  $N_A$  и  $u_{max}$  свидетельствуют об участии примеси кислорода в  $Se-CdSe$  в создании глубоких энергетических ловушек 0,6—0,8 в. На селеновых p—n-гетеропереходах, обогащенных акцепторными примесями (Cl или Br), эффект предварительного обескислороживания исходного Se экранируется.

**Примесь Te.** Свойства селеновых p—n-переходов определяются глубокими ловушками [3—5]. Полагают, что глубокие ловушки обусловливаются кислородом либо местами сбыва цепочек Se. В связи с этим исследовано влияние примеси, не образующей с селеном химического соединения и входящей непосредственно в цепочку (Te) [18]. Исследовались образцы в трех вариантах (I, II, III)  $Se (+0,01\% Te)-CdSe$ ;  $Se-CdSe (+0,01\% Te)$ ;  $Se (+0,1\% Te)-CdSe (+0,01\% Te)$ . При нахождении Te только в n- или только в p-части, в обратных ветвях вольтамперных характеристик  $Se-CdSe$  при высоких температурах имеются участки, близкие к насыщению, чего нет в случае, когда примесь находится как в n-, так и в p-части. Присутствие Te только в n- или в p-слое не оказывает сильное влияние на явление (насыщение обратного тока), обусловленное наличием глубоких ловушек; при наличии теллура в p- и в n-слоях действие ловушек ослабляется. Эти экспериментальные факты и температурные изменения  $N_D$  и  $N_A$  для I, II и III вариантов (табл. 1) не позволяют прийти к однозначному заключению о роли мест сбыва цепочек Se в создании глубоких ловушек.

**Примесь Na.** „Обескислороживание“ селена B<sub>5</sub> примесью Na 0,01% повышает интенсивность электроакустического эффекта  $Se-CdSe$  [13]. Повышается пробивное напряжение от 30 до 35 в [12]. Примесь Na 0,1% в Se устраняет переход емкостной реакции в индуктивную для прямосмещенных переходов  $Se-CdSe$ .

Таблица 1

T°C	$N_D, 10^{15} cm^{-3}$			$N_A, 10^{15} cm^{-3}$		
	I	II	III	I	II	III
40	2,42	4,33	0,28	3,33	11,34	0,68
50	0,94	2,60	0,26	3,19	7,32	0,56
60	0,53	2,80	0,22	1,30	4,23	0,44
70	0,35	1,32	0,21	1,20	4,21	0,32

Примесь  $\text{SeO}_2$ . Содержание  $\text{SeO}_2$  в толще Se было 0,0,1,1%. Повольтамперным характеристикам элементов  $\text{SeO}_2$  действует как дополнительная акцепторная примесь к Se, что подтверждается смещением  $U_{\text{ппв}}$  от 0,6 к 0,4 в. Для образцов без примеси галоида в Se, примесь  $\text{SeO}_2$  увеличивает  $N_A$ , при наличии Br с ростом содержания  $\text{SeO}_2$  уменьшается  $N_A$  (табл. 2).

**Окисление Al и Cd.** Установлено, что при толщине слоя  $Cd < 1 \text{ мк}$  образуются участки прямого контакта селена с поверхностью материала.

Таблица 2

% примеси $\text{SeO}_2$ в толще Se	$N_A \cdot 10^{16} \text{ см}^{-2}$		$N_D \cdot 10^{16} \text{ см}^{-3}$	
	без Br	с Br	без Br	с Br
0	1,31	3,35	3,91	3,90
0,1	1,33	3,35	5,57	2,93
1,0	5,67	3,91	1,38	2,61

подложки Al( $\text{Al}_2\text{O}_3$ ). Контакты Al—Se и  $\text{Al}_2\text{O}_3$ —Se анизотропны и обладают высоким сопротивлением. При  $h_{\text{Cd}} > 2 \text{ мк}$  в зависимости  $L_{\text{CdSe}} = f(h_{\text{Cd}})$  наблюдается тенденция к насыщению, что обусловлено препятствием образуемого в результате электроформовки слоя, и к продолжению реактивной диффузии между Cd и Se.

Интерпретация электронограмм пленок Cd показала наличие на поверхности Cd и CdO. Кристаллы Cd на поверхности имели некоторую ориентацию.  $n$ -тип проводимости CdO указывал на наличие стехиометрического избытка Cd. При отсутствии дополнительной акцепторной примеси (галоид) в Se наличие пленки CdO повышает  $I_{\text{пр}}$  и  $I_{\text{обр}}$ , отсутствует  $\mu_{\text{ппв}}$  до  $\mu_{\text{пр}} = 1 \text{ в}$ . При наличии галоида  $\mu_{\text{ппв}} = 0,3 - 0,4 \text{ в}$ , наблюдается рост  $I_{\text{обр}}$ . Наличие CdO затрудняет формирование выпрямляющего слоя. Наличие CdO в селеновых элементах является одной из причин их расслоения.

Окисление Ві. Оказалось, что Ві контакт к Se не всегда является омическим. Все факторы, препятствующие кристаллизации слоя селена, контактирующего с висмутом, задерживают реактивную диффузию между Ві и Se и образование  $\text{Bi}_2\text{Se}_3$ , обеспечивающего омичность контакта. Электронограммы напыленных пленок Ві показали наличие как Ві, так и  $\alpha-\text{Bi}_2\text{O}_3$ . Проводимость  $\alpha-\text{Bi}_2\text{O}_3$  указывал на стехиометрический избыток Ві. Независимо от наличия в Se дополнительной акцепторной примеси (Cl или Br), контакт  $\text{BiO}(n)-\text{Se}(p)$  обладает анизотропией  $\sigma$ . Окисление Ві устраивает переход емкостной реакции в индуктивную.

Влияние S. В табл. 3 приведены результаты сравнительного

Таблица 3

P-n гетеро- переход	Параметры					
	$d_0 \cdot 10^{-4}$ см	$R_0 \cdot 10^4$ ом	$N_A \cdot 10^{10}$ см $^{-3}$	$N_D \cdot 10^{16}$ см $^{-3}$	$L_n \cdot 10^{-4}$ см	$E_{\text{пер}} \cdot 10^4$ в/см
Se—CdSe	0,12	0,3	2,0	5,5	0,17	2,72
Se—CdS	0,32	5,0	1,1	1,0	0,32	1,78

исследования элементов Se—CdSe и Se—CdS, изготовленных при идентичных условиях.

Для Se—CdS значение  $\mu_{\text{пп}}$  смещено в область больших  $\mu$ ,  $n$ -слой CdS почти в два раза толще CdSe. Эффект Шоттки в Se—CdSe начинает действовать при сравнительно малой напряженности электричес-

кого поля. ( $E_{\text{нep}} = 1,78 \cdot 10^4 \frac{\text{В}}{\text{см}}$ ) по сравнению с Se—CdSe ( $E_{\text{нep}} = 2,72 \cdot 10^4 \frac{\text{В}}{\text{см}}$ ). В результате уменьшается крутизна обратной ветви

BAX. Меньшая крутизна прямой ветви BAX Se—CdS—обусловлена большим  $R_0$  и высокомоментностью CdS.

Сера в качестве примеси способствует уменьшению  $N_A$  и  $N_D$ , росту толщины  $n$ -слоя и позволяет управлять степенью симметрии слоя объемного заряда Se—CdSe ( $N_A = N_D$ ,  $N_A > N_D$  или  $N_A < N_D$ ). Авторы благодарны акад. Г. Б. Абдуллаеву за обсуждение результатов и ценные советы.

## ЛИТЕРАТУРА

- Козырев П. Т. ФТТ, 1, 1959.
  - Eckart F. Monatsber. Deutsch. Acad. Wiss., 3, 162, 1961.
  - Ескарт F. Phys. Stat. Solidi., 2, 1962.
  - Абдуллаев Г. Б. Алиев Г. М., Баркинхов Х. Г., Аскеров Г. М., Ларионкина Л. С. ФТТ, 6, 1019, 1964.
  - Abdullaev G. B., Mehtieva S. J., Abdinov D. S. N. Aliev G. M. Phys. Stat. Sol., 11, 891, 1965.
  - Буюб Р. Фотопроводимость твердых, тел ИЛ, М., 1962.
  - Spear W. E., Lanouop H. P. D. Proceedings International Conference on Semiconductor Physics, Prague, 1960.
  - Lanouop H. P. D.; Spear W. E. Proc. Phys. Soc., 77, 6, 498, 1961.
  - Абдуллаев Г. Б. Полупроводниковые впрямители. Изд-во АН Азерб. ССР, 1958.
  - Абдуллаев Г. Б., Манафлы Э. И., Талиби М. А. Селен-теллур и их применение. Изд-во АН Азерб. ССР, Баку, 1965.
  - Манафлы Э. И., Талиби М. А., Селен-теллур и их применение. Изд-во АН Азерб. ССР, Баку, 1965.
  - Талиби М. А., Крутеник Е. Г. Селен-теллур и их применение. Изд-во АН Азерб. ССР, Баку, 1965.
  - Галиби М. А., Крутеник Е. Г. Изв. АН Азерб. ССР, серия физ.-мат. и технич. наук\*, № 1, 1967.
  - Талиби М. А., Крутеник Е. Г. Тезисы докл. 3-го Всесоюзного совещания по физическим явлениям в  $p-n$ -переходах в полупроводниках. Тбилиси, 1966.
  - Тагиев К. К., Талиби М. А. Статья в сб., посвященном 20-летию АН Азерб. ССР, Баку, 1966.
  - Талиби М. А., Алиев М. М. Статья в сб. "Селен, теллур и их применение". Изд-во АН Азерб. ССР, Баку, 1965.
  - Dolega U. Zs. für Physik, № 6, 1962.
  - Ланге В. И., Регель А. Р. ФТТ, 1959, № 4, 559, 562.

## *Инс титут физики*

Поступило 10. X 1969

Ј. Г. Крутењук, М. Э. Талиби

Оксикен вэ онун аналогларынын (S, Te) селен дүзләндиричи элементләриндә ролу.

ХУЛАСЭ

Мәгаләдә оксикепин селендә ашгар шәклиндә вә Яаҳуд кечид тәбәтәләриниң оксидләшмәсинин селен дүзләндиричи елементлари пар-

метрләринә тә'сири тәдгиг едилемишdir. Күкүрд, теллур элементләринин ашгар вә җаҳуд тәбәгә шәклиндә сelen лүзләндирichi элементләринин электрофизики хассаләринә тә'сири ёјрәнилмишdiо.

E. G. Kru'eniuk, M. A. Taltbi

## Oxygen and its analogs (S, Te) in Selenium Rectifiers

### SUMMARY

The results of the influence both of oxygen impurity in selenium and intermediate layers oxidation upon the selenium rectifiers parameters are reported. An investigation is made of S and Te impurities or layers influence upon the electrophysical properties of selenium rectifiers.

АЗӘРБАЙЧАН ССР ЕЛМЛӘР АКАДЕМИЯСЫНЫН МӘРУЗӘЛӘРИ

ДОКЛАДЫ АКАДЕМИИ НАУК АЗЕРБАЙДЖАНСКОЙ ССР

ТОМ XXVII

№ 7

1971

УДК 547.239.2

### ОРГАНИЧЕСКАЯ ХИМИЯ

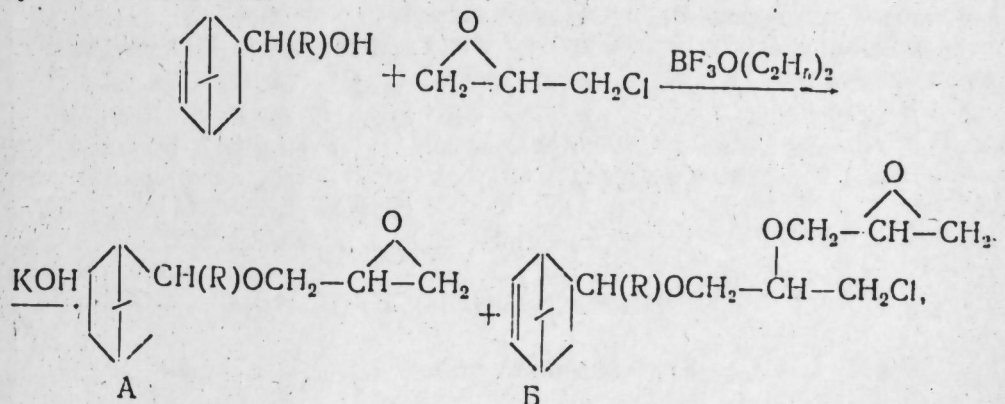
С. И. САДЫХ-ЗАДЕ, чл.-корр. М. А. МАРДАНОВ, Р. А. СУЛТАНОВ,  
З. Б. СУЛТАНОВА

### ВЗАИМОДЕЙСТВИЕ БИЦИКЛИЧЕСКИХ СПИРТОВ С ЭПИХЛОРГИДРИНОМ В ПРИСУТСТВИИ ЭФИРАТА ФТОРИСТОГО БОРА

В последнее время большое внимание уделяется полимерным материалам, используемым в агрессивных средах. Устойчивость последних к различным воздействиям обусловливается, главным образом наличием в макромолекуле эфирных связей [1, 2]. Следовательно, наиболее интересными мономерами, пригодными для получения полимерных материалов, обладающих вышеперечисленными свойствами являются эпоксидные соединения. Последние, как известно, способны полимеризоваться по эпоксидному кольцу с образованием полиэфиров.

В свете изложенного и в продолжении исследований [3—7], нами в настоящей работе изучена реакция бициклических спиртов с эпихлоргидрином в присутствии эфирата трехфтористого бора.

Установлено, что взаимодействие производных гидроксиметилбицикло (2, 2, 1) гептена-5 с эпихлоргидрином и последующее дегидрохлорирование приводит к образованию в основном двух продуктов реакции по схеме:

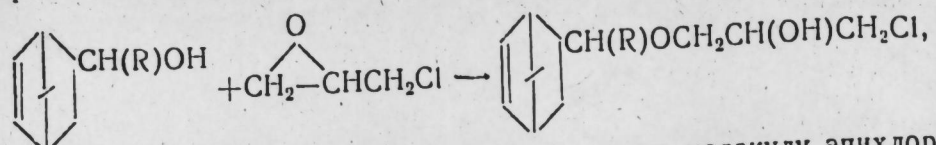


где R — алкил, алкенил.

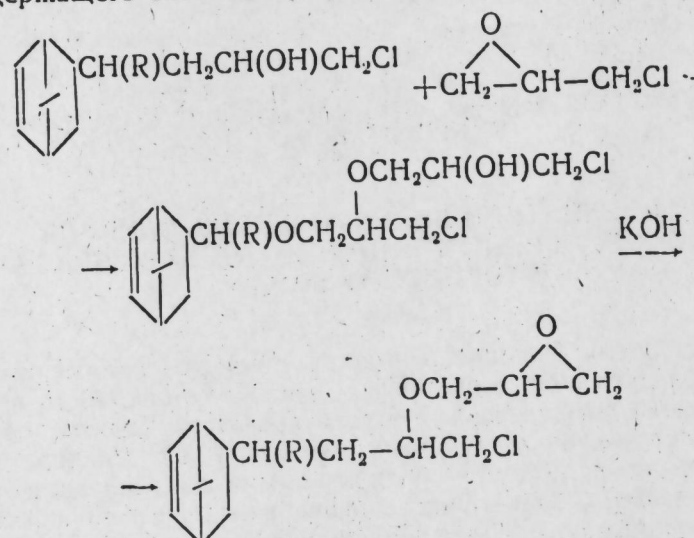
В ИК-спектрах полученных продуктов найдена частота ( $852 \text{ см}^{-1}$ ) характерная для эпоксидной группы\*.

\* ИК-спектры продуктов снимались на приборе ИКС-14, прisma NaCl или LiF

Получение продукта Б) по вышеприведенной схеме объясняется образованием на первой стадии бициклического хлоргидрина:

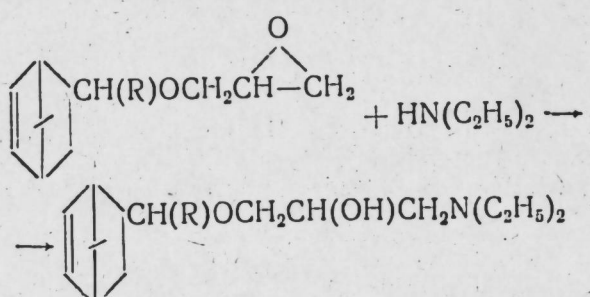


который в условиях опыта присоединяет вторую молекулу эпихлоргидрина и последующее дегидрохлорирование приводит к образованию хлорсодержащего эпоксидного соединения по схеме:

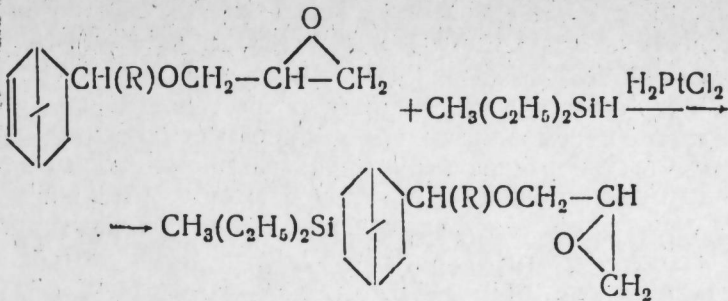


Следует отметить, что процентное соотношение образовавшихся продуктов А) и Б) зависит, главным образом, от соотношения реагирующих компонентов. Так, например, реакция 1-этил-1-гидросиметилбицикло (2, 2, 1) гептена-5 с эпихлоргидрином при температуре 24°C в эквимолекулярном сопротивлении реагирующих компонентов приводит к образованию 20% продукта А) и 31% Б). Напротив, при взаимодействии 6-кратного избытка бициклического спирта выход продукта А) составляет 66%, а Б) — 8%.

В синтезированных соединениях эпоксидное кольцо оказалось весьма реакционноспособным и легко вступает в реакцию с диэтиламином по схеме:

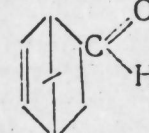


Реакционноспособной оказалась и кратная связь. Так, при взаимодействии 1-этил-1-глицидоксиметилбицикло (2, 2, 1) гептена-5 с метилдиэтилсиланом в присутствии 0,1 н раствора платинохлористоводородной кислоты, было получено соответствующее кремнийорганическое эпоксидное соединение по реакции:

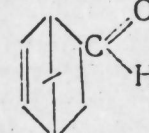


### ЭКСПЕРИМЕНТАЛЬНАЯ ЧАСТЬ

Исходные бициклические спирты были получены взаимодействием



алкил (алкенил) магнийгалогенидов с



и имели следующие свойства: 1-этил-1-гидроксиметилбицикло-(2, 2, 1) гептен-5 т. кип. 79—80°C (1 м.м.),  $n_{D}^{20}=1,4902$ ;  $d_4^{20}=0,9873$ , 1-аллил-1-гидроксиметилбицикло (2, 2, 1) гептен-5 т. кип. 77—78°C (0,5 м.м.),  $n_{D}^{20}=1,4982$ ;  $d_4^{20}=0,9917$ , 1-металлил-1-гидроксиметилбицикло (2, 2, 1) гептен-5 т. кип. 80—81°C (0,5 м.м.)  $n_{D}^{20}=1,4991$ ;  $d_4^{20}=0,9811$ .

### 1-этил-1-глицидоксиметилбицикло (2, 2, 1) гептен-5

В реакционную колбу поместили 98 г (0,6 моля) свежеперегнанного 1-этил-1-гидроксиметилбицикло (2, 2, 1) гептена-5 и 3 капли эфира трехфтористого бора. При перемешивании и охлаждении ( $-4^{\circ}\text{C}$ ) к содержимому колбы постепенно приливали 55,2 г (0,6 моля) эпихлоргидрина.

На следующий день реакционную массу разбавили эфиром и порциями добавляли 30 г измельченного KOH, а затем нагревали в течение 5 ч при температуре кипения эфира. После отделения от образовавшегося осадка и отгонки растворителя, вакуумной разгонкой выделены две фракции.

Первая фракция в количестве 25 г с т. кип. 100—104° (1 м.м.) представляла собой 1-этил-1-глицидоксиметилбицикло (2, 2, 1) гептен-5 и после повторной разгонки имела т. кип. 100,5—101,5 (1 м.м.),  $n_{D}^{20}=1,4816$ ;  $d_4^{20}=1,0191$ .  $MR_{\text{напл.}}=58,45$ ,  $MR_{\text{выч.}}=58,24$ . Найдено, %: C—75,11, H—10,01, —9,82.  $C_{13}H_{20}O_2$ . Вычислено, %: C—74,95, H—9,68.

Вторая фракция в количестве 39,5 г с т. кип. 155—157° (1 м.м.) представляла собой 1-хлор-2-глицидокси-3-(1-этил) оксиметилбицикло (2, 2, 1) гептен-5. Т. кип. 155—157° (1 м.м.),  $d_4^{20}=1,4901$ ;  $d_4^{20}=1,1108$ ;  $MR_{\text{напл.}}=78,82$ ,  $MR_{\text{выч.}}=78,31$ . Найдено, %: C—64,02, 64,21, H—8,66, 8,91, Cl—12,05, 12,32.  $C_{16}H_{23}O_2Cl$ . Вычислено, %: C—63,87, H—8,45, Cl—11,73.

### 1-аллил-1-глицидоксиметилбицикло (2, 2, 1) гептен-5

К 250 г (1,5 моля) 1-аллил-1-гидроксиметилбицикло (2, 2, 1) гептену-5 при температуре 0° в присутствии катализатора было добавлено 24 г (0,3 моля) эпихлоргидрина. Содержимое колбы перемешивали в течение 6 ч, а затем подвергли вакуумной разгонке.

Получено 19,3 г 1-хлор-2-ол-3-(1-аллил) оксиметилбицикло (2, 2, 1) гептен-5 с т. кип. 130—131° (0,5 мм)  $n_{D}^{20}$ —1,5025;  $d_{4}^{20}$ —1,1040  $MR_{\text{напл.}}$ —69,55.  $MR_{\text{выч.}}$ —68,74.

Далее, к полученному хлоргидрину в растворе эфира добавили 30 г KOH и смесь перемешивали при температуре кипения эфира 1 ч. После отгонки растворителя вакуумной разгонкой выделено 1-аллил-1-глицидоксиметилбицикло (2, 2, 1) гептен-5 с т. кип. 100—104° (0,5 мм). Анализируемое вещество после повторной разгонки имело: т. кип. 100—102° (0,5 мм)  $n_{D}^{20}$ —1,49,  $d_{4}^{20}$ —1,0219.  $MR_{\text{напл.}}$ —62,60;  $MR_{\text{выч.}}$ —62,48. Найдено, %: C—76,76, 76,59, H—9,26, 9,31.  $C_{14}H_{20}O_2$ . Вычислено, %: C—76,3, H—9,15.

### 1-диэтиламино-2-ол-3-(1-этил) оксиметилбицикло (2, 2, 1) гептен-5

Смесь, состоящая из 72,5 г (0,12 моля) 1-этил-1-глицидоксиметилбицикло (2, 2, 1) гептена-5, 8 г (0,12 моля) диэтиламина и 1 мл воды перемешивалась в течение 6 ч при температуре 50°С. После отгонки легкокипящих компонентов перегонкой под вакуумом выделено 23,1 г 1-диэтиламино-2-ол-3-(1-этил) оксиметилбицикло (2, 2, 1) гептена-5 с т. кип. 134—135° (0,5 мм),  $n_{D}^{20}$ —0,4789,  $d_{4}^{20}$ —0,9735.  $MR_{\text{напл.}}$ —82,94,  $MR_{\text{выч.}}$ —82,02. Найдено, %: C—73,19, 73,26, H—11,23, 11,32.  $C_{17}H_{34}O_2$ . Вычислено, %: C—72,90, H—11,10. Выход—86% от теории.

### 1-этил-1-глицидоксиметилдиэтилсилансилицикло (2, 2, 1) гептен-5

В колбу, снабженную обратным холодильником, капельной воронкой и термометром, поместили 12,5 г (0,06 моля) свежеперегнанного 1-этил-1-глицидоксиметилбицикло (2, 2, 1) гептена-5 и 3 капли 0,1 н раствора платинохлористоводородной кислоты в изопропиловом спирте. Содержимое колбы нагрели до температуры 70° и порциями приливали 6,1 г (0,06 моля) метилдиэтилсилана. При этом температура кипения смеси самопроизвольно поднялась до 125° и оставалась постоянной в течение 1 ч.

На следующий день после отгонки легкокипящих компонентов вакуумной разгонкой выделено 15,5 г сырого 1-этил-1-глицидоксиметилметилдиэтилсилана с т. кип. 150—151° (0,5 мм). При повторной разгонке вещество имело: т. кип. 150—151° (0,5 мм)  $n_{D}^{20}$ —1,4830;  $d_{4}^{20}$ —0,9722  $MR_{\text{напл.}}$ —92,03  $MR_{\text{выч.}}$ —91,24. Найдено, % Si:—9,81; 9,67 C—69,82 69,99 H—11,42 11,56  $C_{19}H_{34}O_2$ . Вычислено, % Si:—9,04 C—69,60 H—11,35. Выход—82% от теории.

### Выходы

1. Изучена реакция взаимодействия бициклических спиртов с эпихлоргидрином в присутствии эфирата трехфтористого бора. Установлено, что указанная реакция приводит к образованию в основном двух продуктов, процентный состав которых зависит от соотношения реагирующих компонентов.

### ЛИТЕРАТУРА

1. Малиновский М. С. Окиси олефинов и их производные. ГХИ, 1961.
2. Пакен А. М. Эпоксидные соединения и эпоксидные смолы. ГХИ, 1962.
3. Садыхзаде С. И., Рагимова Л. Г. ЖОРХ 2, 158, 1966.
4. Султанов Р. А., Садыхзаде С. И., Халилова Э. М. ЖОРХ, 1, 133, 1965.
5. Садыхзаде С. И., Султанов Р. А.

таев Р. А. ЖОРХ, 7, 1166, 1966. 6. Садыхзаде С. И., Султанов Р. А., Глуховиев В. Г., Мамедова Л. Г., Мамедов Ф. В. ЖОРХ 1, 189, 1967, 7. Садыхзаде С. И., Султанов Р. А. Химия гетероциклических соединений, №, 1971.

Сумгаитский филиал ИНХП

Поступило 6. XI 1970

С. И. Садыхзаде, М. Э. Марданов, Р. А. Султанов, З. Б. Султанова

Бициклик спиртләрин үчфлорлуборефири иштиракында  
епихлоргидринлә реаксијасы

### ХУЛАСЭ

Һидроксиметилбицикло (2, 2, 1) гептен-5-ин тәрәмәләринин епихлоргидринлә реаксијасы вә соирадан һидрокен-хлоридин чыхарылмасы әсасән ики мәһсүлүн алынмасы илә олур. Алынмыш мәһсүлларын фаизлә нисбәти әсәсән реаксија дахил олан маддәләрин нисбәтindән асылыдыр. Синтез едилмиш бирләшмәләрдә икигат работә вә епоксид һәлгәси чох реаксија кирмәје габилдир.

S. I. Sadikhzade, M. A. Mardanov, R. A. Sultanov, L. B. Sultanova

Interaction of Bicyclic alcohols with Epichlorohydrin  
in the Presence of Ethereal salt of Boron Trifluoride

### SUMMARY

The reaction of bicyclic alcohols with epichlorohydrin has been studied in the presence of the ethereal salt of boron trifluoride.

Said reaction leads to the formation of two products, their percentage ratio being depend on the ratio of reacting components.

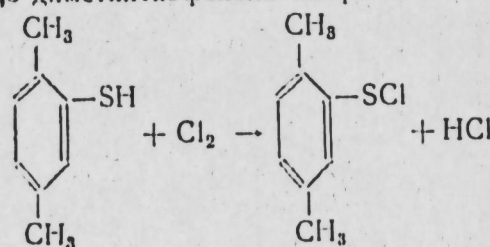
The compounds synthesized are reactive as evidenced by the interaction of the latter with diethyle amine and hydrides of silicon.

Академик А. М. КУЛИЕВ, А. К. КЯЗИМ-ЗАДЕ, К. З. ГУСЕЙНОВ

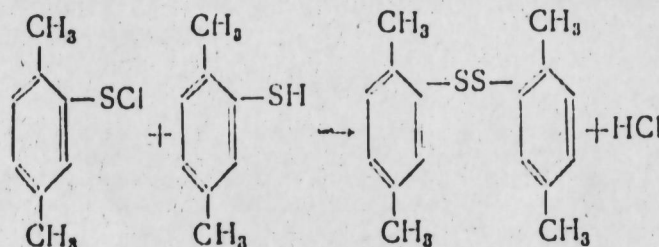
### СИНТЕЗ АЗОТСОДЕРЖАЩИХ СОЕДИНЕНИЙ НА ОСНОВЕ 2, 5-ДИМЕТИЛФЕНОЛА

Известно, что ряд соединений, содержащих в своем составе сульфидную серу и третичный азот являются эффективными присадками к смазочным маслам [1]. Однако работы, посвященные изучению зависимости между строением и эффективностью таких соединений незначительны. В связи с этим нам оказалось интересным синтезировать некоторые азотсодержащие производные 2, 5-диметилфенола, отличающиеся расстоянием атомов азота и серы, а также изучить влияние полученных соединений на свойства смазочных масел. С этой целью осуществлялся синтез 2,5-диметилбензолсульфенимидов и диалкиламинометил-, диалкиламиноэтил-2,5-диметилфенилсульфидов.

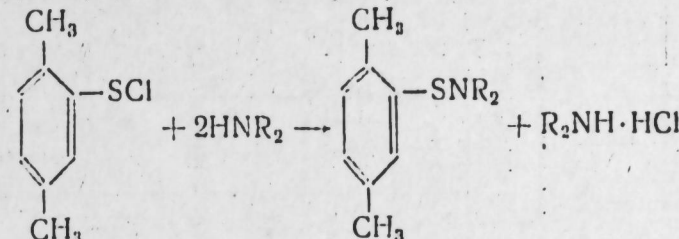
Исходным продуктом для синтеза 2,5-диметилбензолсульфенимидов служил 2,5-диметилфенилсульфенилхлорид (I). Последний получен хлорированием 2,5-диметилфенола хлором:



Во избежание гидролиза, реакция проводилась при полном исключении доступа влаги, а для устранения возможности *C*-хлорирования процесс проводился в темноте при  $-15^{\circ}\text{C}$ . Строение соединения (I) доказано превращением его в литературе известный ди-(2,5-диметилфенил)-дисульфид 2 под действием 2,5-диметилфенола:

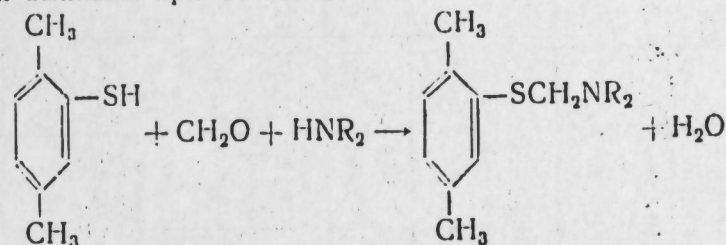


Реакцией соединения (I) с вторичными аминами при  $-5-10^{\circ}\text{C}$  и молярном соотношении компонентов 1:2 были синтезированы соответствующие 2,5-диметилбензолсульфенимиды (II-VI):



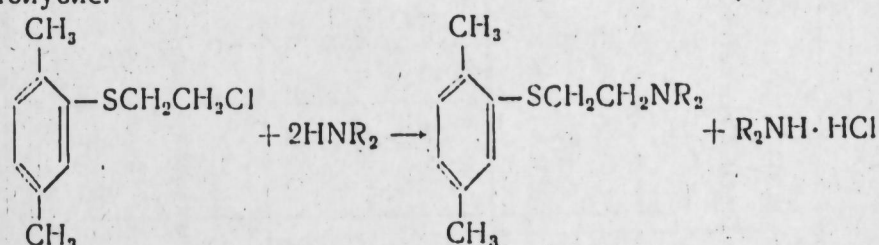
$\text{R}=\text{CH}_3$  (II),  $\text{C}_2\text{H}_5$  (III),  $\text{n-C}_4\text{H}_9$  (IV), *N*-морфолил (V), *N*-пиперидил (VI).

Диалкиламинометил-2,5-диметилфенилсульфиды (VII-XI) синтезированы конденсацией 2,5-диметилфенола с формальдегидом и вторичными аминами при  $30-35^{\circ}\text{C}$ .



$\text{R}=\text{CH}_3$  (VII),  $\text{C}_2\text{H}_5$  (VIII),  $\text{n-C}_4\text{H}_9$  (IX), *N*-морфолил (X), *N*-пиперидил (XI).

Диалкиламиноэтил-2,5-диметилфенилсульфиды (XII-XIII) получены по методике, описанной в литературе [3]: кипячением хлорэтилмеркапто-2,5-диметилбензола с 2-кратным избытком вторичного амина в толуоле.



$\text{R}=\text{N}$ -морфолил (XII), *N*-пиперидил (XIII).

#### ЭКСПЕРИМЕНТАЛЬНАЯ ЧАСТЬ

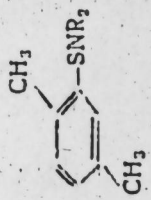
2,5-диметилфенилсульфенилхлорид (I). К раствору 13,8 г (0,1 г-мол) 2,5-диметилфенола [4] в 50 мл безводного четыреххлористого углерода при температуре  $-15^{\circ}\text{C}$  и перемешивании добавляют по каплям раствор 7,09 г (0,1 г-мол) хлора в 100 мл безводного четыреххлористого углерода и перемешивают еще 1 ч.

Отгонку растворителя и перегонку 2,5-диметилфенилсульфенилхлорида проводят в вакууме. Выход—81%, т. кип.  $80-81^{\circ}\text{C}$  (0,5 мм). Найдено, %: C 55,72; H 5,37; Cl 20,48; 18,64.  $\text{C}_8\text{H}_6\text{ClS}$ . Вычислено, %: C 55,64; H 5,25; Cl 20,53; S 18,56.

2,5-диметилфенилсульфенилхлорид представляет собой тяжелую жидкость темно-красного цвета, льющуюся на воздухе, с запахом, напоминающим запах полуухлористой серы. Он хорошо растворяется в эфире, бензоле, ацетоне, хлорформе, четыреххлористом углероде.

Таблица 1

## Константы 2,5-диметилензолсульфамидов



№ сочин- нения	<i>R</i>	Выход, %	T. кип. ( <i>P</i> , м.м.)	<i>d</i> <sup>20</sup> <sub>4</sub>	<i>n</i> <sup>20</sup> <sub>D</sub>	Найдено, %				Формула	Вычислено, %			
						C	H	N	S		C	H	N	S
II	CH <sub>3</sub>	70,0	67—68 (0,3)	1,0043	1,15521	66,31	8,29	7,81	17,62	C <sub>10</sub> H <sub>12</sub> NS	66,24	8,34	7,72	17,69
III	C <sub>2</sub> H <sub>5</sub>	71,4	98—99 (0,5)	0,9802	1,5397	68,78	9,18	6,72	15,37	C <sub>11</sub> H <sub>14</sub> NS	68,84	9,14	6,62	15,31
IV	C <sub>4</sub> H <sub>9</sub>	75,5	132—133 (0,4)	0,9509	1,5250	72,43	10,34	5,35	12,19	C <sub>10</sub> H <sub>12</sub> NS	72,39	10,25	5,27	12,07
V	<i>N</i> -морфорил	70,8	106—107 (0,4)	—	—	64,55	7,71	6,33	14,39	C <sub>12</sub> H <sub>14</sub> NOS	64,53	7,67	6,27	14,35
VI	<i>N</i> -пиперидил	71,3	112—113 (0,8)	1,0335	1,5602	70,49	8,72	6,35	14,52	C <sub>13</sub> H <sub>16</sub> NS	70,53	8,65	6,33	14,48

Таблица 2



№ сочин- нения	<i>R</i>	Вывод, %	T. кип. ( <i>P</i> , м.м.)	<i>d</i> <sup>20</sup> <sub>4</sub>	<i>n</i> <sup>20</sup> <sub>D</sub>	M/R <sub>D</sub>			Найдено, %	Формула	Вычислено, %					
						найдено	вычи- лено	С	H	N	S	C	H	N	S	
VII	CH <sub>3</sub>	89,0	96—97 (0,5)	1,0066	1,5605	62,53	62,79	67,79	8,60	7,25	16,48	C <sub>11</sub> H <sub>17</sub> NS	67,63	8,77	7,17	16,41
VIII	C <sub>2</sub> H <sub>5</sub>	91,4	115—116 (0,5)	0,9791	1,5478	72,43	71,77	69,76	9,56	6,34	14,41	C <sub>13</sub> H <sub>21</sub> NS	69,89	9,47	6,27	14,35
IX	C <sub>4</sub> H <sub>9</sub>	90,9	132—133 (0,2)	0,9440	1,5265	90,98	90,24	73,19	10,56	11,39	5,17	C <sub>17</sub> H <sub>29</sub> NS	73,05	10,45	11,47	5,01
X	<i>N</i> -морфорил	94,5	T <sub>2</sub> 111, 56°	—	—	—	—	—	65,83	8,16	13,61	C <sub>13</sub> H <sub>19</sub> NOS	65,78	8,06	5,90	13,50
XI	<i>N</i> -пипери- динил	93,2	129—130 (0,5)	1,0322	1,56,5	74,74	74,19	71,38	9,16	5,88	13,71	C <sub>14</sub> H <sub>21</sub> NS	71,43	8,99	5,95	13,62

Ди-(2,5-диметилфенил)-дисульфид. К смеси 4,14 г (0,03 г-мол) 2,5-диметилтиофенола в 50 мл сухого эфира при перемешивании 0°C по каплям прибавляют 5,17 г (0,03 г-мол) 2,5-диметилфенилсульфенилхлорида в 20 мл эфира. После окончания реакции отгоняют растворитель и полученные кристаллы перекристаллизовывают этиловым спиртом.

Выход—5,8 г (71%), т. пл. 47°. Найдено, %: С 70,12; Н 6,73; S 23,20. C<sub>16</sub>H<sub>18</sub>S<sub>2</sub>. Вычислено, %: С 70,02; Н 6,61; S 23,36.

2,5-диметилбензолсульфенамиды (II—VI). К раствору 0,1 г-мол вторичного амина (диметиламин получен из его гидрохлорида) в 100 мл сухого эфира при охлаждении до —5—7°C по каплям добавляют 0,05 г-мол 2,5-диметилфенилсульфенилхлорид в 50 мл абсолютного эфира. Отфильтровывают выпавший гидрохлорид вторичного амина, полученный амид перегоняют в вакууме. Характеристика сульфенамидов приведена в табл. 1.

Диалкиламиноэтил-2,5-диметилфенилсульфиды (VII—XI). К 0,1 г-мол 36% водному раствору формальдегида при 20—25°C по каплям добавляют 0,1 г-мол вторичный амин, затем, 0,1 г-мол 2,5-диметилтиофенол. Смесь перемешивают 4 ч при 30—35°C, экстрагируют эфиром, промывают водой и высушивают над хлористым кальцием. Растворитель отгоняют, а продукт перегоняют в вакууме. Константы соединений (VII—XI) приведены в табл. 2.

N-морфолилэтил-2,5-диметилфенилсульфид (XII). Смесь 0,05 г-мол β-хлорэтилмеркапто-2,5-диметилбензола, полученного по ранее описанным методам [5] и 0,1 г-мол морфолина разбавлялась 30 мл безводного толуола и нагревалась в колбе с обратным холодильником при слабом кипении 8 ч. После разбавления 15 мл эфира кристаллы солянокислого морфолина отделялись фильтрованием, а фильтрат после предварительной отгонки растворителя перегонялся в вакууме.

Выход—94,6%, т. кип. 137—139 (0,2 мм), d<sub>4</sub><sup>20</sup> 1,0746, n<sub>D</sub><sup>20</sup> 1,5631, M<sub>R</sub><sub>D</sub> 75,98; выч. 75,84. Найдено, %: С 66,79; Н 8,56; N 5,64; S 12,84. C<sub>14</sub>H<sub>21</sub>NOS. Вычислено, %: С 66,88; Н 8,42; N 5,57; S 12,75.

Аналогично синтезирован N-пиперидилэтил-2,5-диметилфенилсульфид. Выход—95%, т. кип. 135—136 (0,5 мм), d<sub>4</sub><sup>20</sup> 1,0193, n<sub>D</sub><sup>20</sup> 1,5585, M<sub>R</sub><sub>D</sub> 78,94; выч. 78,81; Найдено, %: С 72,28; Н 9,34; N 5,69; S 12,91. C<sub>15</sub>H<sub>23</sub>NS. Вычислено, %: С 72,23; Н 9,29; N 5,61; S 12,85.

### Выводы

1. Хлорированием 2,5-диметилтиофенола синтезированы 2,5-диметилфенилсульфенилхлорид. Показано, что реакция последнего с вторичными аминами приводит к образованию соответствующих сульфенамидов—амидов 2,5-диметилбензолсульфеновой кислоты.

2. Изучена реакция конденсации 2,5-диметилтиофенола с формальдегидом и вторичными аминами, в результате чего получены не описанные в литературе диалкиламиноэтил-2,5-диметилфенилсульфиды.

3. Установлено, что при кипячении β-хлорэтилмеркапто-2,5-диметилбензола с морфолином и пиперидином образуются соответственно N-морфолил и N-пиперидилэтил-2,5-диметилфенилсульфиды.

### ЛИТЕРАТУРА

- Моторные и реактивные масла и жидкости. Изд. „Химия“, 1963. 2. Vartkus E. A., Hotelling E. B., Newworth M. B., J. Org. chem., 22, № 10, 1185, 1957.
- Ремизов А. Л., Хромов-Борисов Н. В., ЖОХ, 26, 1471, 1956. 4. Кулиев А. М., Гусейнов К. З. ЖОрХ, 3, 105, 1967. 5. Кулиев А. М., Гусейнов К. З. Сб. „Проблемы получения полу продуктов промышленности органического синтеза“. Изд. „Химия“, Л., 1967.

Институт химии присадок

Поступило 11. IV 1970

Э. М. Гулиев, Э. К. Казым-задэ, Г. З. Гусейнов

2,5-диметилтиофенол әсасында тәркибинде азот олан маддәләрин синтези.

### ХУЛАСӘ

Мәгалә 2,5-диметилбензолсульфенамидләрн вә диалкиламиноэтил-диалкиламиноэтил-2,5-диметилфенилсульфидләрн синтезинә һәср олунмушдур.

2,5-диметилбензолсульфенамидләр-2,5-диметилфенилсульфенилхлоридни икили аминләрлә реаксија ындан алымышдыр.

Мүәյҗән олунмушдур ки, 2,5 лиметилтиофенолун формалдехид вә икили аминләрлә конденсләшмәсі нәтичәсиндә мұвағиг диалкиламиноэтил-2,5-диметилфенилсульфидләр алышыр.

Диалкиламиноэтил-2,5-диметилфенилсульфидләр β-хлоретилмеркаптобензолун икили аминләрлә гарышылыгы тә'сирі нәтичәсиндә синтезедилмишdir.

A. M. Kuliev, A. K. Kyazim-zade, K. Z. Guseinov

Synthesis of nitrogen containing compounds based on 2,5-dimethylthiophenol

### SUMMARY

2,5-dimethylenesulfenyl chloride (11) was prepared from 2,5-dimethylthiophenol (1) and chlorine in carbon tetrachloride at —15°C.

By reaction of (11) and secondary amines in absolute ether was prepared series of 2,5-dimethylbenzenesulfenodialkylamides.

(1) with formaldehyde and secondary amines gave dialkylaminomethyl-2,5-dimethylphenylsulfide.

By reaction of 2,5-(Me)<sub>2</sub>C<sub>6</sub>H<sub>3</sub>CH<sub>2</sub>CH<sub>2</sub>Cl with secondary amines dialkylaminoethyl-2,5-dimethylphenyl sulfide was obtained.

УДК 547.594.4

## ОРГАНИЧЕСКАЯ ХИМИЯ

Э. Т. СУЛЕЙМАНОВА, М. Р. МУСАЕВ, академик С. Д. МЕХТИЕВ,  
Л. И. КАСУМОВ, М. И. МИРГАСАНОВА

### О КОНДЕНСАЦИИ ГИДРОАРОМАТИЧЕСКИХ АЛЬДЕГИДОВ С ОКИСЬЮ МЕЗИТИЛА

Гидроароматические альдегиды, легко получаемые конденсацией сопряженных диеновых углеводородов с непредельными альдегидами алифатического ряда по Дильтсу и Альдеру [1], хотя и не находят самостоятельного применения, но, благодаря высокой реакционной способности, обусловленной наличием в молекуле двойной связи и карбонильной группы, могут быть использованы в качестве промежуточных соединений для получения на их основе ценных продуктов органического синтеза.

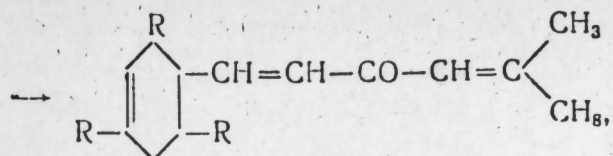
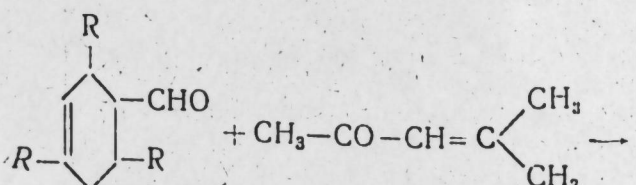
В частности, на основе гидроароматических альдегидов конденсацией их с алифатическими кетонами получен ряд синтетических аналогов душистых веществ [2, 3].

Из алифатических кетонов в реакции конденсации с гидроароматическими альдегидами использована, в частности, окись мезитила с образованием соединений, аналогичных по структуре душистому веществу иантон.

Так, в литературе описано получение 2,6,6-триметил- $\Delta^2$ -тетрагидробензилиденгексанона (иантон) и 2,5-диметил- $\Delta^3$ -тетрагидробензилиденгексанона конденсацией, соответственно, цитраля и 2,5-диметил- $\Delta^3$ -тетрагидробензальдегида с окисью мезитила [2, 4].

С целью развития указанного направления, нами проведено исследование реакции щелочной конденсации  $\Delta^3$ -тетрагидробензальдегида и его метилзамещенных гомологов—аддуктов дивинила, пиперилена, изопрена и 2,4-диметилпентадиена с акролеином и кротоновым альдегидом с окисью мезитила, основные результаты которого представлены в настоящей работе.

Конденсация гидроароматических альдегидов с окисью мезитила протекает по схеме:



где  $\text{R} = \text{H}; \text{CH}_3; 2\text{CH}_3$

и приводит к образованию соответствующих непредельных кетонов алициклического ряда- $\Delta^3$ -тетрагидробензилидензамещенных гексанонов, синтетических аналогов душистого вещества иантон с выходами, указанными в табл. 2.

## ЭКСПЕРИМЕНТАЛЬНАЯ ЧАСТЬ

Исходные гидроароматические альдегиды получены конденсацией сопряженных диеновых углеводородов—дивинила, пиперилена, изопрена и 2,4-диметилпентадиена с акролеином и кротоновым альдегидом по известной методике [5, 6] нагреванием эквимолярных количеств диена и альдегида в металлической ампуле или в автоклаве при температуре 180–220°C в течение 2–2,5 ч в присутствии гидрохинона.

Физико-химические свойства полученных при этом гидроароматических альдегидов и изомерный состав их, установленный химическими методами в сочетании с газожидкостным хроматографическим и ИК-спектроскопическими методами в сопоставлении с литературными данными, приводятся в табл. 1.

Хроматографический анализ гидроароматических альдегидов проводили на хроматографе „Цвет“ с длинной колонки 3 м, диаметром 6 мм, с неподвижной фазой—силиконовое масло при температуре колонки 160° в случае аддуктов сопряженных диеновых углеводородов с акролеином и 180°C—в случае аддуктов с кротоновым альдегидом.

Строение указанных альдегидов подтверждено и их инфракрасными спектрами, снятыми на спектрофотометре UR-20 с призмами NaCl и ZnF. На спектрограммах всех исходных альдегидов видны интенсивные полосы в области 1715–1725 см<sup>-1</sup>, характерные для альдегидной группы и в области 1620–1660 см<sup>-1</sup>, характерные для двойной связи циклогексенового кольца [7, 8].

Конденсацию гидроароматических альдегидов с окисью мезитила проводили в трехгорной колбе, снабженной механической мешалкой, холодильником, капельной воронкой и термометром по [4].

К перемешиваемой смеси исходного гидроароматического альдегида и окиси мезитила в молярном соотношении 1:1,5 в реакционной колбе при температуре 60°C прикалывали 250 мл 2N раствора едкого натрия и 150 мл дистиллированной воды. Реакционную смесь перемешивали при указанной температуре в течение 6 ч. По окончании опыта продукт реакции, охлажденный до комнатной температуры, нейтрализуют разбавленной серной кислотой, промывают и после высушивания безводным сернокислым магнием подвергают разгонке—сперва атмосферной для отгонки непрореагировавшей части кетона, затем вакуумной с выделением целевого продукта реакции—соконденсата гидроароматического альдегида с окисью мезитила, который подвергали повторной разгонке с последующим определением физико-химических свойств синтезированных соединений.

Физико-химические свойства синтезированных  $\Delta^3$ -тетрагидробензилиденгексанонов приводятся в табл. 2.

Состав продуктов реакции изучался с применением газожидкостного хроматографического и ИКС-методов.

Таблица 1

Физико-химические свойства и изомерный состав синтезированных гидроароматических альдегидов

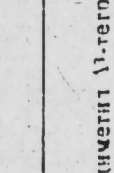
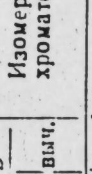
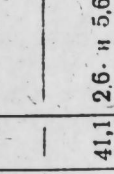
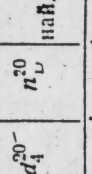
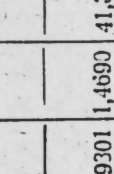
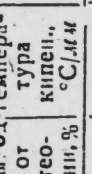
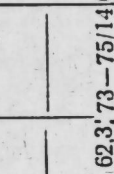
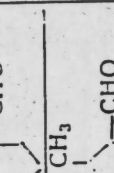
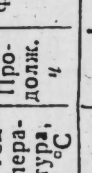
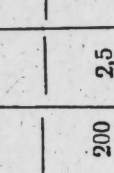
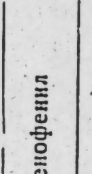
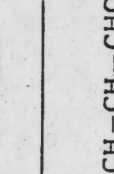
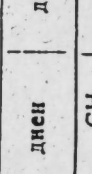
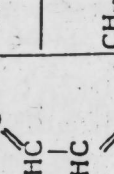
№ опыт	Условия проведения опыта			Синтезированные гидроароматические альдегиды					
	Исходные соединения	Температура, °C	Формула преобладающего изомера	Выход, %	Температура кипения, °C/мм	$d_4^{20}$	$n_D^{20}$	$M/R_D$	Изомерный состав (по данным хроматографического анализа)
1		CH <sub>2</sub> =CH-CHO	150	0,5		91,0	52-53/12,0	1,4740	32,0
2		CH <sub>3</sub> -CH=CH-CHO	240	2,5		78,0	59/10	0,9436	36,4
3		CH <sub>2</sub> =CH-CHO	200	2,5		85,5	72-74/20	0,9536	36,3
4		CH <sub>3</sub> -CH=CH-CHO	200	2,5		62,3	73-75/14,0	0,9301	41,3
5		CH <sub>2</sub> =CH-CHO	200	2,5		88,4	73-74/20	0,9461	41,1
6		CH <sub>3</sub> -CH=CH-CHO	200	2,5		76,0	66-68/10	0,9287	41,6
7		CH <sub>2</sub> =CH-CHO	180	2,5		75,9	91-92/20	0,9262	41,1
8		CH <sub>3</sub> -CH=CH-CHO	180	5		66,8	94-95/18,0	0,9276	45,7

Таблица 2

Физико-химические свойства синтезированных  $\Delta^3$ -тетрагидробензилidenгексанонов

№ опыт	Наименование соединения	Выход из взятых алдегидов, %	Температура кипения, °C/мм	$d_4^0$	$n_D^{20}$	$M/R_D$	Элементарный состав			
							C	H	O	выч.
1.	2-метил-6-( $\Delta^3$ -циклогексенил)-гексадиен-2,5-он-4	70,0	113-115/12,0	0,633	1,5040	58,4	82,37	82,10	9,57	9,47
2.	2-метил-6-(6'-метил- $\Delta^3$ -циклогексенил)-гексадиен-2,5-он-4	57,6	120-122/12	0,9168	1,5010	63,4	82,27	82,35	10,11	9,80
3.	2-метил-6(2'-метил- $\Delta^3$ -циклогексенил)-гексадиен-2,5-он-4	82,6	125-127/20	0,9550	1,4935	62,6	82,53	82,35	9,87	9,80
4.	2-метил-6(2',6'-диметил- $\Delta^3$ -циклогексенил)-гексадиен-2,5-он-4	69,7	122-124/14	0,9431	1,4945	67,3	82,67	82,56	10,24	10,09
5.	2-метил-6(4'-метил- $\Delta^3$ -циклогексенил)-гексадиен-2,5-он-4	76,0	132-134/20	0,9548	1,4985	62,8	82,47	82,35	9,95	9,80
6.	2-метил-6(4',6'-диметил- $\Delta^3$ -циклогексенил)-гексадиен-2,5-он-4	52,8	118-120/10	0,9160	1,4950	67,3	82,3	82,56	10,35	10,09
7.	2-метил-6(2',2',4'-триметил- $\Delta^3$ -циклогексенил)-гексадиен-2,5-он-4	60,7	138-138,5/20	0,9193	1,4990	72,5	82,91	82,75	10,43	10,34
8.	2-метил-6(2',2',4',6'-тетраметил- $\Delta^3$ -циклогексенил)-гексадиен-2,5-он-4	23,1	129-130/18	0,9352	1,4980	77,2	83,05	82,92	10,63	10,56

Инфракрасные спектры синтезированных соединений, снятые на спектрофотометре UR-20, подтверждают наличие в молекуле синтезированных соединений карбонильной группы ( $1715-1720 \text{ см}^{-1}$ ) и двойных C=C-связей ( $1620-1660 \text{ см}^{-1}$ ) [7, 8].

## Выводы

Конденсацией гидроароматических альдегидов—аддуктов дивинила, пиперилена, изопрена и 2,4-диметилпентадиена с акролеином и кротоновым альдегидом с окисью мезитила в щелочной среде впервые получен ряд  $\Delta^3$ -тетрагидробензилиденгексаноинов.

Синтезированные соединения исследованы методами газожидкостной хроматографии и инфракрасной спектроскопии и охарактеризованы физико-химическими свойствами.

## ЛИТЕРАТУРА

1. Diels O., Alder K. Ann. 460, 98, 1928; 470, 63, 1929. 2. Исаагуляц В. И. Синтетические душистые вещества. Изд. АН Арм. ССР, Ереван, 1946. 3. Химия и технология душистых веществ и эфирных масел. Труды ВНИИСНДВ, вып. VIII. Изд. "Пищевая промышленность", М., 1968. 4. Арубузов Б. А., Зиновьевна З., Финк И. ЖОХ, т. 7, вып. 17, 2279, 1937. 5. Чайнов Н. А. ЖОХ, 8, 460, 1938. 6. Назаров И. Н., Кугатова Г. П., Ляуменская Г. А. ЖОХ, т. 27, № 9, 2450-2460, 1957. 7. Наканиси. Инфракрасные спектры и строение органических соединений. Изд. "Мир", 1965. 8. Дайер Д. Р. Приложения абсорбционной спектроскопии органических соединений. Изд. "Химия", 1970.

ИНХП им. Ю. Мамедалиева

Поступило 4. XI 1970

Е. Т. Сулейманова, М. Р. Мусаев, С. Ч. Мехтиев,  
Л. И. Гасымов, М. И. Миргасанова

## Гидроароматик алдеинидләrin мезитил оксиdi илә конденсләшмәси һагында

### ХУЛАСӘ

Дојмамыш дијен карбоидрокеинләри—дивинил, пиперилен, изопрен вә 2,4-диметилпентадиенин акролеин вә кротон алдеинди илә аддукту олан һидроароматик алдеинидләrin мезитил оксиdi илә گәләви мүнтиндә конденсләшмәсindәn илк дәфә олараг 52-82% чыхымла мұвағығ алитниклик дојмамыш кетонлар алынышдыр ки, бунлар гурулуша әтири маддә олан иантонун аналогларыдыр.

Алынан маддәләrin тәркиби вә гурулушу газ хромотографија вә һәмчинин инфрагырмызы спектроскопија үсуллары илә тәдгиг олунмуш вә онларын физики-кимjәви хассәләри өјрәнилмишdir.

E. T. Suleimanova, M. R. Musaev, S. D. Mekhtiev, L. Y. Kasumov,  
M. Y. Mirgasanova

## About the condensation of Hydroaromatic Aldehydes with Mesityl Oxide

### SUMMARY

By the reaction of hydroaromatic aldehydes—adducts of divinyl, piperylene, isoprene and 2,4-dimethylpentadiene with acrolein and crotonic aldehyde in the presence of sodium hydroxide with mesityl oxide some unsaturated alicyclic ketones are obtained and their properties are studied.

АЗЭРБАЙЧАН ССР ЕЛМЛӘР АКАДЕМИЈАСЫНЫН МӘРҮЗӘЛӘРИ

ДОКЛАДЫ АКАДЕМИИ НАУК АЗЕРБАЙДЖАНСКОЙ ССР

ТОМ XXVII

№ 7

1971

УДК 551.311 . 8

ГЕОЛОГИЯ НЕФТИ

Академик А. А. Якубов, Ф. А. Матанов, Я. А. Гаджиев

## ГИДРОХИМИЧЕСКАЯ ХАРАКТЕРИСТИКА ГРЯЗЕВЫХ ВУЛКАНОВ АЛЯТСКОЙ ГРЯДЫ

Воды грязевых вулканов так же, как и другие продукты их выбросов (твердые, газообразные), часто бывают связаны с отложениями, которые, в силу больших глубин залегания, пока не могут быть вскрыты и изучены разведочным бурением. Поэтому исследование вод грязевых вулканов дает возможность судить о гидрохимических особенностях более глубокозалегающих отложений, прорезаемых жерлом вулкана.

В настоящей статье дается гидрохимическая характеристика грязевулканических вод Алятской гряды на основе анализов собранных проб воды с вулканов этой зоны 1968 г.<sup>1</sup>

Алятская грязь орографически представляет собой ряд возвышенностей, протягивающихся в общем с С—З на Ю—В. В тектоническом отношении она представлена цепью антиклинальных складок, осложненных продольными и поперечными нарушениями. Наиболее крупным и носящим региональный характер является продольное нарушение, представляющее собой крутой взброс. Благодаря этому взбросу пологие приподнявшие северо-восточные крылья надвинуты на опущенные крутые юго-западные, в результате чего отложения продуктивной толщи оказались в контакте с породами среднего ашераона (3). В геологическом строении этой зоны складчатости принимают участие отложения олигоцен-миоценена, постплиоценена и плиоценена.

На территории Азербайджана Алятская грязь является одним из основных районов широкого развития грязевулканического явления. В пределах этой гряды отмечаются, приуроченные к тектоническим нарушениям, крупные грязевые вулканы (с северо-запада на юго-восток): Дашибардан, Дурандаг, Солахай, Айрантекян, Котурдаг, Делянлиз, Дашибиль и Бахар (м. Алят).

На кратерном поле каждого вулкана этой зоны расположены многочисленные сопки, грифоны и сальзы, изливающие с различной интенсивностью на поверхность в сопровождении углеводородных газов, вязкую глинистую массу, сопочный ил, воду с пленкой нефти.

Для выявления возможного различия в составе и минерализации

\* Анализы химического состава вод были проведены в водной лаборатории ЦНИПРа им. Серебровского.

Химический состав под грязевых вулканов Алятской гряды

Грязевой вулкан	Селенность по Боме				Эквивалентные значения, мг-экв/100 <sup>2</sup>				Общая минерализация, мг-экв/100 <sup>2</sup>				Характеристики Пальмера				Коэффициенты Сульфа			
	Na	K	Ca	Mg	Cl	SO <sub>4</sub>	HCO <sub>3</sub>	CO <sub>3</sub>	N, к.	Н. к.	S <sub>1</sub>	S <sub>2</sub>	A <sub>1</sub>	A <sub>2</sub>	Na/Cl	Cl/Mg	Ca/Mg			
Дашмардан	1,4	17,2	0,4	0,45	0,32	16,7	0,2	3,87	1,6	0,76	—	29,6	4,8	1,48	27,6	—	—	0,9	0,63	
	1,6	19,88	0,2	0,15	0,2	12,1	0,5	3,75	1,0	0,6	—	36,0	40,8	81,6	3,0	1,19	—	—	0,75	
	1,5	17,5	0,15	0,2	—	—	—	—	—	0,5	—	35,7	70,4	—	2,0	1,44	10,8	—	—	
Дурандаг	1,6	17,4	0,8	0,9	12,4	—	0,1	—	38,2	—	64,8	—	—	26,4	8,8	1,40	—	—	0,88	
	1,4	16,7	—	0,2	11,5	—	0,4	—	33,8	—	68,0	—	—	30,6	1,2	1,45	—	—	0	
Солахай (Эль-жемежек)	2,1	26,7	0,1	0,2	20,2	0,1	5,8	0,9	—	0,1	—	—	—	24,2	1,0	1,31	65,0	—	—	
	1,7	23,6	0,2	0,3	17,2	0,4	5,1	1,2	—	0,5	—	—	—	48,4	73,6	87,6	—	—	0,5	
	1,5	17,3	0,3	0,2	15,6	—	—	—	—	—	—	—	—	35,6	—	9,4	3,0	—	1,5	
Солахай (Кара-Кюре)	2,0	26,9	0,4	0,7	0,63	17,0	—	2,8	0,9	—	0,3	—	56,0	8,8	—	9,2	4,0	1,11	27,0	
	1,7	21,9	0,3	0,6	—	—	—	4,7	0,84	—	—	—	45,68	77,2	—	18,4	4,4	1,29	7,0	
Айрантекян	2,1	30,3	0,7	0,3	26,5	0,3	4,0	0,7	0,1	—	—	—	62,6	85,6	—	12,0	2,4	1,14	12,6	
	2,3	36,0	0,4	0,6	0,2	—	—	3,8	0,9	—	0,2	—	74,0	87,4	—	10,0	2,6	1,11	—	
	1,6	24,2	0,3	0,4	22,4	—	—	1,9	0,4	—	0,2	—	49,8	90,9	—	7,0	3,0	1,08	—	
Котурдаг	2,1	30,1	1,1	0,8	20,8	0,2	10,6	0,3	0,1	—	64,0	—	65,6	—	28,4	6,0	1,44	4F,5	—	
	1,9	27,4	0,5	1,2	25,6	—	—	3,0	0,5	—	0,3	—	58,2	88,0	—	6,2	5,8	1,7	—	
	2,2	32,7	2,1	2,96	30,5	0,16	6,1	0,7	0,3	—	75,52	—	81,2	—	5,4	13,4	1,07	13,8	—	
Делянз	3,0	48,2	0,7	0,5	42,0	0,2	5,5	1,6	0,1	—	98,8	—	85,4	—	12,2	2,4	1,15	31,0	—	
	2,1	24,9	0,2	0,3	21,8	0,5	21,0	—	0,3	—	50,8	—	87,0	—	11,0	2,0	1,14	10,3	—	
	2,0	23,7	0,6	0,6	—	—	—	3,1	0,7	—	—	—	49,6	81,6	—	10,8	4,6	1,13	—	
Дашгиль	2,4	33,2	0,4	0,5	32,1	0,2	1,0	0,4	0,1	—	—	—	68,2	95,6	—	1,80	2,6	1,02	4,0	
	2,3	33,0	0,3	0,6	31,8	—	—	1,5	0,6	0,1	—	—	53,1	91,6	—	6,8	1,04	—	—	
	2,2	49,5	2,7	2,1	—	—	—	0,6	0,1	—	—	—	108,6	9,2	—	7,8	—	1,9	—	
Бахар (М. Алят)	2,0	28,2	0,16	0,27	26,4	0,2	2,03	—	0,2	—	—	—	57,26	92,2	—	6,3	1,5	1,07	—	
	3,3	48,8	2,4	1,7	50,6	0,2	2,1	—	0,2	—	—	—	105,8	92,4	—	3,6	4,0	0,96	—	
	4,7	65,8	0,6	0,6	—	—	—	4,8	0,4	—	—	—	134,0	50,58	—	3,74	5,68	1,07	6,14	

вод в пределах каждого вулкана отбиралось несколько проб воды из различных участков кратерного поля. Лабораторные анализы этих проб приведены в таблице, причем, размещенные в ней сверху вниз вулканы на местности протягиваются с С-З на Ю-В. Рассмотрим, как меняются минерализация, величины и соотношения основных компонентов химического состава вод грязевых вулканов Алятской гряды в направлении с С-З на Ю-В.

Как видно из таблицы, воды отобранные с грязевого вулкана Дашмардан, характеризуются невысокой минерализацией, изменяющейся в пределах от 33,18 до 40,8 мг-экв. Судя по показателям химического состава, приведенным в таблице, воды являются щелочными, гидрокарбонатнонатриевого типа. Величина отношения натрия к хлору достигает 1,48, поэтому первая щелочность ( $A_1$ ) относительно высокая и доходит до 29,6 % экв. Среди анионов сумма карбонатов и бикарбонатов колеблется от 3,50 до 5,47 мг-экв, количество сульфатов изменяется от следов до 0,5 мг-экв. В составе катионов содержание кальция и магния соответственно равно 0,15–0,40 и 0,20–0,45 мг-экв, причем в количественном отношении магний преобладает над кальцием, коэффициент  $\frac{Ca}{Mg}$  равен 0,63–0,90. Грязевулканические воды

Дурандаг по общей минерализации и показателям химического состава идентичны описанным водам вулкана Дашмардан. Они являются щелочными и представлены гидрокарбонатнонатриевым типом.

На грязевом вулкане Солахай воды были отобраны с двух групп сопок и грифонов—Эльжемежек на севере и Кара-Кюре на юге.

Лабораторные исследования их показали, что вулкан Солахай выносит на поверхность щелочные воды, гидрокарбонатнонатриевого типа. Величина общей минерализации этих вод лежит в пределах 35,6–56,0 мг-экв, т. е. несколько увеличивается по сравнению с водами вулканов Дашмардан и Дурандаг. Значение первой щелочности выражается величиной 9,2–24,2 % экв. Сульфаты отсутствуют или встречаются в незначительном количестве—0,1–0,6 мг-экв. Сумма карбонатов и бикарбонатов колеблется от 2,2 до 6,7 мг-экв. Отношение кальция к магнию, за исключением одной пробы, равно 0,48–0,57.

Далее, к юго-востоку от рассмотренных расположены грязевые вулканы Айрантекян и Котурдаг. Анализы вод показывают, что по минерализации и химическому составу воды этих вулканов тождественны друг другу, они являются щелочными и по генетическому типу относятся к гидрокарбонатнонатриевым водам. Первая щелочность в водах большинства сопок и грифонов колеблется от 5,4 до 1,0 % экв, лишь в одном случае, на Карадаге, она увеличивается до 28,4 экв.

Величина хлорнатриевого коэффициента ( $\frac{Na}{Cl}$ ) соответствует 1,07–1,14. Эти воды обладают общей минерализацией 49,8–75,52 мг-экв. В химическом составе их сульфатный ион либо отсутствует, либо содержится в небольшом количестве—до 0,3 мг-экв. Сумма карбонатов и бикарбонатов—2,3–6,8 мг-экв. Количество ионов кальция и магния соответственно равно 0,3–2,1 и 0,30–2,96 мг-экв, а их отношение в большинстве случаев ниже единицы и варьирует в пределах 0,41–0,75.

Грязевые вулканы Делянз, Дашгиль и Бахар составляют юго-восточную группу вулканов Алятской гряды. На вулкане Делянз наблюдается некоторое увеличение общей минерализации вод, достигающей 98,8 мг-экв, они—щелочные, гидрокарбонатнонатриевого типа

с первичной щелочностью 10,8–12,2 % экв. Величина отношения натрия к хлору изменяется в узких пределах—1,13–1,15. Количество сульфатного иона не превышает 0,3 мг-экв. Содержание карбонатов и бикарбонатов составляет 3,1–7,1 мг-экв.

Для определения стратиграфической приуроченности вод рассмотренных выше вулканов сопоставим их с изученными пластовыми водами ближайших к Алятской гряде нефтегазоносных площадей.

Алятская гряда составляет южную границу Шемахино-Кобыстанской нефтеязыческой области. На севере от Алятской гряды, в пределах Южного Кобыстана, ближайшими антиклинальными зонами, протягивающимися параллельно Алятской гряде, являются Малый Кянизадаг—Дуванный и Шокихан—Арзани—Клыг—Тоурагай—Большой Кянизадаг. Последняя антиклинальная зона в пределах моря представлена антиклинальными поднятиями Сангачалы-море, о. Дуванный, о. Булла.

На площадях Дуванный, Тоурагай и Б. Кянизадаг, в верхней части разреза продуктивной толщи залегают жесткие воды хлоркальциевого типа. Ниже по разрезу со стратиграфической глубиной величина минерализации этих жестких вод снижается (Тоурагай—Кянизадаг) и в некоторых горизонтах нижней части разреза продуктивной толщи (Кянизадаг) появляются щелочные воды гидрокарбонатнонатриевого типа [1,2].

На нефтяных месторождениях Сангачалы-море, о. Дуванный, и о. Булла в разрезе продуктивной толщи от более высокозалегающих горизонтов к более низким (от свиты V горизонтов до ПК свиты) происходит снижение величины общей минерализации пластовых вод и смена жестких вод на щелочные [4], т. е. в разрезе ближайших к Алятской гряде структур отмечается, характерная для нефтегазовых месторождений Азербайджана, гидрохимическая инверсия, сопровождающаяся сменой генетических типов и уменьшением величины общей минерализации пластовых вод со стратиграфической глубиной. Такое же распределение вод по разрезу, очевидно, имеет место и на структурах Алятской гряды. Следовательно, слабосульфатные, низкоминерализованные щелочные воды, выносимые на поверхность эруптивными аппаратами грязевых вулканов Дашибардан, Дурандаг, Солахай Айрантекян, Котурдаг, Делянис, связанны с нижней половиной продуктивной толщи и более глубокозалегающими отложениями.

Воды грязевых вулканов Дашибиль и Бахар выделяются среди вод других вулканов Алятской гряды повышенной минерализацией, достигающей 67,8–134,0 мг-экв и неоднородностью химического состава. Здесь наряду со щелочными водами гидрокарбонатнонатриевого типа встречаются жесткие воды хлоркальциевого типа. Однако величины первичной щелочности ( $A_1$ ) и вторичной солености ( $S_2$ ) очень низкие, они снижаются соответственно до 1,8 и 3,6 % экв, а коэффициент

$\frac{Na}{Cl}$  колеблется от 0,96 до 1,07. Подобные воды с отношением  $\frac{Na}{Cl}$  близким к единице, ниже величин  $A_1$  или  $S_2$  были впервые подробно описаны В. А. Сулиным [6] при рассмотрении характерных особенностей изменения химического состава вод с глубиной ряда нефтяных месторождений Апшеронского полуострова.

В. А. Сулин эти воды отнес в переходный (промежуточный) и появление их в вертикальном разрезе продуктивной толщи объяснял процессом смешения хлоркальциевых вод, залегающих в более высоких стратиграфических горизонтах и гидрокарбонатнонатриевых, охватывающих более низкие горизонты продуктивной толщи.

Такое же смешение вод различных генетических типов в той или

иной степени, очевидно, происходит и в жерлах грязевых вулканов. В зоне развития грязевого вулкана щелочные воды, характерные для глубокозалегающих горизонтов, поднимаясь по жерлу вулкана и различным его апофизам и смешиваясь с жесткими водами верхних стратиграфических комплексов, изменяют свой первоначальный химический состав и изливаются на поверхности в виде переходных и неустойчивых по типу вод, какие мы наблюдаем на вулканах Дашибиль и Бахар.

Рассматривая грязевулканические воды Алятской гряды, в целом, следует отметить закономерности в изменении общей минерализации и химического состава.

Общая минерализация вод вулканов Алятской гряды возрастает с С—З на Ю—В от 33–56 (Дашмэрдан, Дурандаг, Солахай) до 57–134 мг-экв (Делянис, Дашибиль, Бахар). В этом же направлении происходит уменьшение щелочности вод ( $A_1$ ) от 9–20 до 2–12 % экв снижение величины хлорнатриевого коэффициента ( $\frac{Na}{Cl}$ ) от 1,48–1,11 до 1,15–0,93. В вулканах юго-восточной части Алятской гряды появляются жесткие и щелочные воды с низкими величинами  $S_2$  и  $A_1$ , обусловленные смешением двух генетических типов. В водах вулканов Алятской гряды в большинстве случаев магний в количественном отношении преобладает над кальцием.

Изучение химизма вод грязевых вулканов показало, что грязевулканические воды по минерализации и химическому составу идентичны нефтяным, что является одним из показателей тесной генетической связи грязевых вулканов Алятской гряды с газонефтяными месторождениями.

#### ЛИТЕРАТУРА

1. Агаджанян Е. И. К вопросу о химической характеристике хлоркальциевых вод продуктивной толщи месторождения Дуванный. «Нефть и газ», № 8, 1963.
2. Агаджанян Е. И. К вопросу классификации пластовых вод продуктивной толщи площадей Тоурагай и Кянизадаг. «Нефть и газ», № 3, 1968.
3. Али-Заде А. А., Ахмедов Г. А. и др. Геология и нефтегазоносность Алятской гряды. Азгосиздат, 1967.
4. Джакаров А. А., Султанов А. Б., Дадашев Р. М., Велиев А. Г. Гидрохимическая характеристика пластовых вод месторождений Сангачалы-море, о. Дуванный и о. Хара-Зире (о. Булла). АНХ, № 6, 1968.
5. Зейналов М. М. Грязевые вулканы Южного Кобыстана и их связь с газонефтяными месторождениями. Азнефтештир, 1960.
6. Сулин В. А. Воды нефтяных месторождений СССР. ОНТИ, 1935.
7. Якубов А. А. Грязевые вулканы Азербайджана и их связь с нефтяными месторождениями. Изд. АН Азерб. ССР, 1948.

Поступило 30. V 1969

Институт геологии

Э. Э. Ягубов, Ф. Э. Матанов, І. Э. Іачыев

Элэт тирәси палчыг вулканларынын һидрокимјәви характеристикасы

#### ХУЛАСЭ

Элэт тирәси Азәрбајҹанда палчыг вулканларының әни кениш инкишашаф едән саһәләриндән биридир. Бу тирәдә бир сырға палчыг вулканлары йөрләшир: Дашибардан, Лурандаф, Солохай, Айрантекэн, Готурдаф, Дилянис, Дашибиль вә Бахар (Элэт буриу).

Палчыг вулканларының пүскүрмә мәһсусларының тәдгигаты бу вулканларын йөрләшиди саһәт ин кеоложи кәсилишини дәгигләшdirir вә вулкан ағзынын кечди чөкүнүтүләрин һидрокимјәви хүсусијәтләри нағында яни мә'лумат верир.

Вулкан суларынын өјрәнүлмәсі көстәрди ки. Эләт тирәсінин палчыг вулканларының чыхардығы суләр гәләвили сұлжатсыз вә жа зәиф сүлфатлы олуб, аз минераллашмыш нидрокарбонатриум типтің аиддир. Бу тип сулар Мәһсүлдар гатын ашағы һиссәси вә даһа дәринде жатан чөкүнтуләр үчүн характеридир.

Мүәллифләр Эләт тирәсінин палчыг вулканларының суларының өјрәнмәк иәтичесіндә бу суларын кимжәви тәркибинин компонентләrinин нисбәтини, гијмәт вә минераллашмасының дәшишмәсінин ганунаујғун-лугларыны мүәјлән етмишләр.

A. A. Yakubov, F.A. Matanov, Y. A. Hadyiev

## Hydrochemical Characteristic of mud volcano of alat Ridge.

### SUMMARY

Regularities of changes of chemical composition of water of mud volcano in alat ridge are ascertained and water connections of mud volcano with stratal water of oil and gas fields are marked in the paper.

АЗЭРБАЙЧАН ССР ЕЛМЛӘР АКАДЕМИЈАСЫНЫН МӘРҮЗӘЛӘРИ

ДОКЛАДЫ АКАДЕМИИ НАУК АЗЕРБАЙДЖАНСКОЙ ССР

ТОМ XXVII

№ 7

1971

УДК 551.782

СТРАТИГРАФИЯ

Л. Д. МАМЕДОВА

## К СТРАТИГРАФИИ МИОЦЕНОВЫХ ОТЛОЖЕНИЙ СЕВЕРО-ВОСТОЧНОГО АЗЕРБАЙДЖАНА В СВЕТЕ ИЗУЧЕНИЯ МИКРОФАУНЫ

(Представлено академиком АН Азербайджанской ССР К. А. Ализаде)

Миоценовые отложения пользуются широким распространением на территории Северо-восточного Азербайджана. Изучением этих отложений занимались И. Ф. Пустовалов (1936), А. А. Ализаде и Б. П. Ясенев (1936), Ш. Мамедзаде (1939), К. М. Султанов (1953), Д. М. Халилов (1941, 1946, 1947), В. М. Побединя, А. Г. Ворошилова, О. И. Рыбина и З. В. Кузнецова (1956) и др. Проводя те или иные виды исследования, они осветили вопросы стратиграфии и дали сведения по макро- и микрофауне вместе с характеристикой литологии, нефтеносности миоценовых отложений Северо-восточного Азербайджана. Наши палеонтолого-стратиграфические исследования подтверждают распространение в Северо-восточном Азербайджане миоценовых отложений и дополняют их фаунистическую характеристику.

Эти исследования позволяют дать более дробное расчленение. В частности, нам удалось разбить средний сармат и мэотис на две фаунистические зоны.

Нижний миоцен. В пределах Северо-восточного Азербайджана к нижнему миоцену условно из-за отсутствия характерной микрофaуны относится верхняя часть майкопской серии, представленная неизвестковистыми, тонкослойными глинами с остатками рыб и редкими прослоями песчаников.

Средний миоцен. Тарханский горизонт. Отложения среднего миоцена начинаются тарханским горизонтом, который непосредственно залегает на майкопских глинах в разрезах скважин Советабада, Кирмакинской долины, Апшеронского полуострова и Кобыстана, а также на склонах гор. Орджандаг, Чейлдаг и др. Тарханский горизонт выражен известковистыми глинами и редкими прослоями мергелей с фауной: *Globigerina tarchanensis* Subb. et Chutz., *Bolivina tarchanensis* Subb. et Chutz., *Florilus boueanus* d'Orb. Мощность варьирует от 8 до 15 м.

Чокракский горизонт. Выходы его наблюдаются в третичной моноклинали, у селений Зейва и Тенги, Саадан, Амираханлы и др.

где чокракский горизонт залегает трансгрессивно с угловым несогласием на майкотских и более древних отложениях, а также у с. Советабад, Балаханы, в Орджандаге и Чейлдаге, где он лежит на слоях тарханского горизонта. Литологически чокракский горизонт выражен перекованием серых, темно-серых, буроватых карбонатных, реже песчанистых глин с прослойми мергелей, песчаников, песков, редко доломитизированного известия и конгломерата. Мощность от 15 до 72 м. Мелководные фауны характеризуются представителями фораминифер *Quinqueloculina acneriana* d'Orb., *rotunda* Gerke, *Q. acneriana* d'Orb., *longa* Gerke, *Sigmoilina mediterranensis* Bogd., *S. tschokrakensis* Gerke, *Tschokrakella longiuscula* (Bogd.) и др.

Сравнительно глубоководные фауны горизонта четко выделяются массовым скоплением микроскопических мелких раковин гастропод—*Spirialis andrussévi* Kitt., *tschokrakensis* Zhizh. и единичных *Bolivina tarchanensis* Subb. et Chutz., *Streblus ex gr. beccarii* (Linne) и др.

Караганский горизонт. Отложения караганского горизонта Северо-восточного Азербайджана часто залегают согласно на слоях чокракского горизонта реже на более древних образованиях. Выходы их наблюдаются в полосе третичной моноклинали, у с. Зейва, Заглы, Верхний Ханая, Тенги и др. В скважинах вскрыты у с. Стадан, Амирханлы, Советабад и др. Литологически выражены серыми, темно-серыми слоистыми карбонатными глинами, местами песчанистыми разностями с прослойми мергелей, песков, песчаников, реже известняков со *Savatodontula pulchella* Balli. Мощность от 10 до 90 м. Этот горизонт выделяется на основании комплекса фораминифер: *Quinqueloculina ersaconica* Krash., *Q. reussi* (Bogd.) *sartaganaica* Krash., *Reusella spinulosa* (Reuss), *Cassilulina bulbiformis* Krash. и др. Характерно и обильное присутствие остатков рыб—*Otolithus* (*Rhombus*) *corius* Chalilov.

В сравнительно глубоководной, в основном, глинистой лиофации, в составе диатомовой свиты у сел. Советабад, Бинагады, Балаханы и др. горизонт характеризуется только присутствием *Otolithus* (*Rhombus*) *corius* Chalilov.

Конкский горизонт. Наиболее полный разрез горизонта с богатой микрофауной вскрыт структурной скважиной № 38 на разведочной площади Сиазань. Литологически представлен серыми, темно-серыми слоистыми карбонатными глинами, песчанистыми глинами с прослойми мергелей, песков и песчаников. Мощность до 84 м. Микрофауна горизонта состоит главным образом из представителей фораминифер и микроскопических остатков рыб. Среди фораминифер присутствуют: *Elphidium kurdakense* Bogd., *E. fa-siensis* Krash., *Bulimina konkensis* Pobed., *Bolivina dilatata* Reuss. и др. Из отолитов рыб *Otolithus* (*Trigla*) *konkensis* Pobed., *O. (Rhombus) corius binagadica* Chalilov.

На участках развития более глубоководной диатомовой фауны горизонта у с. Советабад, Бинагады и др. песчаный материал сокращается и породы, в основном, сложены тонкослоистыми глинами с многочисленными остатками рыб: *Otolithus* (*Rhombus*) *corius binagadica* Chalil., *O. (Trigla) konkensis* Pobedina.

Верхний миоцен. На территории Северо-восточного Азербайджана отложения верхнего мицена пользуются очень широким распространением и представлены осадками сарматского и мэтического морей, причем в работе каждый из этих ярусов делится на подъярусы и частично зоны.

Нижний сармат. Породы нижнего сармата развиты у с. Казма-Крыз, Зейд, Заглы, Тенги, Верхний Ханая, Амирханлы, р. Гильгильчай и др. В большинстве случаев залегают трансгрессивно с базальным конгломератом в основании на подстилающих отложениях вплоть до эоцена. Лишь местами в более погруженной части бассейна развита диатомовая свита, в разрезе которой переход к сармату носит постепенный характер. В целом отложения нижнего сармата представлены серыми, темно-серыми, зеленовато-серыми, слоистыми карбонатными и слабокарбонатными глинами, песчанистыми глинами с прослойми песчаников, иногда дегритусовых песчанистых известняков, песком и мергелями. Мощность от 26 до 100 м.

Нижний сармат содержит разнообразную микрофауну, а особенно таких представителей фораминифер, как: *Elphidium echinus* Serova, *E. macellum* (Fichtell et Moll), *E. regina* (d'Orbigny), *E. aculeatum* (d'Orbigny), *Porosononion martkobi* (Bogd.), *P. umboelataformis* L. Mamedova, *Nonion bogdanowiczi* Voloshinova, *Entosolenia cubanica* Bogd. и др. Из остатков известковистых водорослей многочисленно встречаются *Ovulites sarmatica* Chalilov.

Средний сармат. По структурно-фациальному характеру отложения среднего сармата имеют много общего с нижним сарматом. Сравнительно глубоководная лиофация его слагает среднюю часть той же глинистой диатомовой свиты, вскрытой скважинами у с. Советабад, Бинагады, Балаханы и др.

Наряду с кремнистыми остатками диатомовых водорослей здесь встречаются многочисленные характерные остатки известковистых водорослей—*Ovulites sarmatica* Chalil., *O. caucasica* Chalil.

На большей части изученной территории отложения среднего сармата носят мелководный характер и содержат обильную фауну фораминифер, позволяющих подразделить их на две зоны.

Зона ионийид установлена у с. Казма-Крыз, Зейд, Тенги и др., где она представлена серыми, темно-серыми, оливково-серыми, пепельно-серыми карбонатными глинами, песчанистыми глинами, песчаниками (до 5 м), песками, дегритусовыми и песчанистыми известняками и алевролитами. Мощность 30–300 м. Зона характеризуется наличием комплекса фораминифер: *Porosononion subgranosus* (Egger) *umboelata* Gerke, *P. subgranosus* (Egger) *hyalinus* Bogd., *P. subgranosus aragviensis* Djap., *Elphidium crispum* (Linne) *granifera* L. Mamed., *Quinqueloculina angustioris* (Bogd.), *Q. sarmatica* Karr., *Q. voloshinovae* (Bogd.), *Q. karreri* Reuss, *Sarmatiella costata* Bogd. и др. Присутствуют также *Ovulites sarmatica* Chalil. отолиты рыб, раковины остракод и моллюсков.

Зона эльфиинид наиболее резко выделяется у с. Тенги и Казма-Крыз, где они представлены серыми, темно-серыми, зеленовато-серыми карбонатными глинами, песчанистыми известняками и песчаниками; мощность 36–182 м. Зона характеризуется массовым скоплением представителей рода *Elphidium*: *Elphidium regina* (d'Orbigny), *E. crispum* (Linne), *E. aculeatum* (d'Orb.), *E. tengiensis* L. Mamed., *E. annulatum* L. Mamed., *E. voloshinovae* L. Mamed., *E. tuberosum* L. Mamed., *Porosononion subgranosus* (Egger) *hyalinus* Bogd., *Biporosononion mirus* L. Mamed., *Flintina tutkowskii* Bogd. и др.

Верхний сармат подвержен значительному размыву на исследованной территории и уцелевшая часть его у с. Тенги, Эйнибулаг и др. выражена серыми, темно-серыми карбонатными глинами, песчанистыми глинами, местами песчанистыми известняками, известняками-

ракушняками и мергелями (до 40 см). Мощность 45—250 м. Из фораминифер единично встречаются: *Streblus beccarii* (Linne), *Nonion pricaspicus* Pobed. et Vorosh., *N. vulgaris* Pobed. et Vorosh., а остракод — *Loxoconcha kurkeilanica* Vorosh., *L. tenuis* Vorosh., *L. pseudoassimilata* Vorosh., *Cyprideis littoralis* (Brady) и др.

В Советабаде, Бинагадах, Коби и других пунктах верхний сармат выражен глинами, мергелями (низы верхней части диатомовой свиты), содержащими остатки рыб.

Мэотический ярус. Фаунистически вполне обоснованный мэотический ярус развит в Кобыстане. У сел. Бекля он трансгрессивно залегает на слоях среднего сармата. Микрофаунистические данные позволяют произвести его разбивку на две зоны.

Зона *Quinqueloculina sulcensis* начинается мощным конгломератом, выше которого залегают детритусовые известняки, серые, зеленовато-серые карбонатные глины с прослойями песчаника. Мощность до 162 м. Отложения этой зоны выделяются на основании присутствия в них *Quinqueloculina sulcensis* (Gerke), *Q. seminulum* (Linne) *pseudocuneata* (Gerke), *Elphidium macellum* (Fichtel et Moll.) *maeotica* Gerke., *Streblus beccarii* (Linne).

Зона *Quinqueloculina ludwigi* выражена серыми, пепельно-серыми, зеленовато-серыми карбонатными и песчанистыми глинами с прослойми светло-серого белесоватого вулканического пепла. Из микрофлоры наиболее характерны *Quinqueloculina ludwigi* Reuss, *Q. pseudoseminulum* (Pobed.), *Q. seminulum* (Linne) *elongata* Pobed., *Q. seminulum* (Linne) *lata* (Pobed.) и др. Присутствуют и представители остракод: *Loxoconcha maeotica* Vorosh., *L. eichwaldi* Liven., *Leptocythere bisplicata* (Schneid.), *L. maeotica* (Livent.). Мощность до 50 м.

#### ЛИТЕРАТУРА

1. Мамедзаде Ш. Очерк сарматских отложений Азербайджана. Труды АКИИ, геол. сб. 1/18, 1939.
2. Мамедова Л. Д. К стратиграфии миоценовых отложений долины р. Вельвичай (Азербайджан). «ДАН Азерб. ССР», т. XX, № 7, 1964.
3. Пустовалов И. Ф. Геологический очерк Кусарской наклонной равнины в Азербайджане. Труды ЦНИГРИ, вып. 83, 1936.
4. Победина В. М., Ворошилова А. Г., Рыбина О. М., Кузнецова З. В. Справочник по микрофлоре средне- и верхнемиоценовых отложений Азербайджана. Азнефтехиздат, Баку, 1956.
5. Султанов К. М. Стратиграфия и фауна верхнего миоцена Восточного Азербайджана. Изд-во АН Азерб. ССР, 1953.
6. Халилов Д. М. Караганские и Конские слои СВ Азербайджана. «ДАН Азерб. ССР», № 7, 1946.
7. Ясенев Б. П., Ализаде А. А. Дивичинский нефтеносный район, вып. 16, АНТИ, НКТП СССР, 1936.

Институт геологии

Поступило 15.V 1970

Л. Ч. Маммадова

#### Шимал-Шәрги Азәрбајҹан Миоцен чөкүнүтүләринин стратиграфијасы һагында

#### ХУЛАСЭ

Мәгалә Шимал-Шәрги Азәрбајҹанын Миоцен дөвр чөкүнүтүләринин стратиграфијасына һәср едилишdir. Бу кәсилишләrin Миоцен дөвр чөкүнүтүләри дәниз характерлы чөкүнүтүләrlә сәчиijеләniр. Микрофаунанын вә литологи тәркибиң өјрәнилмәси иәтичәсindә Миоцен дөвр чөкүнүтүләринидә Мајкоп дәстәсiniң үст лајлары, Тархан, Чокрак, Караган вә Конк норизонтлары, Сармат вә Меотис мәртәбәләри айрылышдыр. Орта Сармат дөвр чөкүнүтүләри дајаз дәниз фасијалы олуб,

фораминифер фаунасы илә зәнкендир. Бу фауна нөнин вә елвидиум зоналарыны аյырмаг имкани јарадыр.

Меотис чөкүнүтүләриндә дә 2 зона айрылышдыр: *Quinqueloculina sulcensis* вә *Quinqueloculina ludwigi* зоналары.

L. D. Mamedova

#### On the stratigraphy of Miocene deposits of the north-eastern Azerbaijan

#### SUMMARY

According to the lithological and microfaunistic investigations the upper parts of Mycopian, Tarchanian, Chökrakian, Karaganian, Konk horizons and Sarmathian and Meothian stages have been distinguished within the Miocene deposits.

КЕОЛОГИЯ

Академик Г. Э. ЭЛИЗАДӘ, Е. З. МОВЛАЗАДӘ

ГӘРБИ АЗӘРБАЙЧАНЫН КҮР ВӘ ИОРА (ГАВРЫ) ЧАЈЛАРЫ  
АРАСЫ САҢСИНДӘ ЯЈЫЛМЫШ АЛТ САРМАТ ЧӨКҮНТҮЛӘРИНӘ  
ДАИР ЈЕНИ МӘ'ЛУМАТЛАР

Алт сармат чөкүнтүләри Гәрби Азәрбајчанда үст вә орта сармат чөкүнтүләринә иисбәтән чох аз яјылмышдыр. Бу чөкүнтүләр дар золаг шәклиндә Ағтахатәпә, Чобандаг, Молладаг, Саждағ, Алачыг, Яјлачыг рајонларында, айры-айры галыглар шәклиндә Кичик Гафазын шимал јамачында (Габагтәпә, Гаратач дағлары) яјылмыш вә структур гүјулары илә Б. Палаңтәкән вә Елдаројуғу рајонларында ашқара чыхарлымышдыр.

Күр вә Иора (Гавры) чајлары арасы саңсәнә алт сармат чөкүнтүләринин олмасына даир мә'лумата Н. А. Кудрјавцев (1933), Н. А. Гедројес (1933) вә Г. Э. Элизадәнин (1932) әсәрләринә раст кәлирик. Бурада алт сармат чөкүнтүләринин (Чобандаг) гумдашылары ичәрисиндә тапылан фауна галыгларынын сијаһысы верилир: *Ervilia podolica* Eichw., *Mactra eichwaldi* Lask., *Cardium gracile* Pusch., *Tapes italicus* Orb.

Алт сармат чөкүнтүләри Гәрби Азәрбајчанын Мәммәдтәпә дағында илк дәфә 1936-чи илдә С. Г. Букија тәрәфиндән ашқар едилмиш вә бу чөкүнтүләрдән Алт Сармат ярыммәртәбәсинин сәчијјәләндирән моллускалар тапылмышдыр: *Syndesmya reflexa* Eichw., *Ervilia* sp., *Donax dentiger* Eichw. (килләрдә), *Mactra eichwaldi* Lask., *Tapes italicus* Orb. (гумдашыларында). Чөкүнтүләрин галышылғы 250—300 м мүәյҗән едилмишdir.

Бу чөкүнтүләр даһа соңра 1948-чи илдә А. Р. Шапиро тәрәфиндән өјрәнилмиш вә Мәммәдтәпә дағында ашағыдақы моллуска галыглары топланымышдыр: *Syndesmya reflexa* Eichw., *Cardium vindobonensis* Lask., *C. ruthenicum* Lask., *Mactra eichwaldi* Lask., *Ervilia dissita* Eichw.

Мәммәдтәпә дағыннын алт сармат чөкүнтүләри даһа соңра бир сыра қеологларын тәдгигатына мә'рүз галышылғы гумдашы, гум вә меркеләјларына малик олан килләр ичәрисиндән ашағыдақы моллуска галыгларынын топланымышлар: *Syndesmya reflexa* Eichw., *Cardium vindobonensis* Lask., *C. ruthenicum* Lask., *Mactra eichwaldi* Lask., *Ervilia dissita* Eichw.

Мәммәдтәпә дағында мүәллифләр тәрәфиндән 1965-чи илдә апарылан қеоложи тәдгигат иәтичәсийдә алт сармат чөкүнтүләринин қеоложи кәсилиши чыхарлымыш вә бу чөкүнтүләрдән зәнкин моллуска фаунасы топланымышдыр. Мүәллифләрни топладыглары фауна нөвләринин зәнкинији вә мұхтәлифлиji онлардан әввәлки мүәллифләрни топладыглары фауна галыглары сијаһысыны тамамлајыр.

Топланан фауна галыглары икитајгабыглылар—*Modiolus subpapillatus* (Gat.), *M. incrassatus incrassatus* (Orb.), *Musculus naviculoides naviculoides* (Koles.), *Unio* sp., *Cardium kishinevense* Koles., *C. vinbonense* (Partsch.) Lask., *C. ustjurtense* (Andrus.) Koles., *C. bajarunasi* Koles., *C. ruthenicum* Hilb., *C. lithopodolicum* Dub., *C. praeplicatum* Hilb., *C. plicatum plicatum* Eichw., *C. aff. loweni* Sinz., *Tapes naviculatus* R. Hoern., *T. italicus* (Orb.), *T. tricuspidis* (Eichw.), *Abra reflexa* (Eichw.), *Donax dentiger* Eichw., *Solen subfragilis* Eichw., *Mactra eichwaldi eichwaldi* Lask., *Ervilia pusilla dissita* Eichw. вә гарынајгабыглылар сиғинин—*Gibbula angulata* (Eichw.), *G. sarmates sarmates* (Eichw.), *Littorina bessarabica* Sinz., *Hydrobia uiratamensis* Koles., *H. enikaleensis* Koles., *Amnicola pumpha* Eichw., *Cerithium disjunctum* Sow., *C. menestrieri* Orb., *Melanopsis aff. inermis* Handmann, *Natica* sp., *Dorsanum aff. triformis tesevensis* (Koles.), *D. opinabile trabale* (Koles.), *D. renovatum* (Koles.), *Acteocina lajonkaireana* (Bast.) нөвләриндән ибәрәтди.

Гәjd етмәк лазымдыр ки, мүәллифләр тәрәфиндән Мәммәдтәпә дағыннын алт сармат чөкүнтүләриндән топланан моллускалар 19 пеле-сипод вә 22 гастропод әввүндән ибәрәтди. Бунлардан 20 нөвү Күр вә Иора чајлары арасы саңсәнлә тапылмышдыр.

Алт сармат чөкүнтүләри гәжбән шәргә фиснал дәјишиклијә мә'рүз талыр. Шәргдә (Б. Палантәкән, Ағгияттәпә, Елдаројуғу, Саждағ, Көйтәнә) бу чөкүнтүләр әсісән килләрдән ибәрәт олуб чох зәиф, назик габыглы вә аз мигдар моллуска галыгларын маликдирсә, гәрбдә чөкүнтүләрин тәркибиндә гумдашылары артыр вә фауна зәнкинләшир (Мәммәдтәпә рајону).

Мәммәдтәпә дағыннын алт сармат чөкүнтүләриндән топланан зәнкин фузна коллексијасы Сармат әсринин илкни дәнизләриндә јашамыш моллускалар вә онларын һәјат шәрантләри һаггындақы мә'луматымызы кенишләндирir.

Мүәллифләр тәрәфиндән Мәммәдтәпә дағыннын алт сармат чөкүнтүләринин моллускалары кәсилиш боју вертикал сурәтдә ашағыдан јухарыда дөгрү өјрәнилмиш вә онларын анализи апарылмышдыр. Бу анализ иәтичәсийдә Алт Сармат ярыммәртәбәсинин әввәлиндән башламыш Орта Сармат ярыммәртәбәсинен гәдәрки мүддәт әрзиндә алт сармат моллускаларынын дәјишкәнлији, бу мүддәт әрзиндә бир биосенозун дикәри илә әвәз олунмасы ашқара чыхарлымышдыр. Бүтүн бунлар исә Алт Сармат дәнизи режимиин мүәյҗән едилмәси үчүн әсас амилләрди.

Мәммәдтәпә рајонунан алт сармат чөкүнтүләринин литофасија вә фауна хүсусијәтләrinә көрә ики һиссәјә (ики литофасија) бөлмәк олар; ашағы-килли вә јухары гум дашиллы һиссә.

Килли һиссә кәсилишин 14 м-ни әнатә едир вә зәиф фаунаја маликлир. Икитајгабыглылар әсас јер тутур.

Рәһбәр нөвләр—*Abra reflexa* (Eichw.), *Ervilia pusilla dissita* (Eichw.).

Сајча үстүнлүк тәшкіл едән нөвләр—*Tapes italicus italicus* (Orb.), *T. tricuspidis* Eichw.

Характер нөвләр—*Cardium plicatum plicatum* Eichw., *C. praeplicatum* Hilb.

Сајча азлыг тәшкіл едән нөвләр—*Cardium cf. bajarunasi* Koles., *Modiolus incrassatus incrassatus* (Orb.).

Тәсадүфи нөвләр—*Lorsanum* sp.

Гумдашылы һиссә әсасән меркел, әңеңдашы лајларына малик олан гәйдән-боз ғұмдашыларынан ибаратдир. Галыныг 62 м. гејдән олунур. Бу һиссәдә дөрд палеобиосеноз мүәжжән едилмишиләр. Палеобиосенозлар һөвзәнин дахили шәраптитиң вә алт сармат моллуска фаунасының заман дахилиндә дәжишилмәснин характеристикаларынан дахилиндә дәжишилмәснин характеристикаларынан.

1. Гастропода-ервилија палеобиосенозу. Биотоп-гумдашы-органокен. әңеңдашы.

Рәибәр нөвләр—*Cardium praeplicatum* Hilb., *C. plicatum plicatum* Eichw., *Abra reflexa* (Eichw.), *Mactra eichwaldi eichwaldi* Lask., *Ervilia pusilla dissita* (Eichw.), *Cerithium disjunctum* Sow., *Lorsanum triformis* (Koles.), *L. opinabile* (Koles.), *D. renovatum* (Koles.).

Сајча үстүнлүк тәшкіл едән нөвләр—*Ervilia pusilla dissita* (Eichw.), *Dorsanum duplicatum duplicatum* (Sow.), *L. opinabile* (Koles.), *L. renovatum* (Koles.), *Melanopsis aff. inermis* Handmann.

Бириңчи дәрәчәли характер нөвләр—*Mactra eichwaldi eichwaldi* Lask., *Donax dentiger* Eichw., *Tapes vittianus vittianus* (Orb.), *Gibbula angulata* (Eichw.), *G. aff. albomaculata* (Eichw.), *Caliostoma sarmates sarmates* (Eichw.), *Lorsanum* sp.

Икinci дәрәчәли характер нөвләр—*Musculus naviculoides naviculoides* (Koles.), *Modiolus incrassatus incrassatus* (Orb.), *Tapes naviculatus* R. Hoern., *Cardium plicatum plicatum* Eichw., *C. praeplicatum* Hilb., *Calliostoma anceps* (Eichw.), *Hydrobia enikalensis* Koles., *H. uiratamensis* Koles., *Dorsanum seminovale* (Koles.), *Acteocina lajonkaireana* (Bast.).

Сајча азлыг тәшкіл едән нөвләр—*Modiolus subpapilio* Gatt., *Cardium ustjurtense* (Andrus.), *Amnicola pumpha* (Eichw.), *Littorina bessarabica* Sinz.

Тәсадүфи нөвләр—*Natica* sp., *Cerithium disjunctum* Sow., *C. mestri* Orb., *Cerithium* sp.

2. Ервилија палеобиосенозу. Биотоп-кил вә органокен әңеңдашы лајларына малик олан гумдашылары.

Рәибәр нөвләр—*Cardium plicatum plicatum* Eichw., *Mactra eichwaldi eichwaldi* Lask., *Ervilia pusilla dissita* (Eichw.).

Сајча үстүнлүк тәшкіл едән нөвләр—*Ervilia pusilla dissita* (Eichw.).

Бириңчи дәрәчәли характер нөвләр—*Tapes vittianus vittianus* (Orb.), *T. naviculoides* R. Hoern., *Cardium plicatum plicatum* Eichw.

Икinci дәрәчәли характер нөвләр—*Cardium ustjurtense* (Andrus.), *Tapes tricuspis* Eichw., *Donax dentiger* Eichw., *Mactra eichwaldi eichwaldi* Lask., *Musculus naviculoides naviculoides* (Koles.).

Сајча азлыг тәшкіл едән нөвләр—*Solen subfragilis* R. Hoern., *Dorsanum* sp., *Amnicola pumpha* Eichw., *Hydrobia* sp., *Acteocina lajonkaireana* (Bast.).

Тәсадүфи нөвләр—*Cardium aff. loweni* (Koles.).

3. Кардиум-тапес палеобиосенозу. Биотоп-агымтыл меркел.

Рәибәр нөвләр—*Cardium lithopodolum* Dub., *C. praeplicatum* Hilb.

Сајча үстүнлүк тәшкіл едән нөвләр—*Cardium* sp.

Бириңчи дәрәчәли характер нөвләр—*Tapes vittianus vittianus* (Orb.), *Cardium cf. ustjurtense* (Andrus.).

Икinci дәрәчәли характер нөвләр—*Cardium cf. ruthenicum* Hilb., *Tapes cf. naviculatus* R. Hoern.

Сајча азлыг тәшкіл едән нөвләр—*Mactra* sp.

Тәсадүфи нөвләр—*Dorsanum* sp., *Acteocina lajonkaireana* (Bast.).

4. Кардиум палеобиосенозу. Биотоп-сарымтыл-гәйвәни карбонатлы килләр.

Фауна—*Cardium ustjurtense* (Andrus.) Koles., *Cardium* sp.

Мәммәтәпә рајонундан топланан алт сармат моллускаларының палеонтологи анализи (чөкүнгүләрин әсасән килли олмасы, фаунаны—моллускаларын чох зәниф вә назик габыглы олмасы, балыг пулларының тез-тез раст кәлмәсі) әсасында белә иттичәјә кәлмәк олар ки, Сармат әсринин башланғышында бу саңадә һөвзәдә дәрини су режими олмуштур. Һөвзәнин ән дәрини һиссәси Күр вә Иордания чаялары арасы саңасинин шәрг вә мәркәзи һиссәләрини (Ағтахатәпә, Чобандаг, Молладағ, Сажлағ рајонлары) әнатә едир. Назик габыглы, хырда, ясты гәлсәмәлләр бурада бир гәдәр ашағы дузлулуға малик сублиторалын олмасыны, тәккәрән тапылан балыг пуллары вә балыг изләри һөвзәнин бу һиссәсендә бу һөјванлар үчүн һәјат шәраптитини вахташыры позулмасыны, тәсадүф едилән битки галыглар я исә һөвзәни әнатә едән мешәләрдән чаяларын ахыб бу һөвзәје төкүлдүйнү сүбүт едир.

Һөвзә шимал, өңиб әрб истигамәтләринде Сармат әсринин башланғышында өз дәрини су режимини сахламышдыса да, бу саңадә бир гәдәр дајазлашмышыр. Саңадә әсасән евригалин моллускалар (*Cardium*, *Tapes*, *Abra*) јашамышдыр.

Күр вә Иордания чаялары арсы саңасинин гәрб рајонунда Алт Сармат әсринин бириңчи ярысында һөвзә бир гәдәр ашағы дузлулуға (*Mactra*-ның олмасы илә) вә орта температура (евритең *Ervilia*-ның олмасы илә) малик олмуштур. *Abra*-ның варлығы һөвзәнин бир гәдәр дәрини вә суларын аз һәрәкәтдә олмасыны, гита мәңсулларының ыллуғын сүбүт едир. Моллускаларын эксерийәттән чох назик габыглы вә ишчә олмасы грунтун лиллини вә дәринлини тәхминән 200 м-ә чатдырыны кәстәрир.

Алт Сармат әсринин икinci ярысы һөвзәдә моллускаларын зәнкнилиji илә характеристикаларынан дахилиндә айрылан (вертикал үзрә) дөрд палеобиосеноз мүәжжән заман дахилиндә чанлы алочин дәжишилмәснин вә моллускаларын инициафыны көстәрир. Бу палеобиосенозларынан анализи сүбүт етми иләр ки, Күр вә Иордания чаялары арсы саңасинин гәрб һиссәсеннә Алт Сармат әсринин бириңчи ярысында икinci ярысын и кечидә һөвзә дајазлашмыш, онун сулары шириниләшмәнш вә бурада моллускаларын јашамасы үчүн әлверишли шәрләт яранмышдыр. Соңрак һөвзә даһа да діјазлашмыш, деби шәрләт яранмышдыр. Соңрак һөвзә даһа да діјазлашмыш, кечи мүхтәлиф моллускаларла зәнкниләшми и вә о, дајаз су режиминә кечи мүштәрдир. Бурада иенини галын габыглы вә ири моллускалар, һәтта ширини су моллускасы—*Melanopsis*-ләр дә јашамышдыр ки, бу да һөвзәнин мүәжжән заман дахилиндә лап дајазлашыны сүбүт едир. Саңадә грунт гумдашындан лилә кечмиш, температур әсасән нормадан јухары вә (бурада әсасән истиликсевән моллускалар—*Ervilia*, *Lorsanum*, *Cerithium*, *Melanopsis* јашамышдыр) газ режими дәжишикән олмуштур, даһа дөгрүсү, нормадан јүкесәләрәк континентал һөвзәләрин газ режиминә чатышычыр (*Melanopsis* континентал һөвзә формасы-дайыр). Һөвзәнин дәринлиji су ылғорал-лыгорал зонаны, чөкүнгүләрдин әсасән 10–100 м дәринликдә чөкмәси исә саңадә һиссәни характеристикаларынан дахилиндә дәжишилмәснин характеристикаларынан.

## ЭДЭБИЙЛТ

1. Агабаев М. Н., Маммадов Э. В. Гарби Азэрбајҹанин вә Шәрги Күрчустанын кеолокијасы вә нефтлиник-газлылыгы (рус дилинде). Азәринефтишр, Бакы, 1960.

2. Шапиро А. Р. Результаты структурно-поискового бурения в районе Мамедтапа. Фонд Азморнефти, 1948—1949.

Кеолокија институту

Алынмишдыр 6.I 1970.

К. А. Ализаде, Э. З. Мовлазаде

Новые данные о нижнесарматских отложениях  
междуречья Куры и Иори Западного Азербайджана  
(район г. Мамедтапа)

## РЕЗЮМЕ

Нижнесарматские отложения на территории междуречья Куры и Иори в районе г. Мамедтапа изучались впервые С. Г. Букия (1936) и А. Р. Шапиро (1948). По их данным, нижнесарматские отложения в районе г. Мамедтапа мощностью 250 м содержат: *Syndesmya reflexa* Eichw., *Donax dentiger* Eichw., *Mactra eichwaldi* Lask., *Tapes italicus* Orb., *Cardium vinodobenense* Lask., *C. ruthenicum* Lask.

Изученный авторами разрез нижнесарматских отложений южного склона горы Мамедтапа (1965) открыл богатый комплекс нижнесарматской фауны, состоящей из 19 видов пелеципод и 22 видов гастропод, из которых 20 видов найдены впервые в междуречьях Куры и Иори.

Нижнесарматские отложения района г. Мамедтапа подразделяются на нижнюю глинистую и верхнюю песчанистую части. В глинистой части авторами в составе моллюсков выделяются руководящие, преобладающие, характерные, сопутствующие и случайные формы.

Во второй песчанистой части авторами выделено четыре палеобиоценоза, характеризующиеся внутренними условиями бассейна и развитием здесь моллюсковой фауны во времени. В каждом палеобиоценозе авторами также выделяются руководящие, преобладающие, характерные, сопутствующие и случайные формы. После анализа моллюсковой фауны палеобиоценозов определяется изменение режима бассейна от начала до конца раннесарматского времени (температура, газовый режим, грунт, глубина и др. данные) и, наконец, в целом режим нижнесарматского бассейна.

К. А. Ализаде, Э. З. Мовлазаде

New data on lower sarmat deposits of Kura and Ior interfluve  
in West Azerbaijan (Mamedtapa district)

## SUMMARY

Lower sarmat deposits of the south flank of Mamedtapa mountains (1965) studied by the authors had discovered the rich complex of the lower sarmat fauna, consist of 19 species of pelecypods and 22 species of gastropods, from which 20 species are found in Kura and Ior interfluve for the first time.

Lower sarmat deposits of Mamedtapa district are subdivided into lower-argillaceous and upper-sandy parts.

In argillaceous part leading, predominant, characteristic, attendant and

accidental forms are distinguished by the anchors in the mollusk content.

In the second sandy part 4 paleobiocoenosis are distinguished by the authors, which characterized inner position of the basin and the development of this mollusk fauna through time. The leading, predominant, characteristic, attendant and accidental forms are distinguished by the authors in each paleobiocoenosis too. The change of basin regime is determined after analysis of mollusk fauna of paleobiocoenosis from the beginning to the end of early sarmat time (temperature, gas regime, soil, depth and ether data) and finally the regime of lower sarmat basin as a whole.

ИНЖЕНЕРНАЯ ГЕОЛОГИЯ

Т. У. БАГИРОВ

О ВЛИЯНИИ МИНЕРАЛИЗАЦИИ ПОРОВЫХ РАСТВОРОВ  
НА СОСТАВ И СВОЙСТВА СУБАКВАЛЬНЫХ ГЛИН  
ТЕРРИТОРИИ ГОР. БАКУ

(Представлено академиком АН Азербайджанской ССР М. А. Кашием)

Исследование поровых вод, отжатых из плиоценовых и плюценовых глин, выявило тесную взаимосвязь между составом пород и подземными водами. Для получения поровых растворов объемом 6–10 мл, образцы глин, отобранные из различных горизонтов плиоцена (продуктивная толща  $N_2^{Pr}$ , акчагыльского яруса  $N_2^{ak}$ , апшеронского яруса  $N_2^{ap}$ ) плеистоцена и (бакинского  $Q_1b$ , хазарского  $Q_2hz$ , хвалинского горизонтов  $Q_3hv$ ) в количестве 22 проб были помещены в специально изготовленные прессформы и отжимались под 50-тонным прессом.

Количество отжатых вод при одной и той же нагрузке весьма различно и зависит от степени структурной прочности, фазового состава, плотности и коэффициента водонасыщения.

Плиоценовые глины характеризуются высокой емкостью поглощения ( $> 25 \text{ мг/экв}$ ) и дисперсностью, большой мощностью с преобладанием в обменном составе  $\text{Ca}$ , повышенной плотностью ( $\gamma = 1,8 - 2,2 \text{ мг/см}^3$ ), модулем деформации  $E = 150 - 450 \text{ кг/см}^2$ , силой сцепления  $\phi = 1,6 - 3,8 \text{ кг/см}^2$  и малым коэффициентом водонасыщения ( $k_w < 0,7$ ).

Плеистоценовые глины в основном менее дисперсны, с малой емкостью поглощения, менее уплотнены ( $\gamma = 1,6 - 2,10$ ,  $E = 20 - 110$ ,  $C = 0,6 - 1,8$ ,  $k_w > 0,7$ ), обладают повышенным коэффициентом водонасыщения, что способствует активному их выщелачиванию.

Высокая минерализация поровых растворов плиоценовых глин обусловлена повышенной агрегированностью, степенью разложения органических веществ и коэффициентом щелочности (табл. 1), обусловленным процессом эпигенетических преобразований.

Высокая степень разложения органических веществ в глинах  $N_2^{ak}$  обусловлена их высокой дисперсностью и мономинеральным составом. Емкость поглощения плиоценовых глин колебается в пределах 16,4–38,4 мг/экв, что свидетельствует в целом о гидрослюдистости глин, при этом в плиоценовых глинах содержание ее превышает более 20 мг/экв; характерным для исследованных глин является преобладание

Таблица 1  
Некоторые показатели, характеризующие вещественный состав субаквальных глин территории гор. Баку

	Возраст	Степень минерализации		Коэффициент агрегированности, соотношение содержания фракции <0,005 гранул. микроаг.	Степень разложения органических веществ, $K_{opr} = \frac{C_{om}}{N}$	Коэффициент щелочности по емкости поглощ., $K_w = \frac{\text{Na} + \text{K}}{\text{Ca} + \text{Mg}}$
		по водным вытяжкам, %	по подземным водам, г/л			
Плиоцен	Продуктивная толща, $N_2^{Pr}$	1,8	35	1,5	13,9	0,36
	Акчагыльский ярус, $N_2^{ak}$	2,1	40	2,2	30,4	1,3
	Апшеронский ярус, $N_2^{ap}$	1,4	0,2–30	1,6	16,6	0,67
Плеистоцен	Бакинский горизонт, $Q_1b$	1,0	8–25	1,3	29,0	0,11
	Хазарский горизонт, $Q_2hz$	0,4	0,2–17	1,1	6,7	0,31
	Хвалинский горизонт, $Q_3hv$	0,6	9–18	1,2	5,2	0,12

$\text{Ca} > \text{Na} + \text{Mg}$  изредка  $\text{Ca} < \text{Na} + \text{Mg}$ . По величине коэффициента щелочности ( $K_w > 0,5$ ) исследованные глины в основном относятся, по М. Ф. Викуловой, к породам, образовавшимся в прибрежных аридных условиях.

Указанное различие состава, состояния, свойств исследованных глин обусловлено их постседиментационным изменением и литификацией.

Отмечается прямопропорциональная зависимость степени минерализации поровых вод от фазового состава исследованных пород (табл. 2).

Из табл. 2 видно, что в плеистоценовых глинах содержание твердой фазы меньше, чем в плиоценовых, это и определяет соотношение воды в грунтах. Согласно результатам исследования, плиоценовые глины в процессе позднеэпигенетических преобразований сильно уплотнены и характеризуются отсутствием свободной воды, что придало им твердое состояние с прочими структурными связями. Глины четвертичного периода, находясь на раннем этапе эпигенеза, содержат значительное количество свободной воды, что придало им пластичное и полутвердое состояние. Осредненные результаты анализов поровых растворов сведены в табл. 2.

Химический состав поровых вод, исследованных из различных стратиграфических горизонтов, колеблется от 1,3 до 63,8 г/л (табл. 2). При этом степень минерализации поровых вод средне- и верхне-плиоценовых глин (29,6–63,1 г/л) значительно больше, чем плеистоценовых (1,3–8,4 г/л). Минерализация поровых растворов глин акчагыльского яруса (63,09 г/л) больше минерализации глин продуктивной толщи (44,38 г/л) и апшеронского яруса (29,65 г/л). Указанное свидетельствует о высокой выщелачиваемости глин  $N_2^{Pr}$  и  $N_2^{ap}$ .

Таблица 2

Химический состав поровых растворов и фазового состава субаквальных глин г. Баку

Виды	Компоненты	Возраст					
		плиоценовый			плейстоценовый		
		N <sub>2</sub> Pr	N <sub>2</sub> ak	N <sub>2</sub> ap	Q <sub>1</sub> b	Q <sub>2</sub> hz	Q <sub>3</sub> hv
Состав поровых растворов, г/л	Na	3,21	5,31	6,31	0,72	0,39	0,47
	Ca	0,86	0,21	1,11	0,34	0,07	0,82
	Mg	0,33	0,48	1,35	0,15	0,02	0,34
	Cl'	24,32	36,85	14,35	1,41	0,28	6,07
	SO <sub>4</sub>	15,04	19,86	6,25	0,63	0,02	0,34
	HCO <sub>3</sub>	0,62	0,34	0,18	0,16	0,51	0,33
	Сумма	44,38	69,09	29,65	3,71	1,29	8,43
Фазовый состав,	Твердая фаза	88,2	80,4	84,9	85,0	81,5	75,2
	Вода	7,4	11,7	9,2	9,4	10,0	17,9
	Зашемленный воздух	4,4	7,9	6,8	5,6	6,5	7,5

Относительно низкая минерализация (1,3—8,4 г/л) глин четвертичного периода связана с их полиминеральностью, высокой дисперсностью, низкой емкостью поглощения, сравнительно высокой карбонатностью.

Из четвертичных глин наибольшей минерализацией поровых вод обладают глины хвалынского горизонта (8,43 г/л), что связано со сравнительно высокой их дисперсностью и агрегированностью.

Минерализация поровых вод образцов глин (Q<sub>1</sub>b), отобранных на горной части (5,25 г/л), превышает таковую порового раствора глин (Q<sub>2</sub>hz) района Кара-Чухур (1,98 г/л), что, по-видимому, связано с выщелачиванием и карбонизацией глин данного района.

Химический состав поровых вод всех исследованных глин по типу засоления является хлоридно-натриевым (Cl>SO<sub>4</sub>, HCO<sub>3</sub>, и Na>Ca+Mg), но резко различается по степени засоления (1,3—63,8 г/л).

Из указанного видно, что анионная часть раствора претерпевает большие изменения, чем катионная. Это положение легко прослеживается при сопоставлении химического состава поровых растворов с анализами водных вытяжек.

Результатами исследования установлено, что со стратиграфической глубиной минерализация поровых растворов глин повышается. В этом же направлении увеличивается дисперсность, повышается емкость поглощения, изменяется минералогический состав и др. Образцы глин, отобранные из коры выветривания, характеризуются сравнительно незначительной минерализацией порового раствора, что связано со степенью их выщелачиваемости и карбонизацией. Сопоставление минерализаций поровых растворов и подземных вод этих же отложений показывает, что в обоих случаях они относятся к хлоридно-натриевому типу.

Н. П. Затенацкая указывает, что при литификации осадочных пород подземные воды распределяются по удельному весу или по степени минерализации, что подтверждается нашими исследованиями. Так, минерализация грунтовых вод в целом возрастает от голоценовых (12 г/л) к среднеплиоценовым отложениям (~20 г/л).

Согласно данным анализов воднорастворимый состав глин плиоцен-

новых отложений относится к сильнозасоленным хлоридно-натриевого типа с сухим остатком 0,8—3,4% воднорастворимого состава. Плиоценовые глины слабо засолены, а воднорастворимый состав их относится к хлоридно-натриевому типу, с сухим остатком 0,03—1,2%. Из указанного видно наличие взаимосвязи химических составов поровых вод субаквальных глин с их воднорастворимым составом.

Если сравнить минерализацию поровых растворов исследованных глин с их же водными вытяжками до и после отжима, то выявляется, что эти глины по поровому раствору имеют более высокую минерализацию, а наименее — по водной вытяжке в два раза меньше, чем минерализация поровых растворов.

## ЛИТЕРАТУРА

1. Затенацкая Н. П. Поровые воды глинистых пород и их роль в формировании подземных вод. Изд. АН СССР, М., 1963. 2. Багиров Т. У. Инженерно-геологические свойства грунтов юго-западной части Ашхеронского полуострова в связи с условиями их залегания. Сб. трудов АзНИИ стройматериалов и сооружений им. Дадашева, № 32, Баку, 1968

АзНИИ стройматериалов и сооружений им. Дадашева

Поступило 29.V 1970

Т. У. Багиров

Мәсамә мәйлүлларының дүзлүлүг дәрәчәсүнүн  
Бакы әразисиндең күн сүхүрларының тәркиб ба  
хассаләрингә тә'сирі һағында

## ХУЛАСЭ

Бакы әразисиндең көтүрүлмүш Плиосен вә Дөрдүнчү дөврләрин күн мүмнәләри 50 тоннугү пресләрдә сүхүлдүгдан сонра алынаң мәсамә мәйлүлларының күмәнди анализи көстәрир ки, плиосен күлләринин дүзлүлүг дәрәчәси (29—64 г/л) плејостесен күлләринин күндөн (1—9 г/л) 7—9 дәфә артыгырып.

Бу, плиосен күлләринин чох сүхүлмаја мә'рүз галмасы, јүксәк һәчм дәрәчәси, деформасия модулу вә илишмә гүввәсүнә малик олмасы илә әлагәләндирлир.

Сынагдан кечирилмеш күлләр суда тез һәлл олан дүзларын, һәмчинин грунт сұлағының күмәнди тәркибиңе көрә ежни иөвлү олур; натриум-хлорлу дүзлашма иөвүнә анлдир.

Мәсамә мәйлүлларының сүхүрларының тәркиб, вәзијјэт вә хассаләрингә тә'сирі онларын лигификация (сүхүлма) дәрәчәсүндән асылыдыр.

T. V. Bagirov

## Brief contents

### SUMMARY

"On Mineralization of Porous Solutions' Influence on the Composition and Properties of the Subaqueous Clays of Baku City-Area".

The article states the results of the chemical analyses of the porous solutions acquired through pressing of the plynocenous and pliestoceneous clays. It is hereby discovered that all these clays refer to the chloride-natrium type of salting with different (63—12 g/e) mineralization. The plynocenous clays are characterized by their increased (63—30 g/e) mineralization.

## ГЕОЛОГИЯ НЕФТИ

Р. М. ДАДАШЕВ, У. Ш. МЕХТИЕВ

**ПЛАСТОВЫЕ ВОДЫ НЕФТЯНЫХ И ГАЗОКОНДЕНСАТНЫХ  
ЗАЛЕЖЕЙ ПРОДУКТИВНОЙ ТОЛЩИ МЕСТОРОЖДЕНИЯ  
САНГАЧАЛЫ-МОРЕ—ДУВАННЫЙ-МОРЕ—О.БУЛЛА**

(Представлено академиком АН Азербайджанской ССР Г. А. Ахмедовым)

В процессе опробования и эксплуатации скважин месторождения Сангачалы-море—Дуванный-море—о. Булла притоки пластовой воды получены из П.К и НКП (УШ горизонта) свиты, свиты УП горизонтов и У горизонта продуктивной толщи.

По характеру получаемой совместно с водой продукции можно выделить следующие группы:

- 1) пластовые воды, полученные совместно с нефтью (свита УП горизонтов);
- 2) пластовые воды, полученные совместно с газом и конденсатом (НКП свита);
- 3) пластовые воды, полученные совместно с газом (П.К свита);
- 4) чисто пластовые воды (У горизонт, свита УП горизонтов, НКП свита).

При описании гидрохимической характеристики было использовано более 200 химических анализов воды, отобранный из 35 разведочных и эксплуатационных скважин.

Подкирмакинская свита (П.К) опробована в скважинах 17, 95 и 97, расположенных на северо-восточном крыле поднятия Дуванный-море. По химическому составу пластовые воды этого объекта относятся к гидрокарбонатнонатриевому типу, хлоридной группе, классу S<sub>1</sub>Aa с общей минерализацией 50,2—52,0 мг-экв.

Щелочные металлы присутствуют в количестве 24,1—25,1 мг-экв. Содержание ионов хлора колеблется от 14,6 до 15,8 мг-экв, составляя в среднем 15,6 мг-экв. Общая щелочность изменяется от 3,7 до 5,2 мг-экв.

Содержание ионов Ca<sup>++</sup> и Mg<sup>++</sup> соответственно колеблется в пределах 0,2—0,5 и 0,1—0,5 мг-экв. Отношение  $\frac{rCa^{++}}{rMg^{++}}$  в среднем по П.К свите составляет 0,94.

Количество сульфат-иона изменяется в диапазоне 5,0—5,8 мг-экв и в среднем равно 5,5 мг-экв.

Коэффициент первичной солености S<sub>1</sub> изменяется от 78,5 до 84,2%, а первичной щелочности A—от 13,5—до 16,2%.

Для вод П.К свиты отношение  $\frac{rSo_4^{2-}}{rCl^- + rSo_4^{2-}}$ , учитывающее степень сульфатности высокое и в среднем составляет 0,26.

НКП свита (VIII горизонт) опробована в скважинах 17, 29, 58, 79 83, 84, 87, 89, 95 и 97, расположенных на северо-восточном крыле, месторождения.

Пластовые воды этой свиты относятся к гидрокарбонатнонатриевому типу, хлоридной группе, классу S<sub>1</sub>Aa.

Общая минерализация их изменяется от 55,5 до 80,3 мг-экв.

Максимальное содержание ионов натрия и калия в водах не превышает 36,9 мг-экв. Содержание хлора варьирует от 20,4 до 27,1 мг-экв. Количество сульфатов в среднем составляет 4,1 мг-экв. Содержание ионов Ca<sup>++</sup> и Mg<sup>++</sup> не превышает соответственно 2,2 и 1,5 мг-экв. Отношение  $\frac{rCa^{++}}{rMg^{++}}$  в среднем составляет 1,08.

Общая щелочность колеблется в пределах 2,9—6,8 мг-экв.

Коэффициент первичной солености S<sub>1</sub> изменяется от 76,5 до 92,5%. Коэффициент первичной щелочности A колеблется от 10,2 до 21,6%.

В отличие от вод П.К свиты воды НКП свиты (VIII горизонт) являются более минерализованными, содержат в 2,5 раза больше щелочноземельных элементов.

Особый интерес представляют воды свиты VII горизонтов (свита "перерыва") основного объекта разработки месторождения [1].

По своей химической характеристике воды свиты VII горизонтов продуктивной толщи с минерализацией примерно 65—66 мг-экв относятся к гидрокарбонатнонатриевому типу, хлоридной группе, классу S<sub>1</sub>Aa.

Количество сульфатов в водах указанной свиты высокое и варьирует в диапазоне от следов до 6,5 мг-экв. Максимальное содержание хлора не превышает 53,0 мг-экв, составляя в среднем по свите 26,9 мг-экв.

Содержание ионов кальция и магния не превышает 1,2 мг-экв.

Отношение  $\frac{rCa^{++}}{rMg^{++}}$  в среднем составляет 1,15.

Общая щелочность колеблется в пределах 1,4—8,2 мг-экв, а количество щелочных металлов изменяется от 20,0 до 56,9 мг-экв.

Коэффициенты первичной солености S<sub>1</sub> варьируют от 69,2 до 96,9%, а первичной щелочности A—1,2—32,6%.

Концентрация водородных ионов (pH) для вод свиты VII горизонтов продуктивной толщи месторождения Сангачалы-море—Дуванный-море—о. Булла изменяется довольно в узких интервалах (7,4—8,7), составляя в среднем 8,3.

Горизонт V опробован в скв. 7, 12, 33, 41, 75 и др. Величина общей минерализации вод этого горизонта изменяется от 60,0 до 82,6 мг-экв.

Количество щелочных металлов варьирует от 17,9 до 39,9 мг-экв.

Содержание хлора колеблется от 17,5 до 38,8 мг-экв. Сульфат-ион присутствует в количестве 0,2—2,9 мг-экв. Содержание кальция и магния в среднем составляет 2,2—0,8 мг-экв.

Общая щелочность не превышает 2,9 мг-экв. Отношение  $r\text{Na}^+$  в

среднем равно 1, что говорит о "переходном" характере пластовых вод, насыщающих V горизонт ПТ. В отличие от вышерассмотренных они характеризуются небольшими значениями коэффициентов вторичной солености или первичной щелочности.

Коэффициент вторичной солености  $S_2$  составляет 0,8—9,9%. Пластовые воды V горизонта, по М. В. Абрамовичу, можно отнести к "переходному" (от щелочных к жестким) типу.

Воды, полученные в процессе бурения из скважин, вышележащих горизонтов продуктивной толщи, по своему химическому составу отличаются повышенной минерализацией в сравнении с водами V горизонта и относятся в основном к хлоркальциевому типу класса  $S_1 S_{2a}$ .

Общая минерализация этих вод достигает 220 мг-экв и более.

Исходя из всех имеющихся данных, нам удалось наметить наиболее точную стратифицированную классификацию вод отдельных горизонтов продуктивной толщи месторождения Сангачалы-море—Дуванный-море—о. Булла (таблица).

Как следует из данной таблицы, между водами различных горизонтов не наблюдается резкого различия. Можно предположить о

#### Характеристика химического состава пластовых вод месторождения Сангачалы-море—Дуванный-море—о. Булла

Параметры химического анализа	Горизонты			
	ПК	НКП	VII	V
Количество анализов	7	17	155	14
Соленость, °Be	1,7	1,8	2,0	2,2
Мл. вес при 20°C	1,0127	1,0136	1,0150	1,0158
$\text{Cl}^-$ , мг-экв	15,57	23,77	26,5	32,94
$\text{SO}_4^{2-}$	5,49	4,10	1,02	2,31
$\text{HCO}_3^-$	1,88	3,66	3,71	0,45
$\text{CO}_3^{2-}$	0,43	0,70	0,68	0,06
$\text{RCOO}^-$	1,70	0,24	0,38	0,16
$\text{Ca}^{2+}$	0,29	0,78	0,31	2,16
$\text{Mg}^{2+}$	0,31	0,72	0,27	0,77
$\text{Na}^+ + \text{K}^+$	24,78	31,18	32,23	33,03
$\Sigma \text{a} + \text{k}$	50,76	65,36	65,62	71,92
$\text{HB}_4\text{O}_7$ , %	0,61	0,32	0,26	0,06
$S_1$	82,98	85,28	84,94	91,84
$S_2$	—	—	—	6,18
$A$	14,66	10,13	13,29	—
$a$	2,36	4,59	1,77	1,98
$r\text{Na}^+$	—	—	—	—
$r\text{Cl}^-$	1,59	1,31	1,20	1,00
$r\text{Ca}^{2+}$	—	—	—	—
$r\text{Mg}^{2+}$	0,94	1,08	1,15	2,81
$r\text{Na}^+ - r\text{Cl}^-$	—	—	—	—
$r\text{SO}_4^{2-}$	1,68	1,81	5,27	0,04
$r\text{SO}_4^{2-}$	0,26	0,15	0,04	0,07
Количество солей, г/л	15,5	19,3	20,1	21,3

существовании определенной гидродинамической связи между эксплуатационными объектами посредством продольного и поперечных нарушений, которые по данным сейсморазведки и глубокого разведочного бурения, доходят до отложений подстилающих средний плиоцен.

Наиболее минерализованные воды приурочены к V горизонту, в пределах которого, очевидно, проходит граница жестких и щелочных вод. Со стратиграфической глубиной минерализация вод уменьшается от 71,9 в V горизонте до 50,8 мг-экв в ПК свите.

Распределение ионов хлора в водах полностью отвечает распределению величин минерализации. В солевом составе пластовых вод руководящую роль играет  $\text{NaCl}$ . Мы имеем следующий примерный порядок распределения солей в растворе в порядке возрастания их количества— $\text{Na}_2\text{SO}_4$ ,  $\text{MgCO}_3$ ,  $\text{CaCO}_3$ ,  $\text{Na}_2\text{CO}_3$ ,  $\text{KCOO Na}$ ,  $\text{NaHCO}_3$ ,  $\text{NaCl}$ .

Содержание сульфатов в пластовых водах экзомерно увеличивается с глубиной и максимальная концентрация  $\text{SO}_4^{2-}$  отмечается в водах ПК свиты—5,5 мг-экв. Это явление может быть объяснено тем обстоятельством, что с ростом глубины залегания, и следовательно пластовой температуры (рис. 1), активность течения процессов редукции сульфатов заметно снижается, а при температурах выше 70° практически вообще прекращается.

По результатам, проведенных исследований [2] между глинистостью вмещающих пород и содержанием  $\text{SO}_4^{2-}$  в пластовых водах существует

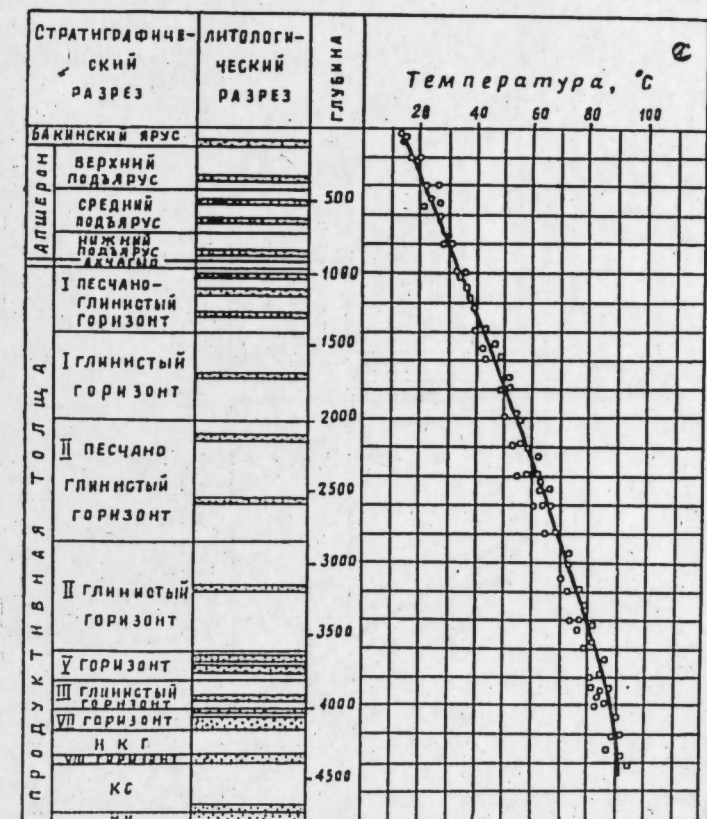


Рис. 1. Геотермический разрез месторождения Сангачалы-море—Дуванный-море—о. Булла: 1—глины; 2—пески, песчаники; 3—кривая изменения температуры.

ет определенная связь. В свитах более глинистых, при прочих равных условиях, содержание  $\text{SO}_4^{2-}$  в водах всегда выше, чем в более песчанистых отложениях. Этим, по-видимому, можно объяснить повышенное содержание  $\text{SO}_4^{2-}$  в водах V горизонта по отношению к водам свиты VII горизонтов, т. к. последняя является более песчанистой.

Определенный интерес представляет построенный гидрохимический график-профиль (рис. 2), который представляет собой сочетание графика, построенного в системе координат и геологического профиля, выполненного в заданном направлении [2]. Изучение гидрохимических характеристик по скважинам данного профиля позволяет с достаточной полнотой наметить общую картину распределения минерализации и ионно-солевого состава пластовых вод в пределах свиты VII горизонтов продуктивной толщи поднятия Дуванный-море.

На данном профиле скважины 14 и 3 относятся к водоносному юго-западному крылу, а скважины 24, 49, 59, 52 — к нефтегазонасыщенному северо-восточному крылу, причем скважины 59, 52 находятся в контурной зоне.

Кривая  $\text{HCO}_3^- + \text{CO}_3^{2-}$  в направлении с юго-запада на северо-восток существенных изменений не претерпевает (2,2—6,8 мк-экв). Максимальное значение содержания карбонатов и бикарбонатов соответствует зоне нефтегазонасыщения свиты VII горизонтов.

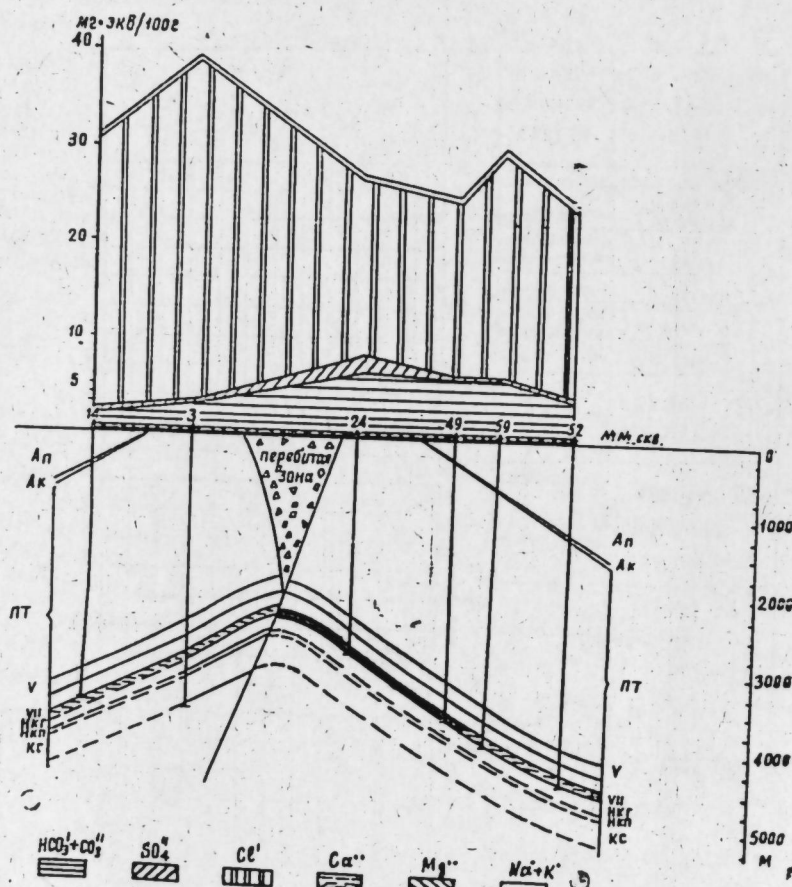


Рис. 2.

Кривая  $\text{SO}_4^{2-}$  показывает, что в контурной зоне и на юго-западном крыле содержание сульфатов колеблется от 0,1 до 0,5 мг-экв, возрастаая в зоне нефтегазонасыщения до 1,7 мг-экв на 100 г воды. Таким образом, в пределах зоны нефтегазонасыщения выделяется участок, отвечающий максимальному содержанию  $\text{SO}_4^{2-}$  и  $\text{HCO}_3^- + \text{CO}_3^{2-}$ .

Содержание хлора в контурной зоне и на юго-западном крыле изменяется от 19,1 до 35,5 мг-экв, а в пределах зоны нефтегазонасыщения составляет в среднем 18,2 мг-экв.

Ионы  $\text{Ca}^{2+}$  и  $\text{Mg}^{2+}$  в контурной зоне и на юго-западном крыле присутствуют в количествах, не превышающих 0,2 мг-экв. В зоне нефтегазонасыщения содержание  $\text{Ca}^{2+}$  возрастает до 0,5 мг-экв, а  $\text{Mg}^{2+}$  — до 0,4 мг-экв.

Величины содержания  $\text{Na}^+ + \text{K}^+$  регулируются в основном содержанием  $\text{Cl}^-$ . Следовательно, максимальное содержание щелочей приурочено к водам контурной зоны и юго-западного крыла и составляет 35,2 мг-экв.

Рассматриваемый график-профиль позволяет также установить, что воды с наименьшей минерализацией приурочены к зоне нефтегазонасыщения (50,2—55,0 мг-экв), а воды с максимальной (до 78,4 мг-экв) к контурной зоне и юго-западному крылу.

Как известно, одной из основных причин, вызывающих перетоки жидкостей, являются тектонические нарушения. В связи с тем, что зона нефтегазонасыщения прилегает к основному продольному нарушению, можно предположить, что уменьшение минерализации связано с явлениями смешивания пластовых вод свиты VII горизонтов с менее минерализованными водами нижезалегающих пластов.

#### ЛИТЕРАТУРА

- Джафаров А. А., Султанов А. Б., Дадашев Р. М., Велиев А. Г. АНХ, № 6, 1968.
- Мехтиев Ш. Ф., Ахундов А. Р., Листенгарден Б. М. Рачинский М. З., Самедов Ф. И. Пластовые воды газоконденсатных залежей Азербайджана, Изд. «ЭЛМ», Баку, 1970.
- Султанов А. Б., Дадашев Р. М., Мехтиев У. Ш. ДАН Азерб. ССР, № 7, 1969.

Институт геологии

Поступило 15. II 1971

Р. М. Дадашов, У. Ш. Мехтиев

Сангачал (дэниз), Дуванны (дэниз) вэ Булла адасы  
нефт вэ газконденсат јатагларынын Мәһсүлдар гат лај сularы

#### ХУЛАСЭ

Тәсвир едилән јатаглары лај сularы ики нөвә айрылып:

- Хлоркальциумлу чод сular (V горизонт вэ ондан јухары).
- Һидрокарбонатнатриумлу гәләви сular (VII горизонт, КҮГ вэ Ка дәстәләр).

Тәдгиг едилән јатаглары лај сularы, үмумијәтлә, бир-бириндән кәсекин сурәтдә фәргләнмиш. Булларын минераллашма дәрәчәси 100 г-да 50,8 мг-экв-дән (КА дәстә) 71,9 мг-экв-ә (V горизонт) гәләр дә-дишир.

Һидрокимjәви тәдгигатлар көстәрир ки, јухарыдан ашағы да огру сularын тәркибиндә сульфатларын артыр мигдары вэ Ка дәстәдә 100 г-да 5,5 мг-экв-ә чатыр.

Јатагларын һидрокеоложи вэ һидрокимjәви чәhәтдән өjrәнилмәси көстәрир ки, лајларын арасында һидродинамик әлагә вардыр.

R. M. Dadashov, U. S. Mehtiev

Stratum waters of oil and gas condensation deposits  
of productive strata of  
Sangachaly-more-Duvanny-more-Bulla oil field

SUMMARY

According to all the datas about the stratum waters of studied deposits (over 20) chamical analyses of water taken from 35 prospective and productive well we could make a suitable stratific classification of waters of different horizons of Sangachaly-more—Duvanny-more—Bulla. It is found out that there isn't a big difference between the waters of different horizons. We believe in existance of a hydro dinamic connection between through the main longitudinal and transversal breach that according to the datas of the seismic prospecting and the deep prospecting drilling reach the deposits that are lower the Middle Pliocen.

АЗЭРБАЙЧАН ССР ЕЛМЛЭР АКАДЕМИЈАСЫНЫН МӘРҮЗӘЛӘРИ  
ДОКЛАДЫ АҚАДЕМИИ НАУК АЗЕРБАЙДЖАНСКОЙ ССР

ТОМ XXVII

№ 7

1971

УДК 551.24.001.5=943.62 (479.24):553.982

ГЕОЛОГИЯ НЕФТИ

РУСЛАН АБДУЛЛАЕВ

ОСОБЕННОСТИ СТРУКТУРНОГО СООТНОШЕНИЯ МЕЗОЗОЙСКИХ  
И КАЙНОЗОЙСКИХ ОГЛЮЖЕНИЙ СМЕЖНОЙ ОБЛАСТИ  
КУРИНСКОЙ ВЛАДИНЫ И МАЛОГО КАВКАЗА В ПРЕДЕЛАХ  
ЗАПАДНОГО АЗЕРБАЙДЖАНА

(Представлено академиком АН Азербайджанской ССР А. А. Ализаде)

Современное состояние изученности территории Азербайджана позволяет с уверенностью сделать вывод о том, что если при изучении третичного комплекса осадков несоответствие структурных планов отдельных стратиграфических подразделений не было значительным и не играло при разведке тех или иных площадей существенной роли, то при выявлении перспектив нефтегазоносности мезозойского комплекса отложений, особенно на погребенных структурах, вопросы выяснения структурных соотношений при подготовке площадей к глубокому бурению приобретают решающее значение.

В рассматриваемой области, охватывающей территорию побережий р. Куры между меридианом г. Кировабада на востоке и границей Грузинской ССР на западе, вопросы структурных соотношений различных стратиграфических горизонтов мезо-кайнозойского комплекса осадков для всего региона или отдельных его участков были затронуты в работах ряда исследователей [2, 3, 4, 5, 6].

В результате проведенного за последнее десятилетие в исследуемой области комплекса геолого-геофизических и буровых работ были получены новые данные, обобщение которых позволило по особенностям строения в мезо-кайнозойском комплексе отложений рассматриваемой полосы впервые выделить наличие наиболее четко выраженных четырех структурных эгажей, разделенных региональным перерывом и несогласием: нижний структурный этаж охватывает терригенно-вулканогенные отложения юры, второй этаж — вулканогенно-карбонатные меловые отложения, третий этаж — терригенные отложения палеогена и верхний этаж — молассовые отложения неоген-четвертичного периода.

Геоструктурные особенности юрского структурного этажа представлены нами по данным гравиразведки и сейсмики (рис.1), согласно которым юрские отложения собраны в моноклиналь, погружающуюся в Куринскую владину и осложненную на востоке Шамхорским антиклиниорием, а на западе — Казалским гемисинклиниорием, которые

в свою очередь осложнены локальными структурами второго порядка. Из них в пределах указанного антиклиниория с востока на запад выделяется ряд гравитационных локальных максимумов силы тяжести, приуроченных примерно к одноименным селениям: Дальмамедлинскому, Сарыкамышскому, Караджамирлинскому, Шамхорскому, Ашага-Айыплинскому, Крыхлинскому, Кадырлинскому, Татлинскому и Кегна-Кишлакскому, цепь которых очерчивает как бы внешнюю дугу Шамхорского антиклиниория (рис. 1). Размеры этих максимумов изменяются по длиной оси от 3 до 10 км, по короткой оси — 1,5—5,5 км. Морфологические особенности юрских слоев в пределах дальмамедлинского максимума изучены также сейсмикой, согласно которой углы падения крыльев названного поднятия по верхним горизонтам юры составляют 6—8°, причем с глубиной слои выползают и Дальмамедлинское поднятие теряет самостоятельность.



Рис. 1. Схема расположения поднятий по юрскому структурному этажу: 1—поднятия, выявленные гравиразведкой; 2—поднятия, выявленные сейсморазведкой.

В Казахском гемисинклиниории, в зоне наклонной равнины правобережья р. Куры, впервые нами, по данным сейсморазведки, выделяются Татлы-Акстафинское и Пойлинское поднятия. В пределах первого поднятия юрские отложения участвуют в строении крупной и асимметричной антиклинали с антикавказским простиранием. Северо-западное крыло структуры более протяженное и крутое ( $45-50^{\circ}$ ), чем юго-восточное ( $20-25^{\circ}$ ). Пойлинская антиклиналь ориентирована в общекавказском направлении и имеет слегка асимметричное строение: южное крыло ее протяженнее и поставлено круче ( $30-35^{\circ}$ ), чем противоположное ( $15-20^{\circ}$ ). По имеющимся данным, указанные структуры простираются на расстоянии соответственно более 30 и 10 км, а амплитуда поднятий в силу увеличения крутизны крыльев с глубиной (до  $60-65^{\circ}$ ) доходит до 2,0 км. Разобщены данные поднятия глубинным Агдай-Ривазлинским разломом [6], северо-восточное продолжение которого прослежено нашими исследованиями [1].

В зоне левобережья р. Куры тектоника юрских отложений была изучена в северо-западной части области. Здесь юрская складчатость характеризуется наличием двух (Салоглинский и Мамедтепинский) асимметричных, антикавказских выступов. Длина поднятий составляет не более 8—9 км, высота доходит до 1—1,3 км. Как правило, с

глубиной отмечается увеличение крутизны крыльев до  $40-45^{\circ}$ . Характер складчатости мелового структурного этажа, изученного сейсморазведкой и бурением, в целом повторяет таковой юрских слоев. Вместе с тем в деталях тектоника мела отличается от тектоники подстилающих отложений значительно меньшей дифференцированностью своего складчатого плана (рис. 2).

Достаточно отметить, что из 7 отмеченных в юрских слоях гравитационных максимумов в меловых осадках отображены 4 более крупными и широкими поднятиями Дальмамедлы-Таузской антиклинальной зоны: Дальмамедлинским, Далляр-Джирдаханским, Ашага-

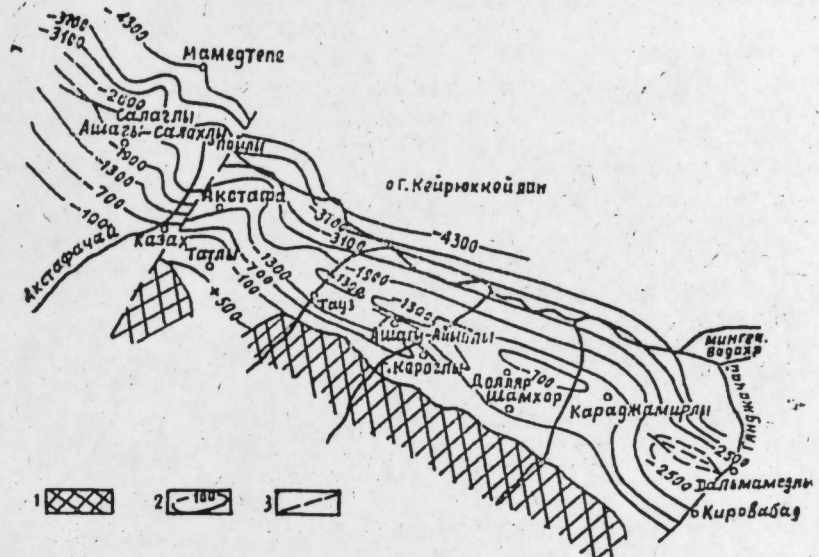


Рис. 2. Структурная карта по подошве меловых отложений: 1—области отсутствия или размытия меловых отложений; 2—горизонты по подошве меловых отложений; 3—разрывы.

Айыплинским и Таузским поднятиями. Аналогичной закономерности подчинены также Татлы-Акстафинское, Пойлинское, Салоглинское и Мамедтепинское поднятие Казахского гемисинклиниория, которые в меловых отложениях выражены более пологими структурными формами. Например, в пределах Татлы-Акстафинской структуры, если юрские слои участвовали в строении самостоятельной антиклинали, то меловые отложения образуют поперечный выступ, наложенный на подстилающую антиклиналь с резким угловым ( $35-40^{\circ}$ ) и азимутальным ( $30-35^{\circ}$ ) несогласием. Подобно этому более пологое Пойлинское поднятие по мелу наложено на сравнительно крупную юрскую антиклиналь со значительным угловым ( $30-35^{\circ}$ ) несогласием и по отношению к ней смешено к юго-западу на 1,5—2,0 км.

Палеогеновые отложения, сравнительно детально изученные буровыми скважинами, в строении приподнятых поднятий Шамхорского антиклиниория (Далляр-Джирдаханское, Ашага-Айыплинское и Таузское поднятие) по итви отсутствуют или же обнаруживаются в синклинальных понижениях в незначительной мощности. Поэтому особенности тектоники палеогенового структурного этажа рассматриваемой области удается наблюдать в пределах Дальмамедлинской, Татлы-Акстафинской, Пойлинской, Ашага Салахлинской, Салоглинской и Мамедтепинской структур, где складчатость палеогенового этажа в целом унаследована от подстилающего мелового структурного плана. Так,

указанные меловые поднятия отображены в палеогене со сравнительно резкой тектоникой, изменением ориентировок складок, а также с наличием явлений смещения (водов структур по отношению друг к другу (рис. 3). Например, ось Татлы-Акстафинского палеогенового выступа по сравнению с меловой структурой скошена несколько к востоку, очерчивая дугу, обращенную выпуклой стороной к северо-западу. А пойлинская антиклиналь по палеогену смещена по отношению к меловой складке на 2 км к юго-востоку.

В верхних слоях палеогена тектоника всех структур еще более упрощается и вследствие этого Пойлинская и Ашагы-Салахлинская антиклинали приобретают форму пологих выступов.

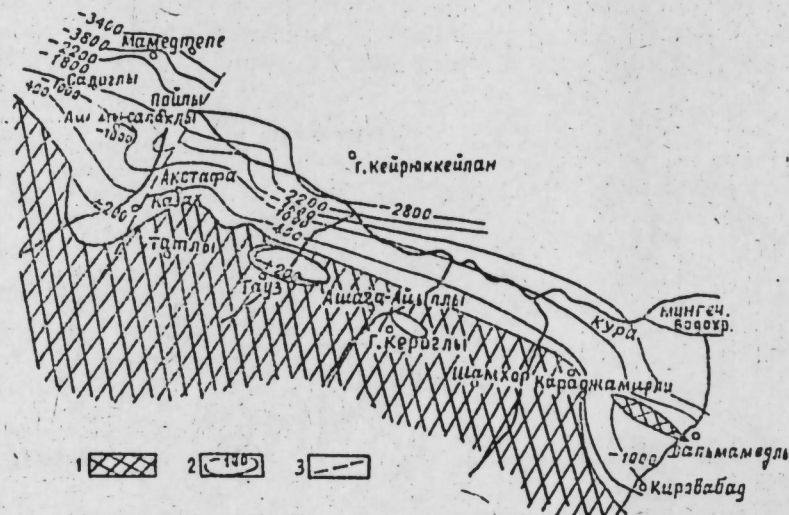


Рис. 3. Структурная карта по подошве эоценовых отложений: 1—области отсутствия или размыва эоценовых отложений; 2—горизонтали по подошве эоценовых отложений; 3—разрывы.

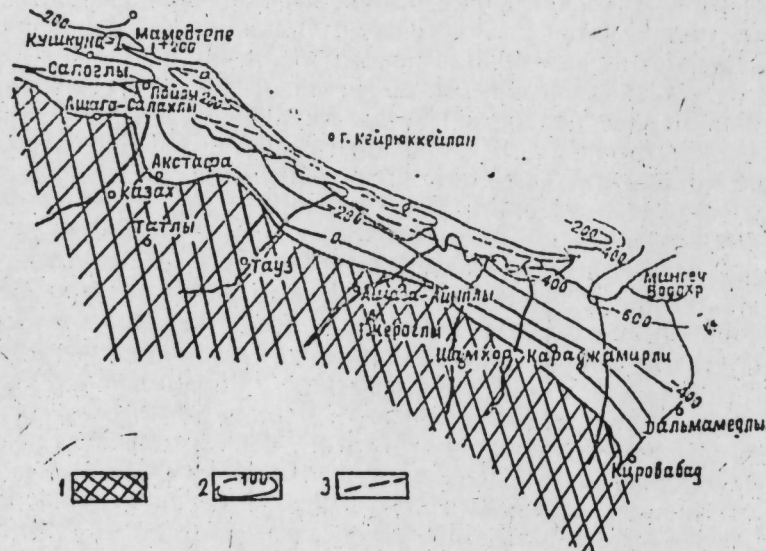


Рис. 4. Структурная карта по подошве акчагыльских отложений: 1—области отсутствия или размыва акчагыльских отложений; 2—горизонтали по подошве акчагыльских отложений; 3—разрывы.

Структурный план наиболее верхнего неоген-четвертичного этажа (рис. 4) на интересующей нас территории характеризуется наличием двух зон: в зоне наклонной равнины правобережья р. Куры слои неоген-четвертичных отложений, залегая резко трансгрессивно на размытую поверхность меловых и палеогеновых осадков и не имея ничего общего со структурным планом мезозой-палеогенового подложья, образуют моноклиналь, полого наклоненную ( $6-8^{\circ}$ ) в сторону Куриńskiej впадины. В силу моноклинального залегания этими слоями "зачличиваются" разрывы, осложняющие строение Дальмамедлинского и Ашага Айыплинского поднятий, а также северо-восточное продолжение в осевой полосе Казахского гемисинклиниория глубинного Агдани-Ривазлинского разлома (рис.4).

В зоне левобережья р. Куры тектоника неоген-четвертичного структурного этажа резко отличается от таковой правобережья р. Куры и характеризуется сильно дислоцированным складчатым планом, где развиты три узкие параллельно вытянутые линейные антиклинальные зоны, простирающиеся на значительные расстояния (120-130 км) вдоль р. Куры [4]. Как правило, локальные поднятий этих зон осложнены линейными продольными надвигами, вдоль которых более пологие северные крылья разорваны и надвинуты на сравнительно короткие, местами на голову поставленные противоположные крылья.

Несмотря на то, что зона левобережья р. Куры на дневной поверхности характеризуется коренной перестройкой структурного плана, вместе с тем здесь в неоген-четвертичном комплексе отложений отмечается наличие отдельных элементов унаследованности тектоники пологих мезозой-палеогеновых поднятий (Кушкуна, Мамедтепе и др.).

#### ЛИТЕРАТУРА

- 1 Абдуллаев Р. А. АНХ, № 5. 1970.
- 2 Али-Заде А. А. ДАН Азерб. ССР, т. 1, № 2, 1945.
- 3 Жабрев И. П. ДАН Азерб. ССР, № 3, 1951.
- 4 Мамедов А. В. Структурно-фаунистические особенности и перспективы нефтегазоносности сармагса и отложений Средне-Куринской впадины. Изд. АН Азерб. ССР, 1968.
- 5 Хани В. Е., Шарданов А. Н. Геологическое строение и история развития Куринской впадины. Изд. АН Азерб. ССР, 1952.
- 6 Шихалибейли Э. Ш. История геоекологического развития восточной части Малого Кавказа. Изд. АН Азерб. ССР, т. III, 1967.

Институт геологии

Поступило 25. IX 1970

Руслан Абдуллаев

Гәрби Азәрбајҹанда Күр чөкәклији илә Кичик Гафгазын ғоншу саһәсийдә Мезозој вә Кајнозој чөкүнүләри структур мұнасибәтинин ҳүсусијәтләри

#### ХҮЛАСӘ

Кировабад меридианы илә Күрчүстан сәрһәдди арасында Күрүн саһилләриниң әнатә едән әразидә сон он илдә апарылан қеология-кеофизик вә газыма ишләри мә’луматына истинаң едәрәк мезозој-каjnозој комплексинде бир-бiriндән кәсииң ажыран 4 структур мәртәбә аյырмаг олур.

Эн гәдим Жура лајларына көрә тәдгиг едилән әразидә икى I дәрәчәли структур вәнид мәвчуд түр: Шамхор антиклиниориуму вә Газах синклиниориуму даһа хырла локал галхымларла мүрәккәбләшилди. Тәбашир структур мәртәбәсіндә бу галхымлар бир гәдар јастылашыр вә ириләшир.

Пілеәкенде тәбашир галхымларынан җалызы Газах синклиниориуму һүдүдүнда оланлар өз эксплорации тапыр, лакин онларын тектоникасы даһа да садәләшир.

Нәһајэт, мұасир структур плана тәфавүт едәи неокен-Дөрдүнчү дөвр структур мәргәбәсіндә исә гырышыглыг Іалыз Күрүн сағ саһили бою мүшәнидә олунур ( сол саһилдә моноклинала тәфавүт едір ), бу, газыма вә сејсмик мә'лумата көрә жасты мезозој-палеокен гырышыглығының гисмән давамыдыр.

R. A. Abdullayev

The peculiarities structural correlation of meozise and kinozise deposits of adjacent region kur hollow and little caucasus in the limit of western Azerbaijan

SUMMARY

In the article are shown the character of correlation which are underlined by the author in complex of meozise and konozise deposits. This complex consists of four structural layers (Jura, Chalk, Paleogene, Neogene—Quarterly). These layers are found in the territory of Azer. SSR—between meridian Kirovabad in the west show-line in the East.

АЗЭРБАЙЧАН ССР ЕЛМЛӘР АҚАДЕМИЈАСЫНЫН МӘРУЗӘЛӘРИ

ДОКЛАДЫ АКАДЕМИИ НАУК АЗЕРБАЙДЖАНСКОЙ ССР

том XXVII

№ 7

1971

УДК 591.24 (571.5)

ГЕОТЕКТОНИКА

А. Н. ГАДЖИЕВ, С. С. САМЕДОВ

КУБИНСКАЯ ТАФРОСИНКЛИНАЛЬ И ЕЕ РОЛЬ  
В ФОРМИРОВАНИИ ПЕРЕДОВОГО ПРОГИБА В ЮВ ОКОНЧАНИИ  
Б. КАВКАЗА (ПРИКАСПИЙСКО-КУБИНСКАЯ ОБЛАСТЬ  
АЗЕРБАЙДЖАНСКОЙ ССР)

(Преоставлено академиком АН Азербайджанской ССР Ш. Ф. Мехтиевым)

Изучение глубинного геологического строения рассматриваемого прогиба в течение длительного времени ограничивалось областью предгорий, где выходят на дневную поверхность коренные породы мезозойского возраста. Однако наиболее полное познание тектонической природы этого региона стало возможным в результате широко поставленных геофизических работ, главным образом гравиметрических и сейсмических, а также значительного объема глубокого разведочного бурения, охватившего в основном северную половину Ку-саро-Дивичинского прогиба.

В настоящее время результаты геофизических исследований и глубокого бурения позволяют нам более охарактеризовать интенсивно дислоцированные породы мезозойского комплекса и воссоздать картину строения фундамента в целом и отдельных его блоков, разграниченных, по-видимому, глубинными разломами различных амплитуд и направлений.

В пределах Прикаспийско-Кубинской области и прилегающей морской акватории установлено существование древних нарушений и разломов двух направлений: субширотного и субмеридионального. Преобладающими являются субширотные разрывы, направление которых согласуется с основным простиранием Кавказской альпийской складчатости. Наиболее крупным из них является Сиазанский, разграничивающий Терско-Каспийский передовой прогиб и автогеносинклиналь ЮЗ Кавказа. В результате проведения детальных морских гравиметрических исследований юго-восточное продолжение выше отмеченного разлома довольно четко прослеживается на карте аномалий Буге в виде протяженной зоны с интенсивным увеличением градиента силы тяжести.

Менее протяженным является Хачмасский разлом, протягивающийся вдоль Кусаро-Хачмасского погребенного поднятия фундамента.

Следует отметить, что Хачмасский разлом, в отличие от Сиазанского, не проявляется в верхнем структурном этаже осадочного (кай-

нозойского) чехла, но устанавливается по ряду признаков (сгущение изоаномаль на гравиметрической карте, неувязка условных сейсмических горизонтов, резкое изменение мощности отдельных свит кайнозоя и т. д.).

Комплексное использование результатов всех применяемых в исследуемом районе методов геофизической разведки с учетом данных глубокого разведочного бурения позволили нам, по аналогии с отдельными районами Предкавказья, установить новую региональную структуру, основным элементом которой является Кубинская тафросинклиналь. Под тафросинклиналями подразумевают грабенообразные депрессии, выполненные многосекционными породами (В. Е. Хани, М. С. Бурштар).

Образование Кубинской тафросинклинали связано с упомянутыми выше разломами. Кубинская тафросинклиналь протягивается в южной части Кусаро-Дивичинского синклиниория и рассматривается как передовой прогиб центрального (Тенгино-Бешбармакского) антиклиниория ЮВ Кавказа.

Данные гравиметрических и сейсмических исследований позволяют считать, что юго-восточное продолжение этого прогиба расположено в прибрежье Каспийского моря.

Юго-западная граница ее проходит несколько севернее выходов меловых пород на северном склоне ЮВ Кавказа и ограничена Сиазанским разрывом, прослеживающимся вдоль всего юго-западного борта; северо-восточная — вдоль Кусаро-Хачмасского погребенного поднятия, являющегося продолжением Самурского антиклиниория (рис. 1).

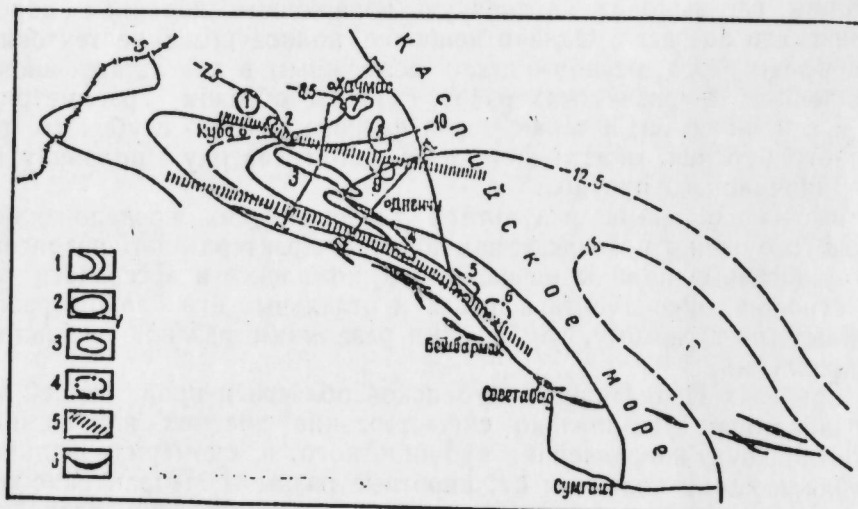


Рис. 1. Структурно-тектоническая карта Прикаспийского района (СВ окончание Б. Кавказа), по И. О. Цимельзону с дополнениями автора.  
1—изогипсы поверхности консолидированной коры (фундамента); 2—поднятия мезозойских пород, выделяемые по наличию локальных максимумов силы тяжести; 3—поднятия мезозойских пород, предположительно выделяемые по наличию слабых локальных максимумов с. т.; 4—поднятия меловых пород по данным сейсморазведки; 5—глубинные разломы; 6—поднятие осевой зоны ЮВ Кавказа (Тенгино-Бешбармакского антиклиниория). Полнятия: 1—Кусарское; 2—Зизикское; 3—Телабинское; 4—Кайнарджинское; 5—Кызылбуринское; 6—Зорат-море; 7—Хачмасское; 8—Сарванское; 9—Саялское.

Данные гравиметрических исследований позволяют считать, что северо-западное окончание Кубинской тафросинклинали граничит с

Вельвелячайским максимальным выступом и западным Каспийским разломом. Таким образом, общая протяженность тафросинклинали составляет около 100 км при ширине 25—40 км.

Осеальная зона тафросинклинали проходит от сел. Ашага-зенд через г. Дивичи на юго-восток и в прибрежье Каспийского моря изменяет свое направление простирации от субширотного до субмеридионального. Приморский участок рассматриваемого района характеризуется крупным гравитационным минимумом, указывающим на большую погруженностей здесь тафросинклинали (рис. 2).

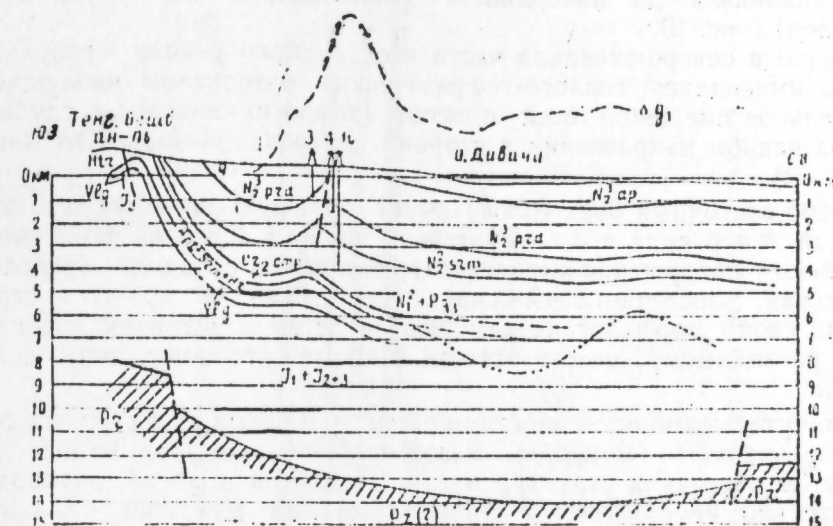


Рис. 2. Геолого-геофизический профиль II-II.

В строении Кубинской тафросинклинали принимают участие породы доальпийского (доюрского) основания и мезокайнозойский орогенный комплекс.

В структуре осадочного чехла тафросинклинали отмечается ряд прогибов и поднятий, обусловливающих локальные аномалии разного порядка.

Детальное изучение геофизических полей (гравитационного и магнитного) и сопоставление их с некоторыми данными о строении осадочной толщи в пределах юго-восточного Кавказа хорошо подтверждают наличие зон разломов глубокого залегания, ограничивающих крупные тектонические единицы и более мелкие блоки внутри них.

Блоки в связи с многократными разнонаправленными тектоническими движениями вдоль разрывных зон имеют различный характер геологического развития, обуславливающего в свою очередь формирование различных типов структур в каждом из них.

Юго-западный борт (блок) тафросинклинали сравнительно крутой и осложнен линейно вытянутой Талаби-Кайнарджинской антиклинальной зоной.

Новые данные детальных морских гравиметрических исследований, установленные на юго-восточном окончании этой зоны поднятий продолжение Сиазанской гравитационной ступени, возможно, обусловленной одноименным разрывом глубокого залегания, позволяют нам рассматривать вышеотмеченную антиклинальную зону как надразломную (рис. 2).

Эта антиклинальная зона включает Талабинскую, Кайнарджинскую

и другие структуры. В пределах этой зоны степень дислоцированности плиоцен-миоценовых пород уменьшается в юго-восточном направлении. На юго-восточном окончании этой зоны поднятый локальные структурные формы в третичных отложениях отсутствуют. Здесь наблюдаются лишь террасовидные осложнения миоценовых слоев. А породы мелового комплекса смяты в пологие складки (Зорат-море, Кызылбурун-море).

В пределах приморской низменности региональный фон гравитационного поля довольно хорошо соответствует общему строению этой тафросинклинали до поверхности консолидированной коры Земли (палеозой) (рис. 2).

Однако в северо-западной части исследуемого района в результате анализа имеющихся геолого-геофизических материалов наблюдается значительное смещение осей прогиба (тафросинклинали) с глубиной в юго-западном направлении в сторону центральной зоны ЮВ Кавказа (рис. 3).

Северо-восточный борт (блок) имеет большую ширину, чем юго-западный, а строение его сравнительно проще. Здесь на фоне моноклинального погружения выделяется ряд пологих складок: Кусарская, Хачмасская, Восточно-Хачмасская, Чархинская и др. Эти структуры по своим морфологическим особенностям и условиям возникновения, по-видимому, можно отнести к промежуточному типу складчатости.

Отличительными особенностями рассматриваемых структурных форм являются меньшая мощность мезозойского комплекса пород, расплывчатые очертания структур и т. д. Поднятия пологие, размеры их относительно небольшие. В строении данных поднятий принимают участие породы юры и иногда миоцена или плиоцена. Меловые породы здесь почти отсутствуют. Эти складки вверх по разрезу постепенно затухают. Таким образом, складки, расположенные на противоположных бортах Кубинской тафросинклинали, неодинакового генезиса, различные по типу и морфологии, а также по комплексу пород, охваченных складчатостью.

На региональном фоне северо-восточного борта Кубинской тафросинклинали выявлен ряд локальных максимумов аномалий силы тяжести (Саядский, Сарванский и др.), обусловленные, по-видимому, поднятиями в мезозойских и нижнетретичных отложениях.

Здесь локальным гравитационным максимумам соответствуют локальные поднятия опорного электрического горизонта, отнесенного, по мнению различных исследователей, к различным горизонтам мезозойского комплекса отложений (рис. 2, 3).

Таким образом, Восточно-Хачмасское (Чархинское), Саядское и Сарванское поднятие, установленные в результате сейморазведочных, гравиразведочных и электроразведочных исследований, образуют как бы антиклинальную линию субмеридионального простирания, которая, косо пересекая внутренний борт прогиба (тафросинклинали), продолжается в пределы его приосевой зоны (рис. 1).

Анализ накопившегося геофизического материала позволяет предположить, что проявление волновых колебательных геокинетических движений по этой зоне подчиняется определенной закономерности, выражющейся в том, что в северо-западном направлении (в сторону воздымания) происходит миграция локальных поднятий во времени (от юры к плиоцену).

Таким образом, новые данные сейморазведки позволили просле-

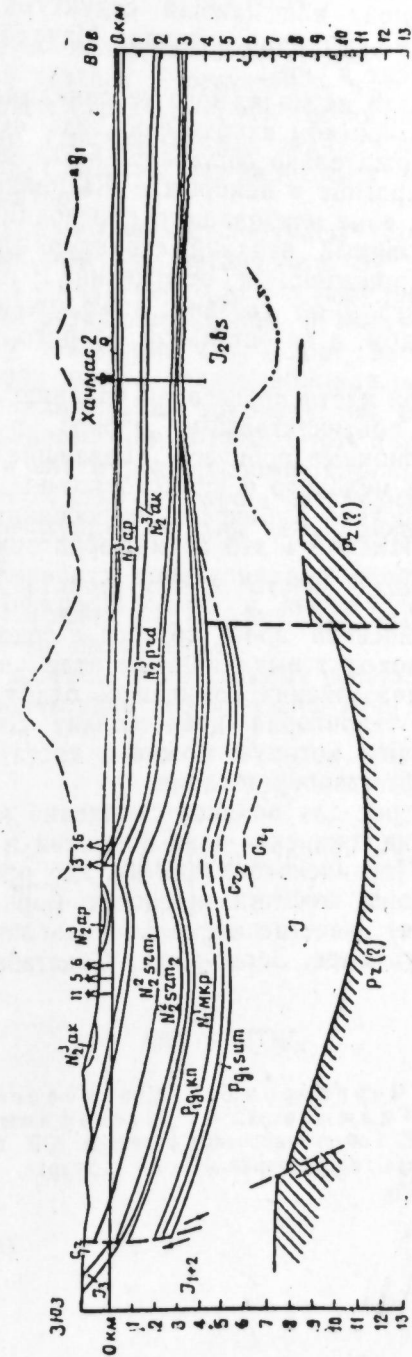


Рис. 3. Геолого-географических профиль I—I:  
1—кривая локальных аномалий; 2—поверхность опорного электрического горизонта.

дить изменение структурных планов по стратиграфическим этажам от плиоценовых до юрских отложений осадочного комплекса включительно.

Как известно, наличие нескольких структурных этажей в пределах одного участка земной коры принято рассматривать как отражение крупных этапов в его тектоническом развитии. Палеозойский гетерогенный фундамент или нижний структурный этаж перекрыт мощными отложениями осадочного чехла. Начало образования последнего обычно относят к юре.

В юрском и меловом периодах зона геосинклинального прогибания проглягивалась в субширотном направлении, где суммарная мощность юры и мела предположительно составляет 5000–6000 м. На прямом продолжении этого прогиба в прибрежье Каспийского моря располагалась, по-видимому, зона наибольшего прогибания.

Слабо дислоцированный верхний структурный этаж охватывает комплекс миоцен-антропогеновых отложений. В приосевой части Кубинской тафросинклинали он связан с нижележащими отложениями постепенным переходом, а на остальной территории отделен от них перерывом.

В северо-восточной части прогиба накоплению миоценовых осадков предшествовал континентальный период, в течение которого происходили денудационные процессы, вызвавшие разрушение ранее отложившихся пород мелового и юрского комплексов.

В плиоцене-антропогене Кубинская тафросинклиналь была вовлечена к прогибанию. Именно в это время территория рассматриваемого прогиба вновь приобрела синклинальное строение. В пределах этой территории темп погружения и осадконакопления уменьшался по мере удаления от приосевой зоны прогиба к северо-востоку. В этом же направлении происходит выклинивание отдельных ярусов нижнетретичных и верхнемезозойских комплексов отложений.

В целом вся эта территория представляла собой унаследованно развивающуюся впадину, которую можно с достаточным основанием считать как зону нефтегазообразования.

Здесь особый интерес для поисков скоплений нефти и газа представляют Талаби-Кайнарджинская зона поднятий и область восточного погружения Хачмас-Чархинского поднятия, где при ожидаемой большой широте диапазона нефтегазоносности (юра, неоком, верхний мел, миоцен-олигоцен) известно несколько благоприятных локальных структур (Кызылбурун-море, Зорат-море, Советабад-море и др.).

#### ЛИТЕРАТУРА

1. Бурштар М. С., Чернобров Б. С., Швембергер Ю. Н. Советская геология, № 4, 1969.
2. Гаджиев А. Н., Мустафаев С. И. Нефть и газ, № 12, 1968.
3. Халил В. Е. Геотектоническое развитие ЮВ Кавказа. Азнефтеиздат, 1950.
4. Халил В. Е. Общая геотектоника. Изд-во "Недра", 1964.
5. Цимельсон И. О. Геотектоника, 5, 1970.

Институт геологии

Поступило 18.III 1970

А. Н. Һачыјев, С. С. Сәмәдов

Губа тафросинклиналы вә онун Бөјүк Гафгазын чәнуб-шәрг гурттарачағындакы өн чөкәклијинин жарапмасында ролу  
(Губа—Хәзәрјаны вилајети)

#### ХУЛАСӘ

Губа—Хәзәрјаны вилајетинде комплекс қеология-кеофизик кәш-фијјат ишләринин тәдгиги „Предкавказја“ның бә’зи рајонларына уйғын кәлән жени регионал структур—Губа тафросинклиналы мүәјјән етмәјә имкан вермишdir. Тафросинклинал дедикдә, миокеосинклинал чөкүнтуләрилә долмуш, грабенәохшар депрессија нәзәрдә тутулур (В. Е. Хайн, М. С. Бурштар).

Губа тафросинклиналының жарапмасы Сијәзән вә Хачмаз дәрин тектоник гырылмалары илә әлагәдардыр. Бу тафросинклинал Гусар—Дәвәчи синклиниорисинин чәнуб һиссәсендә Јерләшир вә Җәнуб-шәрги Гафгазын мәркәзи антиклиниорисинин (Тәнки—Бешбармаг) өн чөкәји һесаб олуңур. Бу чөкәклијин чәнуб-шәрг һиссәси кеофизики тәдгигатлара кәрә Хәзәр дәнизи сулары алтында Јерләшир.

Губа тафросинклиналының узунлугу 100, өни исә 25—40 км-ә чатыр. Тафросинклиналың чәнуб-шәрг борту (блоку) Тәләби—Гајнарча антиклинал хәтти илә мүрәккәбләшмишdir. Шимал-шәрг борту исә һисбәтән енли олуб, садә гурулуша маликдир. Бурада үмуми моноклинал җатымын фонунда бир сырға гырышылар айрылыр: Гусар, Хачмаз, Чархы вә с.

Сејсмик тәдгигатларын сон нәтичәси Плиосендән Јура чөкүнтуләринә кими, стратиграфик мәртәбләләр үзрә, структур планларын дәйшилмәснин изләмәјә имкан верир.

Үмумијјатлә, тәдгигат апардығымыз саһәјә тектоники ирси инкишафда олан перспективли нефти-газлы зона кими бахыла биләр.

## БИОХИМИЯ РАСТЕНИЙ

Академик М. Г. АБУГАЛЬБОВ, Т. Х. МАМЕДОВА, Ф. А. РАСУЛОВ

## ФОСФОРНЫЙ ОБМЕН В ЗОНАХ РОСТА КОРНЯ ТЫКВЫ ПРИ КАЛЬЦИЕВОМ ГОЛОДАНИИ

Несмотря на крупные успехи, достигнутые в изучении корневого питания, механизм поглощения ионов и их включение в обмен веществ все еще остается невыясненным. В частности, было показано, что фосфорный обмен в корнях растений связан с синтезом и использованием нуклеотидов—первичных акцепторов фосфора при дальнейшей передаче его на продукты гликолиза, нуклеиновые кислоты и другие соединения [1,6].

Однако все эти работы были проведены на целых корнях, где не были учтены функциональные особенности клеток различных зон.

Принимая во внимание исключительно важную роль кальция в регулировании поглощения ионов, в данной работе мы попытались установить некоторые стороны обмена фосфорных соединений в связи с функциональными особенностями клеток зон роста корней растений в норме и при кальциевом голодании.

Опыты проводились на водной культуре с растениями тыквы (сорт Перехватка). Объектами исследования служили корни тыквы, выращенные на полном питательном растворе Кноба.

В качестве контроля служили корни тыквы, выращенные на питательном растворе, из которого полностью исключался кальций.

Для проведения изотопной части работы параллельно в тех же условиях осуществляли выращивание растений, которые снимались при наступлении на корнях признаков кальциевого голодания и переносились на питательные растворы с  $P^{32}$  ( $30 \mu\text{C/l}$ ). Включение  $P^{32}$  в обоих вариантах проводили в течение суток. Результаты исследования показали, что обмен фосфорных соединений в зонах роста тыквы в основном протекает внутри кислоторасторимой фракции (табл. 1,2) и значительно медленнее во фракции нуклеиновых кислот.

Повышенное содержание органического фосфора—фосфорных эфиров сахаров и свободных нуклеотидов, по всей вероятности, связано с интенсивным гликолизом, который протекает энергичнее, чем синтез нуклеиновых кислот и других фосфорных соединений.

Как видно из данных, представленных в табл. 2, наиболее обогащается меченым фосфором кислоторасторимая фракция зон роста корня тыквы, в то время как нуклеиновые кислоты метятся слабее.

Таблица 1

Распределение различных форм соединений фосфора и изменение соотношения нуклеотидов в зонах роста корня тыквы в норме и при кальциевом голодании

Зоны	Кислоторасторимая фракция				Фракция нуклеиновых кислот				Нуклеотиды (% от общей суммы)				Типоэффекты			
	Бапнаты	Огемин	Фосфаты	Ф-РНК	Ф-РНК	Ф-УНК	Ф-РНК	Ф-УНК	Ф-РНК	Ф-УНК	Ф-РНК	Ф-УНК				
+Ca	Меристема	28,4	13,4	9,3	5,7	2,64	12,36	22,2	2,28	33,2	32,9	23,3	10,6	33,6	63,7	2,7
	Растяжение	75,2	40,4	25,8	9,0	7,25	27,55	56,2	5,05	45,5	27,3	16,1	11,1	40,2	56,9	2,9
	Корн. волосков	103,3	57,1	30,1	16,1	14,55	31,65	62,9	8,12	30,5	27,8	13,9	27,5	71,1	1,4	
	Меристема	27,4	20,2	2,7	4,5	1,01	6,19	18,5	1,94	25,2	28,6	27,0	19,2	40,9	56,7	2,4
-Ca	Растяжение	55,2	44,7	4,3	6,2	1,70	8,80	25,7	2,97	30,8	25,9	25,3	48,0	48,8	48,1	3,1
	Корн. волосков	79,8	61,5	7,6	10,7	4,24	14,06	28,6	3,27	22,2	30,6	32,8	14,4	41,8	56,0	2,2

Таблица 2  
Включение Р<sub>32</sub> в кислоторасторимую фракцию и нуклеиновые кислоты зон роста корня тыквы в норме и при кальциевом голодаании

Ба- ри- ум	Зоны	Кислоторасторимая фракция			Фракция нуклеиновых кислот		
		A	УА	РНК	ДНК	РНК+ДНК	
		и.мп/мин/г сухого в-ва	и.мп/мин/10 <sup>-7</sup> на клетку	и.мп/мин/г сух. в-ва	и.мп/мин/10 <sup>-7</sup> на клетку	и.мп/мин/г сух. в-ва	и.мп/мин/г сух. в-ва
+Ca	Меристема	2.196.822	6714	523.898	2066	30.508	122
+Ca	Растяжение	1.036.550	11840	305.052	3485	29.432	335
-Ca	Корн. волосков	695.235	15624	215.108	2754	20.306	354
-Ca	Меристема	495.868	2711	99	162.315	688	22.088
-Ca	Растяжение	393.213	3400	61	142.273	1228	21.071
-Ca	Корн. волосков	398.658	6400	80	81.739	1347	12.484

Таким образом можно предположить, что процессы этерификации связаны с обменом нуклеотидов и фосфорных эфиров сахаров, что усиливается по мере роста клетки корня тыквы. Несмотря на поглощение Р<sup>32</sup> клетками по мере роста корня тыквы в течение суток (табл. 2) содержание нуклеотидов сравнительно ниже, чем других фосфорных соединений — фосфорных эфиров сахаров и нуклеиновых кислот, которые резко повышаются. Поэтому перед нами встал вопрос, какие соединения являются первичными продуктами метаболизации фосфора по мере роста клеток корня тыквы.

Для выяснения данного вопроса мы сравнивали удельные активности, возникающих при этом фосфорных соединений. Как видно из табл. 2, первичными продуктами метаболизации фосфора по мере роста клеток корня тыквы являются соединения кислоторасторимой фракции, которая обладает наибольшей удельной активностью и что последовательность включения минерального фосфора, по-видимому, начинается с синтеза трифосфатов, количество которых сильно уменьшено (табл. 1), возможно, из-за вовлечения их в синтез сахаров, нуклеиновых кислот и других фосфорных соединений. Таким образом, наиболее характерной особенностью при росте клеток корня тыквы являются интенсивные синтетические процессы, приводящие к накоплению ряда фосфорных соединений. Однако, скорость синтеза указанных соединений (табл. 1, 2) по мере роста клеток корня тыквы, выращенных как в присутствии кальция, так и в его отсутствии, изодинакова. Наибольшее накопление фосфора нуклеотидов и нуклеиновых кислот клетками зон роста корня тыквы наблюдалось в зоне дифференциации, что, возможно, связано с поглотительной способностью клеток данной зоны. Интенсивность синтеза свободных нуклеотидов и нуклеиновых кислот в клетках зон роста корня тыквы резко падала в зоне меристемы. Переходя к анализу действия кальциевого голодаания на фосфорный обмен в зонах роста корня тыквы (табл. 1), следует отметить, что отсутствие кальция в питательной среде сильно термозит не только поступление, но и использование поглощенного фосфора клетками корня тыквы (3—5,7).

Резкое накопление неорганического фосфора в растягивающихся клетках корня тыквы, выращенных в отсутствии кальция, видимо, связано с замедлением роста клеток растяжением [2].

#### Выводы

1. Отдельные фазы роста клеток корня тыквы различаются по скорости синтеза свободных нуклеотидов, нуклеиновых кислот и других фосфорных соединений.
2. По мере роста клеток корня тыквы происходит накопление свободных нуклеотидов и нуклеиновых кислот.
3. При помощи Р<sup>32</sup> установлено, что синтез нуклеиновых кислот происходит медленнее, чем синтез свободных нуклеотидов.
4. Первичными продуктами метаболизации фосфора, видимо, являются нуклеозиды и трифосфаты.
5. Отсутствие кальция угнетает поглощение Р<sup>32</sup>, синтез свободных нуклеогидов и нуклеиновых кислот, что влечет за собой накопление неорганического фосфора в зонах роста корня тыквы.

#### ЛИТЕРАТУРА

1. Курсанов А. Л., Выскребенцева Э. И. Первичное включение фосфата в метаболизм корней. «Физиол. растений», т. 7, вып. 3, 276—285, 1960.
2. Burström H. Studies on growth and metabolism of roots X. Investigations of the calcium effect. Physiol. Plant., 7, 2, 332—342, 1954.

3. Hyde A. H. Nature of the calcium effect in phosphorus uptake by barley roots  
Plant and soil. 24, 328—332, 1966.

4. Leggett I. E., Galloway R. A., Gauch H.G. Calcium activation of orthophosphate absorption by barley roots. Plant physiol., 40, 897—902, 1965.

5. Mengel K., Hetzel M. Der Einfluss des austauschbaren  $\text{Ca}^{++}$  junger gerstenwurzeln auf den Flux von  $\text{K}^+$  und Phosphat—eine Interpretation des Viets effekts.  
Z. pflanzenphysiol., 53, № 3, 233—234, 1967.

6. Miettinen J., Savioja T. Uptake of orthophosphate by the pea plant (*Pisum sativum*). Suomen Kem., 32, № 5—6, 13128—13130, 1959.

7. Nassery H., Harley J. L. Phosphate absorption by plants from habitats of different phosphate status. I. Absorption and incorporation of phosphate by excised roots. New Phytologist., 68, № 1, 13—20, 1969.

Институт ботаники

М. Н. Абуталыбов, Т. Х. Маммадова, Ф. Э. Расулов

### Габаг биткиси көкүнүн бөјүмә зоналарында калсиумун чатышмамазлығы шәраитинде фосфор мұбадиләсі

#### ХУЛАСӘ

Калсиумун чатышмамазлығы шәраитинде габаг биткиси көкүнүн бөјүмә зоналарында нуклеотидләрин, нуклеин туршуларынын вә баш-га фосфорлу бирләшмәләрин мұбадиләсі өјрәнилмишидир. Мә'лум олмушдур ки, һәм нормал, һәм дә калсиумун чатышмамазлығы шәраитинде бечәрилән биткиләрин көк системинде зоналар үзәре фосфорлу бирләшмәләрин мигдары артыр. Лакин калсиумун чатышмамазлығы шәраитинде сахланылан биткиләрдә фосфорлу бирләшмәләрин зоналар үзәре мигдары нормал налдақылара нисбәтән кәсқин азалып.

M. G. Abutalybov, T. R. Mamedova, F. A. Rasulov

### Phosphoric metabolism in the growth of pumpkin root under calcium hunger

#### SUMMARY

The content of various phosphoric combinations in the growth zones of pumpkin root is under study.

It is shown that lack of Ca inhibits the engaging velocity of  $\text{P}^{32}$  into the acid-soluble fractions and fractions of nucleic acid of the growth zones of the pumpkin root and accumulation of free nucleotides, nucleic acids and other phosphoric combinations.

АЗЭРБАЙЖАН ССР ЕЛМЛӘР АҚАДЕМИЈАСЫНЫН МӘРҮЗӘЛӘРИ

ДОКЛАДЫ АКАДЕМИИ НАУК АЗЕРБАЙДЖАНСКОЙ ССР

ТОМ XXVII

№ 7

1971

УДК 561.6/9:551.782.13:581.9 (47)

ПАЛЕОБОТАНИКА

Р. А. ФАТАЛИЕВ

### RHUS CATARICA В САРМАТСКИХ ФЛОРАХ СССР

(Представлено академиком АН Азербайджанской ССР В. Х. Тутаюк)

Современный род *Rhus* (сем. *Anacardiaceae*) насчитывает около 150 видов листопадных (редко вечнозеленых) невысоких деревьев, распространенных в теплоумеренных и субтропических областях обоих полушарий [1, 11, 18]. На территорию Советского Союза заходят ареалы *R. coriaria* L. (Крым, Кавказ и средняя Азия, а также Средиземноморье—от Канарских островов до Турции и Ирана) и *R. orientalis* (Greene) C. K. Schneid. (южный Сахалин, южные Курильские острова, Япония, Китай).

По палеоботаническим данным, третичная флора Кавказа была относительно богаче представителями сумаховых, о чем свидетельствуют их остатки из олигоценовых, сарматских и плиоценовых отложений [3, 8, 4]. Некоторые из отмеченных находок определяются как *Rhus herthae* Unger, отпечаток листа которого описан и изображен Унгером из тортона Свобщовице в Польше, но, как выяснила И. А. Ильинская [2], типовой экземпляр *R. herthae* относится к роду *Fagus*. Поздненеогеновые отпечатки *Rhus* обычно отождествляют с *R. coriaria* L., что указывает на древность этого вида.

Среди сарматских сумаховых *Rhus catarica* Fataliev [9, рис. 1, фиг. 1—4] представляет значительный палеоботанический и ботанико-географический интерес в том отношении, что он и его современный аналог *R. vernix* L. принадлежат к секции *Vernix*, большинство видов которой произрастает в Юго-Восточной Азии и только два—встречаются на востоке США, в Центральной Америке и на севере Южной Америки. Прерывистый (дизъюнктивный) характер ареала, состоящий из двух частей, показывает, что в геологическом прошлом область распространения секции была гораздо обширнее.

Первоначально *R. catarica* установлен нами по 26 отпечаткам и противоотпечаткам отдельных листочков, варьирующих в длину от 5 до 12 см и в ширину—2,5—6,2 см. Судя по размерам листочков, они принадлежали довольно крупным перистым сложным листьям, достигавшим 40—50 см длины [9]. Позднее, в 1965—1966 гг., на южном склоне горы Катар (правобережье р. Иори), в том же флороносном слое херсонского горизонта верхнего сармата было обнаружено новое местонахождение, отстоящее примерно на 0,5 км восточнее от прежних

двух пунктов. Здесь автором собрано свыше 300 образцов плотных серых, тонкослоистых глин, на которых сохранились отпечатки листьев папоротников, покрытосеменных и облиственных побегов хвойных растений. В результате препарирования большей части образцов коллекции выявлено свыше 100 отпечатков *Rhus catarica*. Обилие и прекрасное качество ископаемого материала (заметны все детали строения жилок второго и третьего порядков) позволили получить представление о многообразии формы и пределах изменчивости листовой пластиинки.

Отпечатки *R. catarica*, вероятно, и раньше встречались в сарматских флористических комплексах, но их посредственная сохранность маскировала характерные особенности системы жилкования, а единичные сстатки этого вида терялись в общей массе отпечатков листьев представителей других родов и семейств, в частности *Juglandaceae*. Так, например, И. А. Ильинская, предварительно просмотревшая наш западно-азербайджанский материал, обнаружила несколько отпечатков *R. catarica* среди фрагментов ореховых из флоры Крынки, переданных Т. Н. Байковской для определения. Затем листовые отпечатки *R. catarica* оказались и в коллекции, собранной И. А. Ильинской из несарматских отложений сел. Верхнее Водяное в Закарпатье (УССР). Недавно сотрудники отдела ботаники Сухумского ботанического сада под руководством проф. А. А. Колаковского в Гудаутском районе Абхазии открыли местонахождение сарматской флоры, откуда собраны очень интересный материал [5]. Находясь в Сухуми в ноябре—декабре 1968 г., я видел небольшую часть сарматской коллекции, в частности образец МБИ-538, на котором сохранился неполный отпечаток *Rhus catarica* с характерным для этого вида строением системы жилкования.

За пределами СССР вид *Rhus catarica* пока не найден, хотя в литературе [7, стр. 147, табл. VII, фиг. 4] имеется указание, что в нижнесарматских отложениях сел. Пелово в Плевенском округе обнаружен отпечаток кожистого листочка *Rhus* sp., несколько сходного с *R. catarica*. Во время пребывания в Болгарии в сентябре—октябре 1967 г., А. С. Петкова любезно показала мне свои коллекции по сарматским флорам, которые представлены своеобразными и интересными формами. Среди отпечатков других двудольных был отпечаток листочка вышеуказанного *Rhus* sp., у которого жилки второго порядка не образуют магниальных петель, типичных для *Rhus catarica*, а третичная сеть иного строения.

Таким образом, в настоящее время достоверный сарматский представитель секции *Vernix*, вид *Rhus catarica* известен из следующих пунктов.

#### Азербайджанская ССР

1. Местонахождение голотипа: г. Катар, междуречье Куры и Иори. Верхний сармат, херсонский (средний) горизонт.

#### Грузинская ССР

2. Окрестности сел. Бармыш и Мугудзырхва, Гудаутский район Абхазской АССР. Нижний сармат.

#### РСФСР

3. Сел. Александровка (в 100 км от Таганрога), на правом берегу р. Крынки (приток р. Мусы), Азовский район Ростовской области. Нижний сармат.

#### Украинская ССР

4. Сел. Верхнее Водяное на р. Апшице, Закарпатская область. Нижний сармат, стрембенская свита.

Интересно, что в трех последних местонахождениях остатки *Rhus catarica* приурочены к нижнесарматским отложениям, где они представлены единичными отпечатками. За исключением флоры, Крынки [6], данные о систематическом составе остальных флор с участием *R. catarica* не опубликованы, поэтому трудно указать другие общие виды. Пока можно отметить, что ближайшую в географическом отношении ренинесарматскую флору Абхазии с катарской связывают также и *Myrica lignitum* (Ung.) Sap., *Rapanea kubanensis* Pashkov.

Кроме листовых отпечатков, встречающихся в низах средней части верхнего сармата, в верхних слоях херсонского горизонта нами найдено большое количество окаменелой древесины от 1,5 до 3 см в диаметре и 3–5 см в длину. Древесина коричневато-серая, покрытая местами желтым налетом, относительно хорошей сохранности. И. А. Шилкина (лаборатория палеоботаники БИН АН СССР), списавшая и определившая указанные фрагменты, отмечает, что анатомическое строение исследованной древесины обнаруживает значительное сходство с древесиной *Anacardiaceae*, которое выражается в размерах, типе и расположении сосудов, в высоте и ширине лучей, в наличии кристаллов, их форме и расположении [17, 16, 14]. Однако отождествить с каким-либо родом это семейство не представляется возможным, т. к. во всех случаях наблюдаются те или иные отличия, имеющие диагностическое значение. Поэтому наиболее целесообразно отнести эту древесину к роду *Anacardioxylon* Felix, остатки которого очень редки. В „Каталоге ископаемой древесины двудольных“ Эдвардса [13] приводят *An. magniporosum* Plate (Калифорния, США), *An. spondiaeforme* Felix (о. Антигуа, Малые Антильские острова) и *An. uniradiatum* Felix (Апшеронский полуостров, Азербайджанская ССР), причем последний вид был переведен А. В. Ярмоленко [10] в *Quercinum* при изучении древесин из того же местонахождения. Все указанные виды *Anacardioxylon* являются третичными. По мнению И. А. Шилкиной, катарская древесина отличается от них по ряду признаков, что позволило выделить новый вид *An. cataricum* Shilkinia. Древесина катарского вида характеризуется тонкостенностью элементов, обилием сосудов на всем годичном кольце и относительно широкими годичными кольцами. Эти признаки дают основание полагать, что условия произрастания были ровными, без резких колебаний и с достаточным количеством влаги.

Если *Anacardioxylon cataricum* сочетает в себе признаки многих сумаховых, то *R. catarica* проявляет определенное и большое сходство по морфологии листовой пластинки с североамериканским видом *R. vernix* L., отличаясь от него более резко суженной к верхушке формой листочеков, менее развитыми промежуточными жилками и перпендикулярными жилками третьего порядка.

Вид *Rhus vernix* L.—дерево до 7 м высоты, нередко растущее кустовидно, с несколько свисающими ветвями. Листья непарноперистые до 40 см длины и состоят из 7–13 листочеков 4–10 см длины и 2,5–5 см ширины. Листочки эллиптические или эллиптически-продолговатые, цельнокрайние или края незадорожнистые [1, 15, 18]. Согласно просмотренному материалу гербария БИН АН СССР, самый крупный верхушечный (терминальный) листочек с длинным черешком и клиновидным основанием, а боковые (латеральные) листочки короткочерешковые с округлокоиновидным основанием. Жилок второго порядка

8—12 пар и они у края образуют очень характерные петлевые анатомозы.

Ареал *R. vernix* L., одного из теплолюбивых видов рода, охватывает приморские равнины восточной части США от штата Нью-Гэмпшир, области великих озер и штата Миннесота до Флориды и Техаса, где он растет на влажных, часто затопляемых болотах [12, 19]. Следует отметить *R. vernix* L. очень требователен к почвенно-климатическим условиям и потому редко культивируется.

Многочисленные отпечатки *R. catarica* и остатки древесины *An. cataricium* свидетельствуют о том, что в середине позднесарматского века оптимальный термический режим в благоприятном сочетании с обильными осадками и повышенной влажностью воздуха, а также соответствующими почвами, способствовал произрастанию в лесах Центрального Закавказья (междуречье Куры и Иори) своеобразных представителей сумаховых, отсутствующих в современной флоре СССР. Находки *R. catarica* на Украине, в РСФСР и Абхазии позволяют заключить, что южные районы европейской территории Советского Союза и Кавказ в конце миоцена были промежуточными звенями между американским и восточноазиатским частями ареала секции *Vernix*.

#### ЛИТЕРАТУРА

1. Деревья и кустарники СССР, т. IV, 1958.
2. Ильинская И. А. Тортонская флора Свошовице. Труды БИН АН СССР, серия VIII, вып. V, 1964.
3. Касумова Г. М. Флора олигоценовых отложений северо-восточных предгорий Малого Кавказа (Азербайджан) и ее стратиграфическое значение. Изд. АН Азерб.: ССР. Баку, 1966.
4. Колаковский А. А. Ископаемая дендрофлора Кавказа. Труды Тбилисского о-та, ин-та, т. 17, 1955.
5. Колаковский А. А., Шакрыл А. К. *Colchidites* — новый род *Pinaceae* из сармата Абхазии. Палеонтол. ж. АН СССР, № 4, 1968.
6. Кристофович А. Н., Байковская Т. Н. Сарматская флора Крышки. Изд. «Наука», 1965.
7. Петкова Адриана. Палеоботаническое исследование сармата в нижнем течении реки Иссык. Изв. Ботан. ин-та АН Болгарии, т. XVII, 1967.
8. Узандзе М. Д. Сарматская флора Грузии. Труды Геол. ин-та АН Груз. ССР, серия геол., т. 8 (13), 1955.
9. Фаталиев Р. А. Новый вид рода *Rhus* из верхнего сармата Закавказья. ДАН СССР, т. 148, № 1, 1963.
10. Ярмоленко А. В. Ископаемые древесины майкопской свиты юго-восточного Закавказья. Труды БИН АН СССР, серия I, вып. 5, 1941.
11. Bailey L. H. The Standard Cycloedia of Horticulture, v. III. New York, 1958.
12. Barkley F. A. A monographic study of *Rhus* and its immediate allies in North and Central America, including the West Indies. Ann. Missouri Bot. Garden, v. XXIV, № 3, 1937.
13. Edwards W. N. Dicotyledones (Ligna). Fossilium Catalogus, II, 1930.
14. Greguss P. Holzanatomie der Europäischen Laubholzer und Straucher. Budapest, 1959.
15. Harlow W. M. and Harrar E. S. Textbook of dendrology, covering the important forest trees of the US and Canada. New York, London, 1940.
16. Metcalfe C. R. and Chalk L. Anatomy of the Dicotyledones, 1—2. Oxford, 1950.
17. Record I. American Woods of the Family Anacardiaceae: Tropical Woods, № 60, 1939.
18. Rehder A. Manual of cultivated trees and shrubs. New York, 1949.
19. Sargent C. S. Manual of the trees of North America (exclusive of Mexico). London, 1921.

Институт ботаники

Поступило 20. XI 1969

Р. А. Фаталиев

#### *Rhus catarica* нөвүү ССРИ-нин Сармат флорасында

##### ХУЛАСЭ

*Rhus catarica* Fataliev нөвүү (*Anacardiacae* фәсиләси) Гәрби Азәрбајҹанын (Күр вә Иори чајлары арасы саһә) Уст Сармат дөврү чөкүнүләрindән топланымыш палеоботаника материалы эсасында тә’јин едилмишdir. Гејд етмәк лазымдыр ки, *R. catarica* ярпаг ајасынын морфологијасы вә димарланма системинин хүсүсийтләринә көрә мүснүр *R. vernix* L. нөвүнә чох яхындыр. Бу ики нөв *Vernix* секси-

јасына мәхсусдур. Сексија дахил олан нөвләrin эксерийјәти Чәнуб-Шәрги Асијада битир. икисине исә АБШ-ын шәрги һиссәсинде, Мәркәзи Америкада вә Чәнуби Американын шималында тәсадүф едилir.

*R. catarica* нөвүнүн Абхазијанын, РСФСР-ин вә Украинанын Сармат флорасында тапылмасы көстәрир ки, ССРИ әразисинин Ауропада Јөрләшән чәнуб районлары вә Гифгәз Миоцен ләврүнүн ахырында *Vernix* сексијасы ареалынын бир һиссәсини тәшкىл едирди.

R. A. Fataliev

#### *Rhus catarica* in Sarmatian floras of the USSR

##### SUMMARY

*Rhus catarica* Fataliev was described by the author in 1963 on fossil materials, collected from Upper Sarmatian deposits of Mt. Katar in the Kura—Iori interstream region (W. Azerbaijan). This species morphologically very similar to modern *R. vernix* L. (Section *Vernix*). Most of species of this section in SE Asia and two ones in USA, Central America and northern part of South America are distributed.

Now *R. catarica* is known in Early Sarmatian Floras of Ukrainian SSR, RSFSR and Abkhazian ASSR. These findings indicate that southern regions of the European territory of the USSR and Caucasus were intermediate links in Late Miocene between American and Asiatic parts of the range of *Vernix* Section.

A list of localities of *R. catarica* in the USSR and short characteristics of anatomical structure of *Anacardioxylon cataricum* Shilkina are given.

## ФИЗИОЛОГИЯ

А. К. МУСАЕВА, С. А. КОЖЕВНИКОВА

## ИНТЕРОЦЕПТИВНЫЕ ВЛИЯНИЯ С ЖЕЛУДКА НА СЕКРЕЦИЮ ГАСТРОМУКОПРОТЕИНА

(Представлено академиком АН Азербайджанской ССР З. М. Мамедовым)

Из работ Касла известно, что нормализация эритропоэза может быть достигнута, если искусственно восстанавливается взаимодействие внешнего фактора (из белков пищи) с внутренним (из желудочного сока), секрецируемым железами желудка. Взаимодействие внешнего и внутреннего факторов дает гемопоэтическое вещество, которое всасывается тонким кишечником и откладывается в печени, откуда по кровотоку достигает костный мозг.

Учение Касла в настоящее время претерпело известную эволюцию. Внешний фактор оказался витамином  $B_{12}$ . Поиски же активного начала внутреннего фактора привели к открытию Глассом и его сотрудниками гастромукопротеина, одновременное введение которого вместе с витамином  $B_{12}$  внутрь давало гемопоэтический эффект у больных пернициозной анемией. Гастромукопротеин обнаружил большое сходство с внутренним фактором Касла в физическом и физиологическом отношении. Исходя из этого положения, было интересно изучить влияние интероцептивных стимуляций на секрецию гастромукопротеина. При изучении этого вопроса мы поставили цель выявить взаимосвязь секреции внутреннего фактора с секрецией соляной кислоты, а также с гемопоэтической активностью исследуемого сока.

Опыты в условиях хронического эксперимента проводились на 5 собаках, имеющих fistulу dia желудка. Исследовалась желудочная секреция натощак при кратковременной интероцептивной стимуляции давления 40 мм рт. ст. в течение 3 мин при продолжительной интероцептивной стимуляции давлением 25–30 мм рт. ст. в течение 2 ч при стимуляции гистамином (1 мл 0,1%-ного раствора) и интероцептивной стимуляции на фоне гистамина. В желудочном соке, полученным при разных условиях воздействия, определяли гастромукопротеин объемным методом Гласа и свободную соляную кислоту. Гемопоэтическая активность испытуемого сока проверялась на кроликах.

Среднее содержание гастромукопротеина в желудочном соке, взятом у подопытных собак натощак, составляло 45 мг% при нейтральной реакции сока (табл. 1). Гемопоэтическая активность сока выражена очень слабо. Изменения морфологического состава в крови кроликов после инъекции испытуемого сока очень незначительны и возможны в пределах физиологического колебания.

В ответ на кратковременную интероцептивную стимуляцию наблюдается значительное усиление выделения гастромукопротеина наряду с увеличением валового количества желудочного сока и процента содержания свободной соляной кислоты.

Как видно из таблиц, желудочный сок собак, полученный при кратковременной стимуляции желудка, обладает высокой гемопоэтической активностью. Введение этого сока кроликам вызывало у них характерные изменения красной крови.

Таблица 1  
Среднее содержание гастромукопротеина в желудочном соке собак

	Порции жел. сока (30')	Кол-во жел. сока	% содержа- ния свобод- ной HCl	Колич. га- стромуко- протеина, мг%	Примечание
1. Натощак	I	7	Нейтральная реакция	45	Жел. сок густой, вяз- кий с примесью слизи
2. При кратковременной инteroцептивной стиму- ляции	I	21,4	0,15	97	Жел. сок с примесью слизи
	II	8,2	0,009	83	
3. При продолжительной инteroцептивной стиму- ляции	I	19	0,25	91	
	II	19	0,22	100	
	III	16	0,27	82	
	IV	17	0,24	61	
	V	46	0,23	69	

Таблица 2  
Среднее содержание гастромукопротеина в желудочном соке собак

	Порции жел. сока (30')	Кол-во жел. сока	% содержа- ния свобод- ной HCl	Колич. га- стромуко- протеина, мг%
1. При введении гистамина	I	45	0,41	11
	II	45	0,42	4
	III	20	0,43	10
	IV	25	0,4	0
2. На фоне гистамина в от- вет на интероцептивную стимуляцию	I	42	0,37	13
	II	33	0,41	29
	III	28	0,33	44
	IV	18	0,36	59
	V	8	—	—

Продолжительное механическое раздражение желудка является фактором, стимулирующим секрецию желудочного сока с достаточно высокой кислотностью. В процессе всего периода раздражения при ча-совом напряжении желудочного сокодержимого отмечается значительное повышение гастромукопротеина. Максимальное увеличение его конституируется в первом часе желудочной секреции. Проверка каждой порции сока на гемопоэтическую активность показала, что любая из них независимо от количества гастромукопротеина оказывает стимулирующий эффект на кроветворение, выражаясь в увеличении количества эритроцитов и ретикулоцитов.

Подкожное введение 1 мл 0,1%-ного раствора гистамина уменьшало количество гастромукопротеина, а через 2 ч с начала секреции обнаружить его в исследуемом соке не удавалось.

Как видно, количество выделенного сока в ответ на введение гистамина животным, значительно возрастает, увеличивается также и процент содержания свободной соляной кислоты. При введение гистаминного сока кроликам отмечается гемоэтический эффект. Последний несколько ниже, чем после введения сока, полученного при интероцептивной стимуляции и выше результатов, полученных при введении кроликам тощакового сока. Интероцептивная стимуляция усиливает гистаминную секрецию гастромукопротеина, постепенно уменьшает количество выделенного сока в получасовых порциях. Изменение гистаминной секреции гастромукопротеина обратно пропорционально изменению количества выделенного сока. Процентное содержание свободной соляной кислоты изменяется незначительно.

Приведенный экспериментальный материал показывает, что наибольшее содержание гастромукопротеина обнаруживается в соке, полученном в ответ на интероцептивную стимуляцию, а наименьшее — в соке, полученном в ответ на введение гистамина.

Н. А. Федоров с сотрудниками (1958), наибольшее содержание гемоэтического фактора обнаружили в соке при даче молока, мяса, молочной сыворотки, при введении же гистамина они установили его наименьшее количество в желудочном содержимом.

По наблюдениям Л. И. Идельсон (1959), у здоровых людей содержание гастромукопротеина после алкогольного завтрака и после ясного бульона заметно не изменялось, тогда как подкожное введение 10 ед. инсулина приводило к повышению уровня его. Исходя из этого, автор делает вывод, что раздражители второй фазы секреции не являются раздражителями желез, выделяющих гастромукопротеин. Инсулин же, действующий на блуждающий нерв и являющийся раздражителем первой фазы секреции, усиливает выделение гастромукопротеина.

Между содержанием гастромукопротеина и уровнем кислотности нет постоянной зависимости; нет также точной корреляции между содержанием гастромукопротеина и эритропоэзом. Наши исследования показали, что эритропоэз может вызвать гистаминный сок, тогда как сок, полученный натощак и содержащий значительное количество гастромукопротеина вызывает незначительное изменение морфологического состава крови кроликов.

Анализ нашего материала показывает также, что зачастую концентрация гастромукопротеина в желудочном соке находится в обратной зависимости от количества выделенного сока. На это указывает также Н. А. Федоров и М. Г. Кахетелидзе (1968).

Таким образом в регуляции секреции гастромукопротеина, содержащего в своем составе внутренний фактор, большая роль принадлежит физиологическому состоянию рецепторов желудка. Наши исследования показали, что секреция гастромукопротеина в основномносит рефлекторный характер.

#### ЛИТЕРАТУРА

1. Идельсон Л. И. Гастромукопротеин и витамин В<sub>12</sub> при язвенной болезни желудка и 12-перстной кишки. Тер. арх., вып. 3, 1959. 2. Федоров Н. А., Кахетелидзе И. Г., Намайтышвили А. М. Роль желудка в кровотворении. Сообщ. Ш., Изменение гемоэтической активности желудочного сока в зависимости от рода раздражения. Совр. пробл. гемопотол. и переливания крови. Медгиз, 1958. 3. George B. Castle W. B. Am. J. med. Sci. 1929, v 178 p. 748.

Институт физиологии

Поступило 9. XI 1970

А. Г. Мусаев, С. А. Кожевникова

Мәдә ресепторларынын гычыгандырылмасынын  
гастромукопротеин секрециясына тә'сири

#### ХУЛАСӘ

Тәлгигат заманы интересептик гычығын гастромукопротеин секрециясына тә'сири вә тәлгиг олунан ширәдә онун хлор түршесүү секрециасы, һәмчинин һемоэтик фәлләглә гарышылыгы әлагәсі' өјрәнилмишdir.

Тәчрүбәләр иәтичәсүндә айдын олмушдур ки, гастромукопротеинин мигдары интересептик гычыгандырмаја гарышы алышан ширәдә чох, гистамин յеридилмәсінә гарышы алышан ширәдә исә аз мушаһидә едилir.

Гастромукопротеинин мигдары илә туршуулуг сәвијжеси арасында даими асылылыг, гастромукопротеинин мигдары илә еритропоэз арасында исә коррелјасија јохдур.

Мәдә ширәсүндә гастромукопротеинин гатылығы харич олунан ширәнин мигдарындан, демәк олар ки, асылы дејилдир.

A. K. Musaeva and S. A. Kogevnikova

The interoceptiv influence of stomach  
on gastrumucoprotein secretion

#### SUMMARY

It is researched, that physiology condition of shomach's reception plays the main part in secrete regulation of gastrumucoprotein. The secretion of gastrumucoprotein has a reflecsogenic character.

СЕЛЕКЦИЯ

А. А. АГАБЕЙЛИ, И. Г. ГУСЕЙНОВ

ОПЫТЫ ПО СКРЕЩИВАНИЮ И УЛУЧШЕНИЮ  
ШИРВАНСКИХ ОВЕЦ С БАРАНАМИ ПОРОДЫ ПРЕКОС

(Представлено академиком АН Азербайджанской ССР И. К. Абдуллаевым)

В экономике народного хозяйства овцеводство имеет огромное значение, поэтому партия и правительство постоянно заботятся о развитии этой отрасли.

Одним из важных эффективных методов повышения продуктивности овец является широкое внедрение достижений передовой науки в области межпородных и межвидовых скрещиваний животных, изучение изменчивости и закономерности желательных признаков в потомстве. Опыты в овцеводстве свидетельствуют о широких возможностях применения в наших колхозах и совхозах межпородного скрещивания. В этих целях в настоящее время в овцеводческих хозяйствах Азербайджанской ССР широко применяется межпородное скрещивание и улучшение на этой основе малопродуктивных овец.

Одним из важных эффективных методов повышения продуктивности овец является широкое внедрение достижений передовой науки в области межпородных и межвидовых скрещиваний животных, изучение изменчивости и закономерности желательных признаков в потомстве. Опыты в овцеводстве свидетельствуют о широких возможностях применения в наших колхозах и совхозах межпородного скрещивания. В этих целях в настоящее время в овцеводческих хозяйствах Азербайджанской ССР широко применяется межпородное скрещивание и улучшение на этой основе малопродуктивных овец.

Одним из важных эффективных методов повышения продуктивности овец является широкое внедрение достижений передовой науки в области межпородных и межвидовых скрещиваний животных, изучение изменчивости и закономерности желательных признаков в потомстве. Опыты в овцеводстве свидетельствуют о широких возможностях применения в наших колхозах и совхозах межпородного скрещивания. В этих целях в настоящее время в овцеводческих хозяйствах Азербайджанской ССР широко применяется межпородное скрещивание и улучшение на этой основе малопродуктивных овец.

Целью работы является: наряду с изучением результатов скрещивания, целенаправленное осуществление племенной селекционной работы и создание высокопродуктивных животных породной группы желательного типа мясо-продуктивного направления.

Исследования, начатые в 1967 г., дали хорошие результаты как по увеличению живого веса и настрига шерсти, так и по улучшению качества шерсти помесей. В 1967 г. средний живой вес овцематок (более 1200) голов) всего стада повысился с 30,3 до 35,4 кг, а средний настриг шерсти на одну голову резко увеличился — 1,6—2,00 кг.

У помесных овцематок с тонкой и полугрубой шерстью средний настриг шерсти с 3,0 кг. в 1965 г. поднялся до 4,2 в 1967 г., а у помесей с полугрубой шерстью с 1,7 до 3,240 кг.

Живой вес у подопытных ширванских взрослых овцематок в среднем составляет  $39,30 \pm 0,61$  кг, и молодых маток—помесей 1-го поколения с прекосом в возрасте 3—4 лет составляет  $39,5 \pm 0,66$  кг, у 1,5

летних ярок соответственно:  $37,2 \pm 0,26$  и  $38,75 \pm 0,3$  кг, а у ярочек — 6—7 месяцев  $27,1 \pm 0,28$  и  $29,75 \pm 0,67$  кг.

Таким образом, по этому признаку помеси имеют преимущество перед ширванскими овцами.

По продуктивности шерсти средний настриг подопытных ширванских овец составляет  $2,150 \pm 0,07$  кг, а овцематок-помесей —  $3,24 \pm 0,10$ . Настриг шерсти ярочек ширванской породы в возрасте 1,5—2 лет составляет  $2,180 \pm 0,07$  кг, а у помесей этого же возраста на много больше —  $2,870 \pm 0,06$ , у ярочек 6—7 месяцев соответственно  $1,029 \pm 0,02$  и  $1,37 \pm 0,04$  кг и паконец, у баранчиков 6—7 месяцев —  $1,062 \pm 0,33$  и у помесей —  $1,275 \pm 0,04$  кг. По этим показателям имеет место промежуточное наследование. Помесные овцы обладают хорошей оброслостью. У помесей ширванских овец с прекосом в первом поколении жировое отложение хвоста сохраняется в различной степени, унаследованное от ширванских овец.

Аналогичные показатели в наших исследованиях получились и в 1968 г. Несмотря на то, что овцы в 1968 г. находились (по сравнению с 1967 г.) не в очень хороших кормовых условиях, помеси проявили перед ширванскими овцами преимущество, а именно: средний живой вес взрослых подопытных ширванских овцематок составил  $38,86 \pm 0,58$  кг, у помесных овцематок 1-го поколения —  $40,0 \pm 0,335$  кг, а помесных маток 2-го поколения в 2-летнем возрасте —  $41,360 \pm 0,380$ , ярок ширванских овец в полуторогодовалом возрасте —  $35,760 \pm 0,602$  кг, у помесных ярок того же возраста 1-го поколения —  $38,760 \pm 0,870$  кг во 2-ом поколении помеси полуторогодовалого возраста имели вес  $39,760 \pm 0,350$ . Ярочки ширванских овец в 6—7-месячном возрасте весили  $25,33 \pm 0,521$  кг, а ярочки того же возраста 1-го поколения —  $28,366 \pm 0,350$ , бараны полуторогодовалого возраста ширванских овец весили  $32,533 \pm 0,479$  кг, а помеси того же возраста 1-го поколения —  $38,5 \pm 0,130$  кг, 2-го поколения того же возраста  $40,250 \pm 0,513$  кг, баранчики 6—7-месячного возраста ширванских овец весили  $26,9 \pm 0,580$ , а помеси 1-го поколения —  $30,310 \pm 0,30$  кг.

Для установления качественных признаков шерсти ширванских овец и их помесей с прекосом были произведены глубокие лабораторные исследования в ВНИИОК (Ставрополь). Образцы шерсти были взяты в период весенней стрижки овец в 1968 г. от 50 овец с каждой группы. Исследованиям подвергались четыре признака шерсти по методике ВНИИОК: тонина, истинная длина, крепость и жиропот. Тонина шерсти определялась с помощью ланометра. Данные приведены в табл. 1.

Как видно, в результате скрещивания ширванской грубошерстной овцы с прекосом, резко изменяется качество шерсти в сторону улучшения. Качество шерсти по тонине у ширванских овец колеблется с 36 до 58 единиц, а у помесных овец оно поднимается до 58—64, что подтверждает эффективность скрещивания местных овец.

Истинная длина (табл. 2) также имеет значительное улучшение во всех сочетаниях. У ширванских ярок полуторогодовалого возраста и овцематок истинная длина волокна удлиняется на 108,9 и 128%, а у помесей соответственно — 109,1—140%.

Исследование шерсти на крепость определялось с помощью динамометра, а анализы на жиропот и содержимость минеральных примесей проводились по методике ВНИИОК. Результаты анализов даны в табл. 2.

Результаты исследования тонины и истинной длины шерсти

Таблица 1

Группа овец	Тонина				Истинная длина		
	n	M±t	±σ	качество	n	M±t	% уллинности
Овцематки Ширван	200	35,4±1,05	15	36—58	200	11,92±0,15	128
Помеси F <sub>1</sub>	200	28,3±0,64	9,09	54	200	13,20±0,15	140
F <sub>2</sub>	200	24,9±0,57	8,16	58	200	9,99±0,09	112
Бараны полуторогодовалые F <sub>1</sub>	200	24,8±0,69	9,7	54	200	9,75±0,27	100,2
F <sub>2</sub>	200	23,08±0,45	6,4	60—64	200	10,20±0,11	130,0
Ярки Ширван	200	32,2±0,8	11,4	52	200	13,07±0,14	108,9
F <sub>1</sub>	200	30,27±0,70	10,02	52	200	11,64±0,10	109,1
F <sub>2</sub>	200	26,64±0,66	9,44	56	200	10,88±0,07	113,0

Таблица 2

Крепость и содержание жиропота в шерсти

Группа Овец	Крепость		Жиропот и минеральные примеси при смеси	
	n	средняя, разрыв, км	% жиропота	% минеральных примесей
Овцематки Ширван	25	1,109	8,35	29,36
Помеси F <sub>1</sub>	40	1,002	15,81	41,76
F <sub>2</sub>	20	0,893	6,92	32,70
Бараны 1,5 лет F <sub>1</sub>	10	0,886	20,65	45,94
F <sub>2</sub>	10	0,976	14,32	35,92
Ярки Ширван	10	1,073	3,66	30,21
F <sub>1</sub>	15	1,105	8,86	32,40
F <sub>2</sub>	10	1,020	8,70	28,26

Крепость шерстинок нарушается по различным причинам. Определение крепости в наших исследованиях, как видно из табл. 2, не имеет большого расхождения между группами с разной кровью, но все же в определенной степени они отличаются друг от друга.

Шерстинки у помесных маток и ярок 1-го поколения оказались более крепкими.

В табл. 2 характеризуется процент соотношения содержания жиропота и минеральных примесей в шерсти. У ширванских овцематок и ярок полуторогодовалого возраста процент жиропота и минеральных примесей сравнительно меньше, чем у помесей. Более умеренное процентное содержание жиропота и минеральных примесей имели помеси 2-го поколения.

На основании наших исследований можно сделать следующие выводы. Помесные животные 1—2-го поколений как взрослые овцематки, так и молодняк разных возрастов обладают преимуществом по развитию живого веса, настригу шерсти, тонине шерстного волокна. Помеси имеют сравнительно более тонкую шерсть, чем ширванские овцы. Качество шерсти у помесных овец варьирует в пределах 56—58—60—64. Наши опыты, проводимые в Кобыстанском овцеводческом совхозе по скрещиванию и разведению помесей 1—2-го поколений, получаемых от скрещивания местных грубошерстных ширванских овец с баранами породы прекос, убеждают нас в перспективности их создания скороспелого мясо-шерстного овцеводства в хозяйствах Ашшерона.

Институт генетики и селекции

А. Агабэйли, И. Г. Гусейнов

Ширван гоюнларынын чинс  
Прекос төрәдичиләри илә чарпазлашдырылмасындан  
алына мәләзләрни мәһсүлдарлыг ирсијјәти

#### ХУЛАСӘ

Абшерон районунун „Гобустан“ гоюнчулуг совхозунда габа јуилу Ширван гоюнларынын этли-јунлу прекос чинс төрәдичиләри илә чарпазлашдырылмасы иэтничесинде дири чәкили вә артыг јун мәһсүлу верән јарымзәриф вә јарымгаба јуилу мәләз һејванилар алынышдыр.

Биринчи нәсил 6—7 аялыг мәләз төглинуни дири чәкиси һәмми јашдакы Ширван төглүсүндән 4 вә јун чыхары 0,370 кг, бир јашлы еркәк төгли мұнасаби јашда Ширван төглүсүндән 2,2, бир јаш јарымлыг еркәјин исә дири чәкиси 6,9 јун чыхары исә 1,1 кг артыг-дыр, јашлы һејваниларда һәмми рәгемләр биринчи нәсил мәләзләрни һесабына 1,2 вә 0,650 кг артыг олмушшур.

Иккинчи нәсил мәләзләрни дири чәкиләри вә јун мәһсүлдарлығы биринчи нәслә нисбәтән ана гоюнларда чохдур, дири чәкиләри исә Ширван гоюнларына нисбәтән 2,5 вә јун чыхарлары исә 1,0 кг артыг-дыр.

Назырда мәләзләрдән бир нечә ихтисаслашдырылмыш гоюн сүрүләри тәшкил олунмушшур.

Мәләзләрни Ширван гоюнларына нисбәтән дири чәки вә јун мәһсүлдарлығынын чохлукундан башга, јунунун кејфијјәти дә ә'ладыр, әкәр ана Ширван гоюнун јун кејфијјәти 36—58-дирсә, биринчи нәсил ана мәләз гоюнунку 54, иккинчи нәслинки 58, бир јаш јары млыг мәләз еркәкләрники исә 60—64-дүр.

A. A. Agabéili ana I. G. Guseinov

The experiments on the crossing and improvement  
of the shirwan sheep with ram's race prekos

#### SUMMARY

The investigations in the State farm „Kobistan“ showed of the good findings of crossing of the Shirwan sheep with rams race Prekos. By the cross-breeds of the 11 generations—the live weight at the age 3—4 years form  $39,5 \pm 0,66$  kgr. by the 1,5 years— $38,75 \pm 0,3$  kgr. and by 6—7 months— $29,75 \pm 0,07$  kgr. The wool clip average of the ewes— $3,24 \pm 0,10$  kgr. The wool raised on the quantity with 36—58 by the Shirwan sheep till 58—64 by the cross-breeds.

## МЕЛИОРАЦИЯ ПОЧВ

К. З. АЗИЗОВ

ВЛИЯНИЕ ВРЕМЕННЫХ ОРОСИТЕЛЬНЫХ КАНАЛОВ  
НА ОПРЕСНЕНИЕ ПОЧВ

(Представлено академиком АН Азербайджанской ССР В. Р. Волобуевым)

В 1946 г. на территории Сальянской степи началось строительство ирригационно-мелиоративных сооружений. К настоящему времени построено больше 1200 км коллекторов и дрен, а также новая оросительная система, отвечающая современным инженерно-техническим требованиям, спланирована и промыта большая площадь орошаемых земель. После осуществления этих мелиоративных мероприятий в Сальянской степи произошли большие сдвиги в опреснении земель колхозов.

Однако необходимо отметить, что до сего времени имеется много недостатков в деле освоения и использования мелиорируемых засоленных земель. Одним из этих недостатков является неравномерное опреснение почво-грунтов в период промывки и после промывного периода (период освоения).

В процессе полевых работ наши наблюдения опреснение земель в зоне временных оросительных каналов.

Для выяснения причин влияния временных оросительных каналов на опреснение почв нами проведены опытные работы на, примере колхоза им. Азизбекова Сальянского района.

О влиянии оросительных каналов на опреснение грунтовых вод и почв говорилось в работах А. Г. Мэрзова (1932), В. С. Муратовой (1962), Бибарсовой А. Ш. (1965), В. И. Черепанова (1931).

Объектами исследования этих авторов были более крупные оросительные каналы. В наших исследованиях изучена роль временных оросительных каналов на опреснение почв.

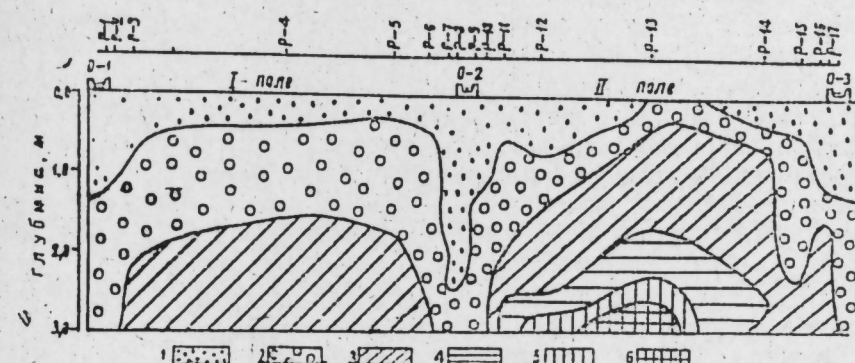
Микрорельеф участка довольно хорошо выражен: ясно обнаруживаются отдельные микроповышения и понижения, разница в абсолютных отметках доходит до 20–30 см. Общие направления уклона местности совпадают с направлениями дрен и равны в среднем 0,0003–0,0004.

На опытном участке имеется одна собирательная (глубиной 3,5 м) и две первичные дрены (глубиной 3,0 м) открытой горизонтальной конструкции. На территории участка расположены три временных оросительных канала.

В целях изучения дальности действия временных оросителей на опреснение почво-грунтов нами заложен профиль наблюдательных точек, начиная от временного оросителя 0–1 до 0–3. Данный профиль охватывает два поля (I и II).

Поле I занимает площадь между временным оросителем 0–1 и 0–2, который проходит по центральной части опытного участка.

Поле II занимает вторую половину опытного участка. Протяженность профиля составляет 400 м, т. е., равна междуренному расстоянию. На этом профиле заложено 17 разрезов глубиной 3,0 м (8 разрезов на I поле и девять разрезов на II поле). Расстояния между разрезами определялись таким образом: вблизи оросительных каналов разрезы закладывались более часто с расстояниями от канала в 5, 10, 20 и 40 м. В отдалении от канала 100 м, т. е. в середине каждого поля заложено по одному разрезу.



Засоленность почв по профилю: 1—<0,2%; 2—0,2–0,4; 3—0,4–0,6; 4—0,6–0,8; 5—0,8–1,0; 6—>1,0%; 0—1, 0,2 и 0,3—временные оросительные каналы.

Результаты наших наблюдений показали (см. рисунок), что относительно высокая засоленность почво-грунтов наблюдается в центральной части каждого поля, т. е. в 10 м от временных оросителей (разрез 4, 13).

В разрезе 4 средние засоления по плотному остатку в толще 0–300 см составляют 0,423% в 1967 г. и 0,393% в 1963 г., а в разрезе 11 соответственно 0,763 и 704%.

Относительно низкое засоление почво-грунтов наблюдается на расстоянии 5, 10 и 20 м от оси временного оросительного канала (разрезы 1, 2, 3, 6, 7, 8, 9, 10, 11, 15, 16, 17). В этих разрезах среднее засоление почво-грунтов в толще 0–300 см колеблется в пределах 0,216–0,401% в 1967 г. и 0,168–0,356% по плотному остатку в 1968 г.

Промежуточное положение занимают по засолению почво-грунты в разрезах, расположенных на расстоянии 40 м от оси временного оросительного канала (разрезы 5, 12, 14), где засоленность толщи 0–300 см колеблется в пределах 0,35–0,61% по плотному остатку в 1967 г. и 0,295–0,550% в 1968 г.

Результаты повторных съемок показывают, что на опытном участке происходит постепенное уменьшение запаса солей всего трехметрового слоя. В течение года (IV. 1967 г.–IV. 1963 г.) в указанных разрезах рассоление почво-грунтов в процентном выражении составило 5,67–22,7.

Кроме этого, нами заложено еще 12 разрезов вдоль оросительных каналов на расстоянии 10—15 м. Результаты анализов показали, что содержание солей на расстоянии 10—15 м от оси временного оросителя в толще 0—300 см колебалось от 0,190 до 0,439 по плотному остатку в 1967 г. и 0,112—0,383% — в 1968 г.

В процессе исследования выяснилось, что в разрезах, расположенных вдоль временного оросителя, который проходит по центральной части опытного участка, опреснение почво-грунтов идет интенсивнее, чем под влиянием временных оросителей, которые проходят по краям.

Засоление почво-грунтов центральной части участка не превышало 0,335% по плотному остатку в 1967 г. и 0,300% в 1968 г.

Таким образом, вышеизложенное дает основание считать, что почво-грунты в зоне временных оросителей, безусловно, опресняются. Ширина опресняемой полосы занимает 40 м в обе стороны от канала. Такое заключение не является окончательным в разрешении спора о пользе или вреде фильтрации каналов вообще.

Результаты наших исследований позволяют рассматривать этот вопрос в зависимости от периода действия временных оросителей, которые (при наличии дрен) в период вегетационных поливов, благодаря перемещению пресных фильтрационных вод через толщу засоленной почвы, выполняют ту же роль, что и промывки. В данном случае, потеря воды из оросителей является кратковременной и небесолезной.

Оросительные каналы являются одной из основных частей современной инженерной оросительной системы.

В условиях Мугано-Сальянского массива временные оросительные каналы играют двоякую роль. Они используются для обеспечения сельскохозяйственных культур водой, в то же время фильтрационные воды из временных каналов играют большую роль в опреснении почво-грунтов.

По нашему мнению, после капитальных промывок (в период эксплуатации земельных участков) и для более глубокого опреснения и окончательного предотвращения вторичного засоления посевных площадей целесообразно через каждые два года перемещать трассу временных оросителей на 40—50 м.

В период использования участка под сельхозкультуры, высевающие без применения квадратно-гнездового способа, можно допустить загущение временных оросителей.

Таким путем в короткий срок (4—5 лет) можно достичь рассоления не только корнеобитаемого слоя, но и нижележащих слоев.

Проведение такой работы в сочетании со средней планировкой земель, несомненно, даст большой эффект.

#### ЛИТЕРАТУРА

1. Бибарсова А. Ш. Влияние оросительных каналов на опреснение грунтовых вод и почв. Рукописный фонд Ин-та почвовед. и агрохим., Баку, 1965.
2. Морозов А. Т. Дренаж в орошаемых районах как регулятор волнно-солевого режима. Кн. «Мелиорация почв Кура-Араксинской низменности». Изд. АН СССР, 1962.
3. Муратова В. С. Перемещение солей при орошении почв Мильской степи. Кн. «Мелиорация почв Кура-Араксинской низменности». Изд. АН СССР. 1962.
4. Черепанов В. И. К вопросу о прямом влиянии оросительных каналов на культуру хлопчатника в условиях муганской степи. Изд. Наркомзема, АССР. Баку, 1931.

Институт почвоведения и агрохимии

Г. З. Эзизов

#### Торпагларының дүзсузлаштырылмасына мүвәггәти суварма каналларының тә'сири

#### ХУЛАСЭ

Торпагларының мүвәггәти суварма каналларының тә'сири илә дүзсузлаштырылмасыны өјрәнмәк мәгсәдилә онлардан мұхтәлиф мәсафәләрде (5,10, 20, 40 және 100 м) мүшәнидә негізделері профили ғојулмушдур.

Тәчрүбә нәтижесинде айдынлаштырылмышдырылғанда, дөргудан да, мүвәггәти суварма каналларының тә'сири илә торпаглар һәм жана вә һәм дә дәренинә дүзсузлашыр. Дүзсузлашан золағын ени 40,0 м-э гәлдердір. Мүвәггәти суварма каналларының бу габилиттіндән истифада едәрек һәр наисы бир саңәни дүзлардан азад етмәк мүмкүндүр. Бунун үчүн мүвәггәти суварма каналларының жерини һәр 2—3, илдән бир 40—50 м дәжишдирмәк лазымдыр. Экәр саңә гејри квадрат-јұва үсүлу илә әкілән битки алғындырыса, мүвәггәти каналларының саңыны артырмагла гыса мүддәт (4—5 ил) әрзинде һәр наисы саңәни тамамилә жараплы һала салмаг олар.

C. Z. Azizov

#### The influence of irrigation canals on freshening of soils

#### SUMMARY

The profile of observation points was set on different distances (15, 10, 20, 40 and 100 m) from the axis of canal in order to study influence of temporary irrigation canals on freshening of soils. The soil-grounds in area of action of temporary irrigations are freshened on the distance of 40 m. from both sides of the canal. This can be used for the freshening of the soil-ground; in connection with that it is necessary to transfer the trace of temporary irrigation canals to the distance of 40—50 m. every 2 years.

УДК 616. 986.7 - 036.2]

ЕПИДЕМИОЛОГИЯ

Т. Э. ТАГЫ-ЗАДЭ, Э. МЭРДАНЛЫ, С. С. ЭФЭНДИЕВ

**АЗЭРБАЙЧАН-ССР ШЭРАИТИНДЭ ЛЕПТОСПИРЛЭРИН  
ХАРИЧИ МҮҮНДТЭ ЖАШАМА МҮДДЭТИНИН ӨЈРЭНИЛМЭСИ**

(*Азэрбајҹан ССР ЕА академики М. Гәнијев тээдийн етмишидир*)

Мэ'лум олдуғу үзрэ, лептоспироз хәстәлигинин јаылмсында харичи мүүнитин мүәјжән ролу варды. Буна бахмајараг, лептоспирләри харичи мүүнитдэ јашама мәсәләсі һәләлик әтрафлы өјрәнилмәмишdir. 1966-1968-чи илләрдә Нәриманов адына Тибб Институтунун Епидемиология кафе ғрасынын әмәкдашлары (Т. Э. Тагы-задә, С. С. Эфэндиев, Э. Мәрданлы) лептоспирләрин Абшерон йарымадасы чимәрликләринин сујунда јашама мүлләтини өјрәнәрәк мәјжән етмишиләр ки, Шых чимәрлиji сујунда лептоспирләр 15-31, Бузовна чимәрлиji сујунда исә 10-13 күн јашајыр вә б/ мүддәт әрзинде онлар өз пато-кенлиқ ҳүсусијәтләrin итирмир.

Беләлниклә айдын олур ки, дәнис сују тәркибиндә дүзларын мигдарынын сох олмасын бахмајараг, лептоспирләр мүәјжән мүддәт лири гала биләр.

Айдыналаштырытмышдыр ки, лептоспирләрин дәнис сујуна мүәјжән мүддәт јашамында оради тәсадүф едилән сапрофит-антагонист микроблар да сәбәб олур.

Мүәллифләр лептоспирләрин Бакы су кәмәри вә јағыш, гар сујунда. инсан силиндә вә инсан сидижи илә чиркләнимиш ичилән суди. Јашама мүддәтини өјрәнилмәснин нәтижәләри һаггында мэ'лумат верирләр.

Тәчрүбәни апармаг учүн стегил сынағ борусуна 10 мл. јухарыда гејд едилән сулар төкүлмүшдүр.

Башга бир тәчрүбәдә исә стегил сынағ борусуна төкүлмүш 10 мл. Бакы су кәмәри сују үзәрине 15 дамчы инсан сидижи әлавә едилмишdir. Бүтүн сынағ боруларына ejni һәчм вә мигдарда лептоспирләрин күлтүрасы төкүлмүшдүр. Контрол олараг Уленинүт гидасында әкилмиш лептоспирләр көтүрүлмүшдүр. Бүтүн сынағ болулары отаг температуралы ( $+2+6^{\circ}\text{C}$ ) җаһланылмышдыр. Тәчрүбә гојулмаздан әввәл көтүрүлмүш мәһлүлларын кимәвии тәркиби өјрәнилмешdir. Ежى заманда тәчрүбәдән габаг вә соңра истифадә әдилән су вә сидижи рН-ы калориметрик үсуулла тә'жин өдилмишdir (1-чи чәдвәл).

1-чи чәдвәлдән айдын олур ки, тәчрүбәдә көтүрүлән мәһлүлларын рН-ы иш мүддәтини тәхминен 0,2 гәдәр дәнишир.

Јухарыда гејд едилән тәчрүбәләрин һәр бири 3-5 дәфә тәкrap

едилмиш вә нәтижәдә орта һесабла әдәд үзүүлүшүшдүр. Бу тәчрүбәләр 3 лептоспир штамы илә апарылмышдыр (*Mus musculus* 340, *Vasu* 283, *Apodem sylv.* 87).

Илк үйнләр һәр саатда бир, 3 чу қүндән етибараң исә қүндә бир дафә сынағ борусундакы јолук рулмуш мәһлүллар шипетлә гарышырылараг, ондан мүәјжән мигдар көтүрүлүб микроскопла мүајинә өдилмишdir. Бу заман онларын һәрәкәттә, формасына фикир верилмишdir.

Ежى заманда көтүрүлән мәһлүлүн бир үиссеси Уленинүт гидасына әкилмишdir. Гидалы мүһиттә лептоспирләр битлекдән соңра онларын морфологи, серологи вә биологи ҳүсусијәтләри өјрәнилмешdir (2-чи чәднәл).

2-чи чәдвәлдән айдын олур ки, тәчрүбәдә истифадә едилән суларда вә сидикдә лептоспир штамларыннан јашама мүддәти мүхтәлифdir. Мәсәлән, Бакы су кәмәри сујунда мүхтәлиф лептоспир штамлары 24-30 күн галдыры һалда, гар сујунда 42, јағыш сујунда исә 16-29 күн јашајыр. Лакин инсан сидижи 10-15, инсан сидижи илә чиркләнимиш суда исә 45-50 күн дира галыр.

1-чи чәдвәл

**Тәчрүбә зәмнине истифадә өдилән мәһлүлларын  
рН дәнишмәсі**

Сыра №-си	Истифадә өдилән мәһлүлларыннан айдын	рН-ын тә'жини	
		тәчрүбәдән габаг	тәчрүбәдән сидижа
1	Бакы су кәмәри сују	7,0	7,1
2	Јағыш сују	6,8	7
3	Гар сују	5,5	6
4	Инсан сидижи	5,8	7,0

2-чи чәдвәл

**Мүхтәлиф суларда вә сидикдә лептоспирләрин јашама мүддәти (күнләрлә)**

Сыра №-си	Тәчрүбәдән истифадә өдилән лептоспир штамлары	Мүхтәлиф суларда вә сидикдә лептоспирләрин јашама мүддәтини тә'жини (орга һесабла әдәлләрдә)				
		Бакы су кәмәри сују	Јуғыш сују	Гар сују	Инсан сидижи	Бакы су кәмәри сују + 15 мәннен инсан сидижи
1	<i>Mus musculus</i> 340	32-38	16-25	42	10-15	45-50
2	<i>Vasu</i> 283	30-36	16-29	42	12	45-50
3	<i>Apodem sylv.</i> 87	30-34	16-23	42	11	45-50

Бүтүн буилар көстәрир ки, хәстә инсан ифразаты илә чиркләнимиш Бакы су кәмәри вә јағыш, гар сујунда лептоспирләр мүхтәлиф мүддәт јашаја билир вә өз патокенилишин мүһафизә едир.

Әдәбијатда лептоспирләрин сојуға гаршы յүксәк давамлыға малик олдуғу көстәрилir. Белә ки, онлар узун мүддәт дондурулудугда беләттәләф олмур, јенидән әлверишли шәрайтә дүшүндүкдә чанланыр вә һәјат фәалијәтләрини давам етдирир.

Бу тәчрүбә заманы да сүбүт олунмушшdu. Тәчрүбәләр отагда +2+6°C-дә апарылмасына бахмајараг, лептоспирләр мүхтәлиф суларда артыб иикишаф едәрәк чохалмышды. Лакин бу, В. И. Терских вә



Бу мә'луматын биринчи һиссәси Низами Әрүзинни (XII əsr)<sup>7</sup>, икinci-  
чи һиссәси Шәмсәддин Шәһрәуринни (...—1250)<sup>8</sup> əсәрләриндә өз әкси-  
ни тапмыйшдыр. Зәнирәддин Бејіғијә истинад едән Мәһмәмәт Багир  
Хансаријә (1811—1895) кәлдиклә, о, философун өлүм тарихини 458-чи  
ил сөйләмәклә Іанаши, Іанлыш олараг, бу вахт Ибн Синанын вәфатыны-  
дан өтүз ил авазына отүз бир ил кечдијини иддия едир<sup>9</sup>.

Проф. Э. К. Зәкуевин „Бәймәнјарың фәлсәфи көрүшләри“ адлы тәдгигат әсәринде мұтәфәккириң һәјат вә Іарадычылығы иисбәтән әтрафынышылдырылышты. Бу китабын 11-чи сәниғасинидә Бәймәнјарың өз мүәллими Ибн Синадан 30 ил соңра, Іә'ни 1066-чи илдә вәфат етди. Қестәрилдиң һалда, 8 вә 68-чи сәниғәләриндә 1065-чи ил верилир<sup>10</sup>. Мұтәфәккириң өлүм тарихи „Фәлсәфә енсиклопедијасы“<sup>11</sup>да, Ш. Ф. Мәммәдовун „Азәрбајҹанда фәлсәфи фикрин инкишафы“<sup>12</sup> әсәриндә, „ССРИ-дә фәлсәфә тарихи“<sup>13</sup> вә с. Әдәбијаттарда 1065 чи ил, „Азәрбајҹан фәлсәфәсинин тарихинә дайр очерк-ләр“<sup>14</sup> исә 1067-чи<sup>15</sup> ил қестәрилмешdir.

احمد ابن عمر بن علی نظامی عروضی سمرقندی، چهار مقاله، تهران ۱۹۵۷، ص ۴۴۴

**٨ آزىز بايچان философу Шиһабеддин Іәһія Сүйрәвәрдинин шакирди. Шәмәэлдин مەھىممەد شәһىرзуринин. Нүзіят әл-әрваһ вә ревзәт әл-әфраһ** — **الراوح** (روضۃ الافراح) — **روضۃ الافراح**. -Руһлар әjlәнчеси вә севиначләр багчасы) әсәри 1011/1602—1603-чү illәдә Magсуд Эли Тәбризи тәрәғүндән әрәб дилиндән фарсчаја тәрчүмә едилмишdir. Бәһмәнијәр һаггындакы хәбәр һәминн тәрчүмәсин Дашкәнд Университетинде сахланылалы. **تاریخ حکماء سلف** — **— تاریخ حکماء سلف** (Кечмиши философларны тарихи) адлы әл-іязмасыны 202—203-чү сәhїфәләриниң кәтүрүлмүшлүр.

محمد باقر الخوانساري، روضات الجنات فى احوال العلماء والسداد،<sup>٩</sup>  
ج ١، طهران ١٣٥٧، ص ١٤٠<sup>١٠</sup>

ишаатылышып ки, бу да Иби Синаја ишаретири. Мұғаллиф Әбул Аббас Ләвкәрини философиян иккүчі мүәллімі несаб едір. Һалбаки мәшіүр шашында мәнитигчы Әбул Аббас Ләвкәри Бәһмәніярын мүәллімі юх, шакирди олмушилур.

ظهيرالدین البیهقی، تتمة ضوان الحکمة، ص ۸۰؛ فیرست کتابخانه: امدادی اقای سید مشکوٰ، کتابخانه دانشگاه تهران، ج ۳؛ تهران ۱۳۳۱، ص ۱۶۲؛ سعید نفیسی، تاریخ نظم و نثر در ایران و در زبان فارسی،

ج ۱، تهران ۱۴۲۵، ص ۱۰

<sup>10</sup> Э. К. Зәкүйе в. Көстәрмәлән эсәри, с. 8, 11, 68; Н. Н. һүсәнинов вә А. О. Мәковелски тарихи көстәрмәдә оны XI ғасыр аният етмишләр.

<sup>12</sup> Ш. Ф. Мамедов. Развитие философской мысли в Азербайджане. М., 1965, сэн. 30.

<sup>13</sup> История философии в СССР, М., 1988, с. 129.

<sup>11</sup> Очерки по истории азербайджанской философии, т. I. Бакы, сəh. 70.

Исламдын тарихинин, яш иш 1067-чи илин үстүнө миллати несабы: илэ 30. ил көлдүкдө белэ ола биләр. Лакин орта эср тәэкирәчиләр, элбеттә, отузынчыри илини иззәрдө тутмушлар. „Ислам енисклиопедијасы“нын инкизитиве изашрийләрдө сәйнәвн 458/1067-чи ил верилмишидир. Мәгәләзинин мүэллифи Ф. Рәхманый. Бах: The encyclopaedia of Islam, I, London, 1960, p. 926. „Ислам енисклиопедијасы“нын францызыча чапында һәммий мүэллифини елни мәзмунтуу мәгәләсендә исә 458/1066-чи ил азылмышдыр.

Алман шәргүнасы Карл Броккелман Бәһмәнјарын өлүм тарихини 430/1038-чи илә салыр<sup>16</sup>. Иран алими Мәһәммәд Гәзвини бу сәһви онуна изаһ едир ки, Шәмсәддин Мәһәммәд Шәһрзурى Бәһмәнјарын Иби Синадан 3-иң сонра өлдүйүнү хәбәр вермиш, К. Броккелман исә һәмни тарихи 430-чу Ыичри или күмән етмишdir<sup>17</sup>. К. Броккелмана әс-Ісланан бә'зи мүәллифләрә қалликдә, онлар Бәһмәнјарын Іярадышылығынын 430/1038-чи илләр этрәфында олдуғуну (Jaхуд чичәк-ләнидијини) язырлар.<sup>18</sup>

Беләликлә, Бәһмәнјарын вәфаты ајры-ајры мүәллифләр тәрәфниңдән каһ 1038, каһ 1065, каһ 1066, каһ да 1067-чи илә иснал верилди.

Филосоғын өлүм тарихини дүрүстләштирмәк үчүн һәр шеңдән әв-  
вәл илк мәнбәләрә мұрағиэт етмәк лазыымдыр. Көстәрилән 458-чи  
гәмәри-һичри илини миладијә чезирдикдә бириңчи айдан (мәһәррәм-  
дән) бішга галан айлар 1066-чы илә дүшүр. Бәһмән Іарын өлүм та-  
рихи Ибн Синанын вәфатындан отуз ил кечмиш, јәни 458-чи илдә  
рамазан<sup>19</sup> (ијул-август) аյы әтgraғындақы мүддәт гәбул едилдикдә,  
бы Азәрбајҹан мұтәффеккириккін 1063-чы илин орталарында өлдүјүнү  
сөјләмәк олар.

Фәлсәфә өз һүгүг Институту

Алынмышыр 13. V 1969

З. Дж. Мамедов

### Уточнение даты смерти Бахманияра

PE3IOME

Жизнь и творчество известного философа средневекового Востока Бахманяра и до настоящего времени является объектом изучения как советских, так и зарубежных исследователей.

В освещении философского наследия, а также ряда моментов биографии Бахманяра в научной литературе существуют определенные противоречия и неточности.

Представленная статья посвящена уточнению даты смерти философа. Из обзора современной литературы о Бахманире, видно, что смерть этого крупного философа Азербайджана датируется 1038 (К. Броккельман и др.), 1065 (Ш. Мамедов и многие другие советские исследователи), 1066 (некоторые современные авторы) 1067 г. («Очерки по истории азербайджанской философии», англ. изд. «Энциклопедия ислама», и др.).

Опираясь на Захираддина Бейхаги (1105—1169) — первый источник сведений о Бахманире, Низами Арузи (XII в.), и другие достоверные источники, автор приходит к выводу, что Бахманир умер в середине 1066 г.

<sup>16</sup> C. Brockelmann, GAL, I, p. 590; GALSB. I, p. 828.

<sup>۱۷</sup> ابن ضعیف محمد قزوینی، سعی و امتهام و تصحیح به چهار مقاله، ندلن ۱۹۲۰، ص ۸۲.

18. Islam ansiklopedisi, 16. cüz, İstanbul, 1943, s. 451;

يوسف البيان سركيس؛ معجم المطبوعات العربية  
والمعربية، مصر ١٩٢٨، ص ٥٩٨؛ فردينان توتل، المنجد في الأدب والعلوم،  
بيروت ١٩٦٥، ج ٤، ص ٨٧.

<sup>19</sup> Иби Сина 428-чи илии рамазан айында вэфат етмишлир.

ابن خلkan، وفيات الاعبان ج ١، مصر ١٢٧٥، ص ٢٦

## The determination of date bahmanyares death

## SUMMARY

The life and creation of well-known philosopher of Middle Age East Bahmanyar is object studing both soviet and forien investigation till our times.

In elucidating philosophical heritage and also some moments Bahmanyar's biography in the scientific literature exists definit contradiction and inexatittude.

The given article is dedicated to the determination of date Bahmanyar's death. From the review of modern literature about Bahmanyar seems that the death of well-known Azerbaijan philosopher dated 1038 (C. Brockelmann and ets), 1065 (Sh. Mamedov), 1066 (some moderneast auther), 1067 (The Encyclopaedia of Islam, volume I, London Luzac a. Co, 1960; at ets).

Supporting Zahiraddin Baihagi (1105—1169) the first information source about Bahmanyar, Nizami Aruzi and other trustworth, auther come to the result that Bahmanyar died in the middle of 1066 year.

## МУНДЭРИЧАТ

## Ријазијјат

М. К. Гасымов. Систем функцијаларын тәкрап тамлығы нағында . . . . .	3
Р. А. Бајрамов. Соңлу чохлугларда верилмиш чохаргументли функциялар синифләри нағында . . . . .	6

## Физика

Ж. Г. Крутеніјук, М. Э. Талибі. Оксикен вә онун азалогларының (S, Te) селен дүзләндирічи елементләрнің ролу . . . . .	10
-----------------------------------------------------------------------------------------------------------------------	----

## Үзви кимја

С. И. Садыхзадә, М. Э. Мәрданов, Р. А. Султанов, З. Б. Султанов. Битсниклик спиртләрнің үчфлорлубарефири иштиракында епихлоридриннә реаксијасы . . . . .	15
----------------------------------------------------------------------------------------------------------------------------------------------------------	----

Ә. М. Гулиев, Ә. К. Қазымзадә, Г. З. Һусеинов. 2,5-диметилтиофенол әсасында тәркибинде азот олан маддәләрнің синтези . . . . .	20
--------------------------------------------------------------------------------------------------------------------------------	----

Е. Т. Сүлејманова, М. Р. Мусаев, С. Ч. Мендиев, Л. И. Гасымов, М. И. Мирхәсәнова. Һидроароматик алденидләрнің мезитил оксиди илә конденсләшмәсі нағында . . . . .	26
-------------------------------------------------------------------------------------------------------------------------------------------------------------------	----

## Нефт қеолокијасы

Ә. Э. Жагубов, Ф. Э. Матаинов, Ж. Э. Һачыев. Элэт тирәси палычы вулканларының һидрокимјәви характеристикасы . . . . .	31
-----------------------------------------------------------------------------------------------------------------------	----

## Стратиграфија

Л. Ч. Мәммәдова. Шымал-Шәрги Азәрбајҹан Миссен чөкүнүләринин стратиграфијасы нағында . . . . .	37
------------------------------------------------------------------------------------------------	----

## Кеолокија

Г. Э. Элизадә, Е. З. Мовлададә. Гәрби Азәрбајҹаның Күр вә Иора (Гавры) чајлары арасы саһесинде јајылмыш алт сармат чөкүнүләрниң даир жени мәлumatлар . . . . .	42
----------------------------------------------------------------------------------------------------------------------------------------------------------------	----

## Мұнандис қеолокијасы

Т. У. Бағыров. Мәсамә мәйлүлларының дүзлүлуг дәрәчәсінин Бакы әрази- синдәкі күл сүхурларының тәркиб вә хассәләринә тә'сири нағында . . . . .	48
-----------------------------------------------------------------------------------------------------------------------------------------------	----

Р. М. Дадашов, Ү. Ш. Мендиев. Сангачал (дәниә), Дуванны (дәниә) вә Булла адасы нефт вә газконденсат јатагларының Мәңсүлдар гат Лај сулары . . . . .	52
-----------------------------------------------------------------------------------------------------------------------------------------------------	----

## Нефт қеолокијасы

Руслан Абдуллаев. Гәрби Азәрбајҹанда Күр чөкәклији илә Қичик Гафгазын гоишу саһесинде Мезозој вә Кајнозој чөкүнүләрі структур мүнасибәтиниң хүсусијәтләри . . . . .	59
---------------------------------------------------------------------------------------------------------------------------------------------------------------------	----

## Кеотектоника

Губа тафросинклиналы вә онун Бөյүк Гафгазын чәнуб-шәрг гуртарачагындақы он чөкәклијинин јарнамасында ролу (Губа—Хәзәрјаны вилајети) . . . . .	65
-----------------------------------------------------------------------------------------------------------------------------------------------	----

## Битки биокимјасы

М. Н. Абуталыбов, Т. Х. Маммадова, Ф. Э. Расулов. Габаг биткиси көкүпүн бөйүмә зоналарында калсiumун чатышмамрэлыгы шәрәнтиндө	72
фосфор мүбадиләсін Р. А. Фетәлиев. Rnuscatagica нөвү ССРИ-нин Сармат флорасында	77

## Физиология

А. Г. Мусаев, С. А. Кожевникова. Мәдә ресепторларының гы- чыгандырылмасының гастромукопротени секрециясына тәсирі	82
----------------------------------------------------------------------------------------------------------------------	----

## Селекция

А. Агаджалиев, И. Н. Ыссеинов. Ширван гојунларының чинс Прекос тө- рәдициләрни ила чарпазлашдырылмасында алынат мәләзләрни мәңсулдарлыг ицрессияттә	86
-----------------------------------------------------------------------------------------------------------------------------------------------------------	----

## Торнагларын мелиорасы

Г. З. Элизов. Торнагларын дүзүзлашдырылмасында мұвәггәти суварма каналларының тәсирі	90
-----------------------------------------------------------------------------------------	----

## Епидемиология

Т. Э. Тагызгадә, Э. Р. Мерданлы, С. С. Эфандиев. Азәрбајҹан ССР шәрәнтиндә лептоспирләрни харичи мүниттә јашама мүддәтинин өјрәнилмәсі	94
-------------------------------------------------------------------------------------------------------------------------------------------	----

## Фәлсәфә

Закир Маммадов. Бәһмәнәрән өлүм тарихинин дүрүстләшдирилмәсі	97
--------------------------------------------------------------	----

## СОДЕРЖАНИЕ

### Математика

М. Г. Гасымов. О кратной полноте системы функций.	3
Р. А. Байрамов. О классах многоместных функций на конечных множествах.	6

### Физика

Е. Г. Крутенюк, М. А. Талиби. Роль кислорода и его аналогов (S, Te) в селеновых выпрямителях.	10
--------------------------------------------------------------------------------------------------	----

### Органическая химия

С. И. Садыхзаде, чл.-корр. М. А. Марданов, Р. А. Султанов, З. Б. Султанова. Взаимодействие бициклических спиртов с эпихлоргидрином в присутствии эфира фтористого бора.	15
-------------------------------------------------------------------------------------------------------------------------------------------------------------------------------	----

Академик А. М. Кулиев, А. К. Кязимзаде, К. З. Гусейнов. Синтез автосодержащих соединений на основе 2,5-диметилтиофенола.	20
-----------------------------------------------------------------------------------------------------------------------------	----

Э. Т. Сулейманова, М. Р. Мусаев, С. Д. Мехтиев, Л. И. Касумов, М. И. Миргасanova. О конденсации гидроароматических альдегидов с окисью мезитила	26
----------------------------------------------------------------------------------------------------------------------------------------------------	----

### Геология нефти

Академик А. А. Якубов, Ф. А. Матанов, Я. А. Гаджиев. Гидрохимическая характеристика грязевых вулканов Алятской гряды.	31
-----------------------------------------------------------------------------------------------------------------------	----

### Стратиграфия

Л. Д. Мамедова. К стратиграфии миоценовых отложений северово-восточного Азербайджана в свете изучения микрофауны.	37
-------------------------------------------------------------------------------------------------------------------	----

### Геология

К. А. Ализаде, Э. З. Мовлазаде. Новые данные о нижнесарматских отложениях междууречья Куры и Иори Западного Азербайджана (район г. Мамед-тапа).	42
----------------------------------------------------------------------------------------------------------------------------------------------------	----

### Инженерная геология

Т. У. Багиров. О влиянии минерализации поровых растворов на состав и свойства субаквальных глин территории гор. Баку.	48
--------------------------------------------------------------------------------------------------------------------------	----

### Геология нефти

Р. М. Дадашев, У. Ш. Мехтиев. Пластовые воды нефтяных и газоконденсантных залежей продуктивной толщи месторождения Сангачалы-море—Дуванский море — о. Булла.	52
--------------------------------------------------------------------------------------------------------------------------------------------------------------	----

Руслан Абдуллаев. Особенности структурного соотношения мезозойских и кайнозойских отложений смежной области Куринской впадины и Малого Кавказа в пределах западного Азербайджана.	59
-----------------------------------------------------------------------------------------------------------------------------------------------------------------------------------	----

### Геотектоника

А. Н. Гаджиев, С. С. Самедов. Кубинская тафросинклиналь и ее роль в формировании передового прогиба в ЮВ окончаний Б. Кавказа (Прикаспийско- Кубинская область Азербайджанской ССР).	65
--------------------------------------------------------------------------------------------------------------------------------------------------------------------------------------------	----

## Биохимия растений

Академик М. Г. Абуталыбов, Т. Х. Мамедова, Ф. А. Расулов. Фосфорный обмен в зонах роста корня тыквы при кальциевом голодании. . . . . 72

## Палеоботаника

Р. А. Фаталиев. *Rhus catarica* в сарматских флорах СССР. . . . . 77

## Физиология

А. К. Мусаева, С. А. Кожевникова. Интероцептивные влияния с желудка на секрецию гастромукопротеина. . . . . 82

## Селекция

А. А. Агабейли, И. Г. Гусейнов. Опыты по скрещиванию и улучшению ширванских овец с баранами породы прекос. . . . . 86

## Мелиорация почв

К. З. Азимов. Влияние временных оросительных каналов на опреснение почв. . . . . 90

Т. А. Тагизаде, А. С. Марданлы, С. С. Эфендиев. Изучение срока выживаемости лептоспир во внешней среде в условиях Азербайджанской ССР. . . . . 94

З. Дж. Мамедов. Уточнение даты смерти Бахманияра. . . . . 97

## ПРАВИЛА ДЛЯ АВТОРОВ

1. В «Докладах Академии наук Азербайджанской ССР» помещаются краткие сообщения, содержащие законченные, еще не опубликованные результаты научных исследований, имеющих теоретическое или практическое значение.

В «Докладах» не публикуются крупные статьи, механически разделенные на ряд отдельных сообщений, статьи полемического характера без новых фактических данных, статьи с описанием промежуточных опытов без определенных выводов и обобщений, работы непринципиальные, описательного или обзорного характера, чисто методические статьи, если предлагаемый метод не является принципиально новым, а также статьи по систематике растений и животных (за исключением описания особо интересных для науки находок).

Статьи, помещаемые в «Докладах», не лишают автора права последующей публикации того же сообщения в развернутом виде в других изданиях.

2. Поступающие в «Доклады» статьи рассматриваются Редакционной коллегией только после представления их академиком по специальности. Каждый академик может представить не более 5-ти статей в год.

Статьи членов-корреспондентов Академии наук Азербайджанской ССР принимаются без представления.

Редакция просит академиков при представлении статьи указывать дату получения ее от автора, а также наименование раздела, в котором статья должна быть помещена.

3. В «Докладах» публикуется не более трех статей одного автора в год.

4. В «Докладах» помещаются статьи, занимающие не более четверти авторского листа — около 6—7 страниц машинописи (10 000 печатных знаков), включая рисунки.

5. Все статьи должны иметь резюме на английском языке; кроме того, к статьям, написанным на азербайджанском языке, должны иметь резюме на русском языке и наоборот.

6. В конце статьи должны быть указаны название научного учреждения, в котором выполнена работа, и номер телефона автора.

7. Опубликование результатов работ, проведенных в научных учреждениях должно быть разрешено дирекцией научного учреждения.

8. Статьи (включая и резюме), должны быть напечатаны на машинке через два интервала, на одной стороне листа и представляются в двух экземплярах. Формулы должны быть вписаны четко и ясно, при этом прописные буквы должны быть подчеркнуты (черным карандашом) двумя черточками снизу, а строчные — сверху, буквы греческого алфавита надо обводить красным карандашом.

9. Цитируемая в статье литература должна приводиться не в виде подстрочных сносок, а общим списком (вподбор), в алфавитном порядке (по фамилии автора), в конце статьи с обозначением ссылки в тексте порядковой цифрой. Список литературы должен быть оформлен следующим образом:

а) для книг: фамилия и инициалы автора, полное название книги, номер тома, город, издательство и год издания;

б) для статей в сборниках (трудах): фамилия и инициалы автора, название статьи, название сборника (трудов), том, выпуск, место издания, издательство, год, страница;

в) для журнальных статей: фамилия и инициалы автора, название статьи, название журнала, год, том, номер (выпуск), страница.

Ссылки на неопубликованные работы не допускаются (за исключением отчетов в диссертациях, хранящихся в научных учреждениях).

10. На обороте рисунков должны быть указаны фамилия автора, название статьи и номер рисунка. Огпечатанные на машинке подписи к рисункам представляются на отдельном листе.

11. Авторы статей должны указывать индекс статьи по Унифицированной десятичной классификации (УДК) и прилагать реферат для «Реферативного журнала».

12. Авторы должны избегать повторения одинаковых данных в таблицах, графиках и в тексте статьи.

Ввиду небольшого объема статей выводы помещаются лишь в необходимых случаях.

13. В случае представления двух или более статей одновременно необходимо указывать желательный порядок их помещения.

14. Корректура статей авторам как правило не посыпается. В случае посылки корректуры допускается лишь исправление ошибок типографии.

15. Редакция выдает автору бесплатно 15 отдельных оттисков статьи.

Сдано в набр. 22/VII 1971 г. Подписано к печати 13/XII 1971 г. Формат бумаги 70×108<sup>1/16</sup>. Бум. лист. 3,25. Печ. лист. 8,91. Уч.-изд. лист. 7,2. ФГ 20448. Заказ 442, Тираж 770. Цена 40 коп.

Типография им. Рухуллы Ахундова Государственного Комитета Совета Министров Азербайджанской ССР по печати. Баку, Рабочий проспект, 96.

#### THE CLOTHES LINE NUMBER